

องกินันทานการ



การพัฒนาระบบเจาะวัสดุระดับไมโครด้วยไฟฟ้าเคมี

Development of a micro electrochemical drilling system

สำเนาหนังสือสมุด มหาวิทยาลัยนเรศวร
วันลงทะเบียน..... 14.11.81 2560
เลขทะเบียน..... 19181541
1924รัฐกานธีสืบ.....

นายชาญชัย คำสุทธิ์ รหัสนิสิต 56361921รรคกานธสี.อ.

นายคำรงค์ ถาวรกุล รหัสนิสิต 56361983

นายอนุชา อินยา รหัสนิสิต 56362447

2559

ปริญญาในรั้นนี้เป็นส่วนหนึ่งของการศึกษาตามหลักสูตรวิศวกรรมศาสตรบัณฑิต
สาขาวิชาวิศวกรรมเครื่องกล ภาควิชาวิศวกรรมเครื่องกล
คณะวิศวกรรมศาสตร์มหาวิทยาลัยนเรศวร
ปีการศึกษา 2559



แบบเสนอโครงร่างปริญญาบัณฑิต

หัวข้อโครงการ

: การพัฒนาระบบเจาะวัสดุระดับไมโครด้วยไฟฟ้าเคมี

ผู้ดำเนินโครงการ

: นายชาญชัย คำสุทธิ์ รหัสนิสิต 56361921

อาจารย์ที่ปรึกษาโครงการ

: นายดำรงค์ ถาวรภูล รหัสนิสิต 56361983

สาขาวิชา

: นายอนุชา อินยา รหัสนิสิต 56362447

ภาควิชา

: ดร.สุเมธ เหมะวัฒนาชัย

ปีการศึกษา

: วิศวกรรมเครื่องกล

: วิศวกรรมเครื่องกล

: 2559

: 2559

: 2559

: 2559

: 2559

: 2559

: 2559

: 2559

: 2559

: 2559

: 2559

: 2559

: 2559

: 2559

: 2559

: 2559

: 2559

: 2559

: 2559

: 2559

: 2559

: 2559

: 2559

: 2559

: 2559

: 2559

: 2559

: 2559

: 2559

: 2559

: 2559

: 2559

: 2559

: 2559

: 2559

: 2559

: 2559

: 2559

: 2559

: 2559

: 2559

: 2559

: 2559

: 2559

: 2559

: 2559

: 2559

: 2559

: 2559

: 2559

: 2559

: 2559

: 2559

: 2559

: 2559

: 2559

: 2559

: 2559

: 2559

: 2559

: 2559

: 2559

: 2559

: 2559

: 2559

: 2559

: 2559

: 2559

: 2559

: 2559

: 2559

: 2559

: 2559

: 2559

: 2559

: 2559

: 2559

: 2559

: 2559

: 2559

: 2559

: 2559

: 2559

: 2559

: 2559

: 2559

: 2559

: 2559

: 2559

: 2559

: 2559

: 2559

: 2559

: 2559

: 2559

: 2559

: 2559

: 2559

: 2559

: 2559

: 2559

: 2559

: 2559

: 2559

: 2559

: 2559

: 2559

: 2559

: 2559

: 2559

: 2559

: 2559

: 2559

: 2559

: 2559

: 2559

: 2559

: 2559

: 2559

: 2559

: 2559

: 2559

: 2559

: 2559

: 2559

: 2559

: 2559

: 2559

: 2559

: 2559

: 2559

: 2559

: 2559

: 2559

: 2559

: 2559

: 2559

: 2559

: 2559

: 2559

: 2559

: 2559

: 2559

: 2559

: 2559

: 2559

: 2559

: 2559

: 2559

: 2559

: 2559

: 2559

: 2559

: 2559

: 2559

: 2559

: 2559

: 2559

: 2559

: 2559

: 2559

: 2559

: 2559

: 2559

: 2559

: 2559

: 2559

: 2559

: 2559

: 2559

: 2559

: 2559

: 2559

: 2559

: 2559

: 2559

: 2559

: 2559

: 2559

: 2559

: 2559

: 2559

: 2559

: 2559

: 2559

: 2559

: 2559

: 2559

: 2559

: 2559

: 2559

: 2559

: 2559

: 2559

: 2559

: 2559

: 2559

: 2559

: 2559

: 2559

: 2559

: 2559

: 2559

: 2559

: 2559

: 2559

: 2559

: 2559

: 2559

: 2559

: 2559

: 2559

: 2559

: 2559

: 2559

: 2559

: 2559

: 2559

: 2559

: 2559

: 2559

: 2559

: 2559

: 2559

: 2559

: 2559

: 2559

: 2559

: 2559

: 2559

: 2559

: 2559

: 2559

: 2559

: 2559

: 2559

: 2559

: 2559

: 2559

: 2559

: 2559

: 2559

: 2559

: 2559

: 2559

: 2559

: 2559

: 2559

: 2559

: 2559

: 2559

: 2559

: 2559

: 2559

: 2559

หัวข้อโครงการ	: การพัฒนาระบบเจาะวัสดุระดับไมโครด้วยไฟฟ้าเคมี
ผู้ดำเนินโครงการ	: นายชาญชัย คำสุทธิ รหัสนิสิต 56361921
	: นายดำรงค์ ถาวรกุล รหัสนิสิต 56361983
	: นายอนุชา อินยา รหัสนิสิต 56362447
อาจารย์ที่ปรึกษาโครงการ	: ดร.สุเมธ เทมะวัฒนาชัย
สาขาวิชา	: วิศวกรรมเครื่องกล
ภาควิชา	: วิศวกรรมเครื่องกล
ปีการศึกษา	: 2559

บทคัดย่อ

งานวิจัยนี้เป็นการออกแบบ และพัฒนาระบบเจาะวัสดุระดับไมโครด้วยไฟฟ้าเคมี โดยระบบที่พัฒนาขึ้นนี้ประกอบด้วย 3 ส่วนหลักคือ (1) ส่วนควบคุมการเคลื่อนที่ของชิ้นงานในระนาบ X-Y ซึ่งมีความละเอียด 10 ไมโครเมตร (2) ส่วนควบคุมการเคลื่อนที่ของแท่งอิเล็กโทรด Z ซึ่งมีความละเอียด 6.3 ไมโครเมตร (3) ระบบฉีดและควบคุมปริมาณสารละลายอีเล็กโทรไลต์โดยใช้ peristaltic pump (4) ส่วนควบคุมการทำงานของกระบวนการผ่าไมโครคอนโทรลเลอร์

ในการทดลองเพื่อศึกษาปัจจัยที่มีผลกระทบต่อการเจาะวัสดุด้วยไฟฟ้าเคมี นั้นทำโดยการนำเครื่องที่พัฒนาขึ้นมาปั๊วในการเจาะรูบนแผ่นสแตนเลสหนา 0.5 มิลลิเมตร โดยแท่งอิเล็กโทรดมีขนาดเส้นผ่านศูนย์กลาง 550 ไมโครเมตร สารละลายอีเล็กโทรไลต์ที่ใช้มี 2 ชนิดคือ NaCl และ NaNO₃ ซึ่งมีความเข้มข้น สองระดับคือ 0.1 และ 0.15 มोลาร์ สำหรับปัจจัยด้านศักยภาพฟ้านี้มีการปรับค่าเป็นสีระดับคือ 5, 7, 9 และ 11 โวลต์ซึ่งทดลองด้วยสารละลายโซเดียมคลอไรด์ และส่วนของสารละลายโซเดียมใน terrestrial มีการปรับระดับความต่างศักย์ไฟฟ้าสองระดับคือ 9 และ 12 โวลต์ เพื่อหาค่าที่เหมาะสมต่อการเจาะวัสดุทั้งเชิงปริมาณและคุณภาพ

ผลการทดลองบ่งชี้ว่าระบบที่พัฒนาขึ้นนี้สามารถนำมาใช้ในการเจาะรูระดับไมโครได้สำเร็จโดยมีขนาดรูเจาะเฉลี่ย 529 ไมโครเมตร โดยในการศึกษาปัจจัยที่มีผลต่อขนาดและคุณภาพของรูเจาะพบว่า ความต่างศักย์จะมีผลต่ออัตราการเกิดปฏิกิริยา โดยหากความต่างศักย์สูงจะทำให้ใช้เวลาในการเจาะน้อย ความเข้มข้นของสารละลายอีเล็กโทรไลต์นั้นก็มีผลต่อกระบวนการ โดยหากว่าสารมีความเข้มข้นมาก จะเกิดปฏิกิริยาได้ดีทำให้เจาะได้เร็วขึ้น การใช้สารละลายโซเดียมใน terrestrial ให้คุณภาพผิว.r>เจาะที่เรียบกว่าการใช้สารละลายโซเดียมคลอไรด์

Project title	: Development of a micro electrochemical drilling system		
Name	: Mr.Chanchai	Khamsut	Code 56361921
	: Mr. Dumrong	Thawornkul	Code 56361983
	: Mr. Anucha	Inya	Code 56362447
Project advisor	: Dr.Sumet Heamawatanachai		
Major	: Mechanical Engineering		
Department	: Mechanical Engineering		
Academnic year	: 2016		

Abstracts

This research is the design and development of a micro electrochemical drilling system. The developed system consists of: (1) an XY motion control system with resolution of 10 μm for controlling of work piece; (2) a Z motion electrode control system which has resolution of 6.3 μm ; (3) an electrolyte flow control system using 2 peristaltic pumps; and (4) a control unit using a microcontroller.

To study the effects of machining parameters, the developed system were used to drill micro-holes on stainless steel with thickness of 0.5 mm. The tool electrode diameter was 550 μm . Two types of electrolyte (NaCl and NaNO_3) with two levels of concentration (0.1 M and 0.15 M) were used. There were 4 steps of DC supply voltages in the experiments with NaCl which were 5V, 7V, 9V and 11V. For experiments with NaNO_3 , there were 2 levels of DC voltage (9V and 12V). The size and quality of holes were analyzed using a microscope.

The results from experiments reveal that the system was capable of drilling micro-holes averaging of 529 μm . Increment of supply voltage will increase the rate of reaction result in reducing of drilling time. Higher concentration of electrolyte will also increase the rate of the reaction. From the experimental results, the surface quality of drilled holes using NaNO_3 are better than using NaCl .

กิตติกรรมประกาศ

โครงการพัฒนาระบบเจาะวัสดุด้วยไฟฟ้าเคมีฉบับนี้ สำเร็จได้ด้วยความอนุเคราะห์ของ ดร.สุเมธ เทมะวัฒนาชัย ที่ปรึกษาปริญญาบินพนธ์ที่ได้สละเวลาอันมีค่ามาเป็นที่ปรึกษาโครงการพร้อม พั้งให้ความรู้ คำแนะนำ ตรวจทาน แก้ไขข้อบกพร่องต่างๆ ด้วยความเอาใจใส่ทุกขั้นตอน และให้การสนับสนุนในด้านอุปกรณ์การทำงานตลอดระยะเวลาการดำเนินการปริญญาบินพนธ์ ฉบับนี้ ท่านที่สอง ท่าน ดร.ภัณรัตน์ จันธรรม อาจารย์ภาควิชาวิศวกรรมเคมีที่ให้คำแนะนำในการทดสอบเคมี

ขอขอบพระคุณกรรมการสอบ รศ.ดร.บิยะนันท์ เจริญสารรค์ และอาจารย์ชูพงศ์ ช่วยเพ็ญ ที่ได้ให้ความรู้ คำแนะนำและแก้ไขข้อบกพร่องต่างๆ ของรูปเล่มโครงการศึกษาระบบเจาะวัสดุด้วยไฟฟ้าเคมี

ขอขอบคุณหน่วยงานวิจัยเทคโนโลยีด้านวิศวกรรมความเที่ยงตรงและการแพทย์ (PMET) ที่ได้ให้ความรู้ คำแนะนำต่างๆ ห้องที่ใช้ในการทำโครงการอุปกรณ์อำนวยความสะดวกต่างๆ และภาควิชาวิศวกรรมเครื่องกล คณะวิศวกรรมศาสตร์ มหาวิทยาลัยนเรศวร ที่ได้ปั้นเพาะความรู้ ความสามารถ จนสามารถนำความรู้มาใช้ในการทำงานตลอดจนการวิจัยในการดำเนินการปริญญาบินพนธ์

ขอขอบพระคุณ บิดา มารดา ที่ได้ให้กำลังใจและมีส่วนช่วยเหลือให้โครงการฉบับนี้สำเร็จลุล่วงได้ด้วยดี

ท้ายสุดนี้ทางคณะผู้จัดทำหวังเป็นอย่างยิ่งว่า ระบบเจาะวัสดุระดับไมโครด้วยไฟฟ้าเคมี จะเป็นประโยชน์ต่อนิสิตนักศึกษาที่มีความสนใจในเรื่องการเจาะวัสดุระดับไมโครด้วยไฟฟ้าเคมี

คณะผู้จัดทำโครงการ

สารบัญ

	หน้า
แบบเสนอโครงร่างปริญณานิพนธ์	ก
บทคัดย่อ	ข
Abstracts	ค
กิตติกรรมประกาศ	ง
สารบัญ	จ
สารบัญตาราง	ช
สารบัญรูปภาพ	ฉ
 บทที่ 1 บทนำ	
1.1 ที่มาและความสำคัญของโครงงาน	1
1.2 วัตถุประสงค์ของโครงงาน	2
1.3 ประโยชน์ที่คาดว่าจะได้รับ	2
1.4 ขอบเขตของโครงงาน	2
1.5 ขั้นตอนการดำเนินงาน	2
1.6 แผนการดำเนินงาน	3
1.7 รายละเอียดงบประมาณตลอดโครงงาน	3
 บทที่ 2 ทฤษฎีและวรรณกรรมปริทัศน์	
2.1 หลักการและทฤษฎีที่เกี่ยวข้อง	4
2.1.1 กระบวนการกัดวัสดุด้วยไฟฟ้าเคมี (ECM)	4
2.1.2 สารละลายอิเล็กโทรไลต์ (Electrolyte)	5
2.1.3 กระบวนการกัดวัสดุด้วยไฟฟ้า (EDM)	6
2.2 หลักการการออกแบบการเคลื่อนที่ของเครื่องเจาะระดับไมโครด้วยไฟฟ้าเคมี	7
2.2.1 ระบบควบคุมการเคลื่อนที่ของเครื่องเจาะ	7
2.2.2 สเต็ปมอเตอร์ (Step Motors)	7
2.2.3 บอร์ดขับสตีปมอเตอร์ TB6600	8
2.2.4 ไมโครคอนโทรลเลอร์(microcontroller)	9
2.2.5 Program LabVIEW	10
2.3 วรรณกรรมปริทัศน์	12
2.3.1 งานวิจัยของ Chuangchuang Chen	12
2.3.2 งานวิจัยของ Guodong Liu และคณะ	15
2.3.3 งานวิจัยของ Zhang Yan และคณะ	15
2.3.4 งานวิจัยของจิตติ พัทธวนิช	17

บทที่ 3 วิธีการดำเนินงาน	
3.1 ออกแบบระบบเจาะสัดส่วนด้วยมีโคร	20
3.2 วิธีการทดลอง	36
- การทดลองรูปแบบที่ 1 สารละลายโซเดียมคลอไรด์	37
- การทดลองรูปแบบที่ 2 สารละลายโซเดียมไนเตรต	39
บทที่ 4 ผลการทดลอง และวิเคราะห์ผลการทดลอง	
4.1 การทดสอบการทำงานของระบบ	40
4.1.1 ทำการทดสอบการเคลื่อนที่ในแนวแกน +X และ -X	40
4.1.2 ทำการทดสอบการเคลื่อนที่ในแนวแกน +Y และ -Y	41
4.1.3 ทำการทดสอบการเคลื่อนที่ในแนวแกน +Z และ -Z	42
4.1.4 ทำการทดสอบระบบการทำงานของปั๊ม	43
4.2 การวิเคราะห์ผลการทดลอง	45
4.3 ผลการทดลอง โซเดียมคลอไรด์ ที่ความเข้มข้น 0.1 มोลาร์	46
4.4 ผลการทดลอง โซเดียมคลอไรด์ ที่ความเข้มข้น 0.15 มोลาร์	48
4.5 เปรียบเทียบการทดลองโซเดียมคลอไรด์ 0.1 มोลาร์ และ 0.15 มोลาร์	50
4.5.1 เวลาที่ใช้เวลา (Time) ของสารละลายโซเดียมคลอไรด์	50
4.5.2 Gap หรือ ช่องว่างระหว่างอิเล็กโทรดกับผิวล่างชั้นงานของสารละลายโซเดียมคลอไรด์	51
4.5.3 เส้นผ่านศูนย์กลางของรูเจาะบนผิวชั้นงาน (DS)ของสารละลายโซเดียมคลอไรด์	55
4.5.4 ขนาดรูเจาะ (DH) ของสารละลายโซเดียมคลอไรด์	58
4.6 ผลการทดลอง โซเดียมไนเตรต	60
4.7 เปรียบเทียบการทดลองโซเดียมไนเตรต 0.1 มोลาร์ และ 0.15 มोลาร์	61
4.7.1 เวลาที่ใช้เวลา (Time) ของสารละลายโซเดียมไนเตรต	61
4.7.2 Gap หรือ ช่องว่างระหว่างอิเล็กโทรดกับผิวล่างชั้นงาน ของสารละลายโซเดียมไนเตรต	61
4.7.3 เส้นผ่านศูนย์กลางของรูเจาะบนผิวชั้นงาน (DS) ของสารละลายโซเดียมไนเตรต	63
4.7.4 ขนาดรูเจาะ (DH)ของสารละลายโซเดียมไนเตรต	64
บทที่ 5 สรุปโครงการ และข้อเสนอแนะ	
5.1 สรุปผล	67
5.2 ข้อเสนอแนะ	68

	หน้า
อ้างอิง	69
ภาคผนวก ก	70
ภาคผนวก ข	102
ภาคผนวก ค	107
ภาคผนวก ง	111



สารบัญตาราง

	หน้า
ตารางที่ 1 แผนการดำเนินงาน	3
ตารางที่ 2.1 ตารางเปรียบเทียบกระบวนการ EDM กับ ECM	6
ตารางที่ 2.2 ตารางกำหนดค่า parameters ต่างๆ	12
ตารางที่ 2.3 แรงดันไฟฟ้าที่ใช้และช่วงเวลาในการจ่าย pulse ที่มีผลต่อมุมและองศา[6]	14
ตารางที่ 3.1 ลำดับการทดสอบการเจาะโดยสารละลายโดยเดียมคลอไรด์ ความเข้มข้น 0.1 และ 0.15 มोลาร์	37
ตารางที่ 3.2 ลำดับการทดสอบการเจาะโดยสารละลายโดยเดียมไนเตรท ความเข้มข้น 0.1 และ 0.15 มोลาร์	39
ตารางที่ 4.1 ผลการทดสอบการเคลื่อนที่ในแนวแกน +X	40
ตารางที่ 4.2 ผลการทดสอบการเคลื่อนที่ในแนวแกน -X	40
ตารางที่ 4.3 ผลการทดสอบการเคลื่อนที่ในแนวแกน +Y	41
ตารางที่ 4.4 ผลการทดสอบการเคลื่อนที่ในแนวแกน -Y	41
ตารางที่ 4.5 ผลการทดสอบการเคลื่อนที่ในแนวแกน +Z	42
ตารางที่ 4.6 ผลการทดสอบการเคลื่อนที่ในแนวแกน - Z	42
ตารางที่ 4.7 ตารางทดสอบอัตราการไฟลของปั๊มที่ PWM 25	43
ตารางที่ 4.8 ตารางทดสอบอัตราการไฟลของปั๊มที่ PWM 30	43
ตารางที่ 4.9 ตารางทดสอบอัตราการไฟลของปั๊มที่ PWM 35	44
ตารางที่ 4.10 ตารางทดสอบอัตราการไฟลของปั๊มที่ PWM 40	44
ตารางที่ 4.11 ซ่องว่าระหว่างอิเล็กโทรดกับผิวล่างชิ้นงาน โดยสารละลายโดยเดียมคลอไรด์ ความเข้มข้น 0.1 มोลาร์	52
ตารางที่ 4.12 ซ่องว่าระหว่างอิเล็กโทรดกับผิวล่างชิ้นงาน โดยสารละลายโดยเดียมคลอไรด์ ความเข้มข้น 0.15 มोลาร์	54
ตารางที่ 4.13 ซ่องว่าระหว่างอิเล็กโทรดกับผิวล่างชิ้นงานของสารละลาย โดยเดียมไนเตรท	62

สารบัญรูปภาพ

	หน้า
รูปที่ 2.1 โครงสร้างของกระบวนการกัดวัสดุด้วยไฟฟ้าเคมี	4
รูปที่ 2.2 กระบวนการกัดวัสดุด้วยกระแสไฟฟ้า(EDM) [3]	6
รูปที่ 2.3 ภาพชุดควบคุมการเคลื่อนที่ของเครื่องเจาะ	7
รูปที่ 2.4 โครงสร้างของสเต็ปมอเตอร์แบบ 4 เฟส[4]	8
รูปที่ 2.5 บอร์ดขับสเต็ปมอเตอร์ TB6600[10]	9
รูปที่ 2.6 การต่อวงจรบอร์ด Arduino เข้ากับบอร์ดขับมอเตอร์[5]	9
รูปที่ 2.7 Front Panelของ LabVIEW[5]	10
รูปที่ 2.8 ตัวอย่าง Block Diagram[5]	11
รูปที่ 2.9 สักษณะที่นำไปของ Icon และ Connector[5]	11
รูปที่ 2.10 ชุดอุปกรณ์การทดลอง[6]	12
รูปที่ 2.11 การกำหนดตัวแปรของร่องขนาดเล็ก[6]	13
รูปที่ 2.12 ภาพของร่องขนาดไมโครที่ถูกกัดด้วยกระบวนการไมโคร ECM[6]	13
รูปที่ 2.13 ภาพแสดงมุมระหว่างผนังด้านข้างกับพื้นผิวด้านล้านล่าง (RA) และความเรียวของผนัง	14
ด้านข้าง (θ) เทียบกับแรงดันไฟฟ้า[6]	14
ด้านข้าง (θ) เทียบกับช่วงเวลาการจ่าย pulse[6]	14
รูปที่ 2.14 ภาพแสดงมุมระหว่างผนังด้านข้างกับพื้นผิวด้านล้านล่าง (RA) และ ความเรียวของผนังด้านข้าง (θ) เทียบกับช่วงเวลาการจ่าย pulse[6]	14
รูปที่ 2.15 การเจาะหลุ่มเตเปอร์ขนาดไมโครโดยกระบวนการ (μ ECM)[7]	15
รูปที่ 2.16 กระบวนการการประยุกต์ใช้กระบวนการ EDMร่วมกับECM (TSECDD) [8]	16
รูปที่ 2.17 ด้านบนของรูที่เจาะด้วย (TSECDD) [8]	16
รูปที่ 2.18 ด้านข้างของรูที่เจาะด้วย (TSECDD) [8]	17
รูปที่ 2.19 สักษณะการกัดขึ้นงานของอิเล็กโทรด (ก) ทรงกลวง (ข) ทรงตัน[9]	17
รูปที่ 2.20 หน้าตัดที่ถูกสร้างจากอิเล็กโทรดทรงกลวง[9]	18
รูปที่ 2.21 หน้าตัดที่ถูกสร้างจากอิเล็กโทรดทรงตัน[9]	18
รูปที่ 3.1 การทดลองการใช้ระบบเจาะด้วยไฟฟ้าเคมีดันแบบ	20
รูปที่ 3.2 ศึกษาการใช้โปรแกรมตันแบบ	21
รูปที่ 3.3 โปรแกรมการควบคุมการทำงานของระบบ	22

	หน้า
รูปที่ 3.4 การใส่ตัวແນ່ງການເຄື່ອນທີ່ທັງ 3 ແກນ	22
รูปที่ 3.5 การใส่ຕຳແນ່ງການເຄື່ອນທີ່ຂອງແກນ Z	22
รูปที่ 3.6 ການກຳນົດອັຕຣາເຮົວຂອງປຶ້ມທີ່ 2 ຕ້າວ	22
ຮູບທີ່ 3.7 Power supply ທຳມະນາທີ່ເປັນຕົວຈ່າຍກະແສ	23
ຮູບທີ່ 3.8 ຜຸດການເຄື່ອນທີ່ໃນແນວຮະນາບ XY [11]	23
ຮູບທີ່ 3.9 ປຶ້ມທີ່ໃຊ້ໃນການຈັດສາລະລາຍອືເລີກໂທຣໄລຕ്[11]	24
ຮູບທີ່ 3.10 ຜຸດຄວບຄຸມຄວາມດັນກາຍໃນທ່ອສາຍຍາງ[11]	24
ຮູບທີ່ 3.11 Digital Power supply ປັບຄ່າແຮງດັນກະແສໄຟຟ້າໄດ້	25
ຮູບທີ່ 3.12 ຜຸດຄວບຄຸມທີ່ໃຊ້ໃນກະບວນການ	26
ຮູບທີ່ 3.13 ກາພຂໍາຍາຍຂອງ A ແລະ B	27
ຮູບທີ່ 3.14 ບອົດໄນໂຄຣຄອນໂທຣເລອ່ວ Arduino MEGA	28
ຮູບທີ່ 3.15 ບອົດຂັ້ນມອເທອ່ຽ ຮຸນ TB6600	28
ຮູບທີ່ 3.16 ກລັ້ນໄຟໂຄຣໂຄປ	29
ຮູບທີ່ 3.17 ບອົດຂັ້ນມອເທອ່ຽ ຮຸນ L298N	29
ຮູບທີ່ 3.18 ແກນ Z ສໍາເຮົາຮູບ	30
ຮູບທີ່ 3.19 ປຶ້ມທີ່ໃຊ້ໃນການຈັດສາລືອືເລີກໂທຣໄລຕ് Peristaltic pump	30
ຮູບທີ່ 3.20 ກາພຂອງເຂັ້ມຈື້ມຍາງທີ່ໃຊ້ເປັນອືເລີກໂທຣດ	31
ຮູບທີ່ 3.21 ກາພວັດສຸດທີ່ໃຊ້ໃນການທົດສອບໜິດ Stainless Steel	31
ຮູບທີ່ 3.22 ກາພ Stepper Motor ທີ່ໃຊ້ໃນການຂັ້ນແກນ X Y	32
ຮູບທີ່ 3.23 ກາພ Stepper Motor ທີ່ໃຊ້ໃນການຂັ້ນແກນ Z	32
ຮູບທີ່ 3.24 ກາພ Limit Switch	33
ຮູບທີ່ 3.25 ກາພ Bearing	33
ຮູບທີ່ 3.26 ກາພມັດຕິມີເທອ່ຽທີ່ໃຊ້ຕຽວຈັດໄວລົດ ແລະ ກະແສໄຟຟ້າຂອງຮະບບ	34
ຮູບທີ່ 3.27 ກາພເຫັດກາກທີ່ໃຊ້ທຳໂຄຮ່ຽງສໍາຫຼັບຢືດແກນ Z	34
ຮູບທີ່ 3.28 ກາພເຫັດກາງນ້ຳທີ່ໃຊ້ສໍາຫຼັບເປັນຫຼານຂອງ Micro ECM	35
ຮູບທີ່ 3.29 ລຳດັບໃນການເຈົ້າຮູທີ່ 1-32 ຂອງສາລະລາຍໂໂຈເດີມຄລອໄຣດໍ 0.1 ໂມລາර	38
ຮູບທີ່ 3.30 ລຳດັບໃນການເຈົ້າຮູທີ່ 1-32 ຂອງສາລະລາຍໂໂຈເດີມຄລອໄຣດໍ 0.15 ໂມລາර	38
ຮູບທີ່ 3.31 ລຳດັບໃນການອົກແບບການເຈົ້າຮູທີ່ 1-16 ບນແຜ່ນສເຕັນເລສ ຂອງສາລະລາຍ ໂໂຈເດີມໄຟໃຫຍ່ໃນຕົວຄວາມເຂັ້ມຂັ້ນຂອງສາລະລາຍ 0.1 ແລະ 0.2 ໂມລາර	39

	หน้า
รูปที่ 4.1 Gap หรือช่องว่างระหว่างอิเล็กโทรดกับผิวล่างชั้นงาน	45
รูปที่ 4.2 การวัดเส้นผ่านศูนย์กลางของรูเจาะบนผิวชั้นงาน (DS) ขนาดรูเจาะ (DH)	และ 46
รูปที่ 4.3 รูเจาะครั้งที่ 1-16 ของสารละลายโซเดียมคลอไรด์ ที่ความความเข้มข้น 0.1 โมลาร์ (แผ่นที่ 1)	46
รูปที่ 4.4 รูเจาะครั้งที่ 17-32 ของสารละลายโซเดียมคลอไรด์ ที่ความความเข้มข้น 0.1 โมลาร์ (แผ่นที่ 2)	47
รูปที่ 4.5 รูเจาะครั้งที่ 1-16 ของสารละลายโซเดียมคลอไรด์ ที่ความความเข้มข้น 0.15 โมลาร์ (แผ่นที่ 3)	48
รูปที่ 4.6 รูเจาะครั้งที่ 17-32 ของสารละลายโซเดียมคลอไรด์ ที่ความความเข้มข้น 0.15 โมลาร์ (แผ่นที่ 4)	49
รูปที่ 4.7 การหาคำนวณหาช่องว่างระหว่างอิเล็กโทรดกับผิวล่างชั้นงานของสารละลาย โซเดียมคลอไรด์	52
รูปที่ 4.8 ช่องว่างระหว่างอิเล็กโทรดกับผิวล่างของสารละลายโซเดียมคลอไรด์ที่ความ เข้มข้นของสารละลายและความต่างศักย์ไฟฟ้าต่างกัน	55
รูปที่ 4.9 ตำแหน่งเส้นผ่านศูนย์กลางของรูเจาะบนผิวชั้นงาน (DS) ของสารละลายโซเดียมคลอไรด์	55
รูปที่ 4.10 ตำแหน่งของขนาดรูเจาะ (DH) ของสารละลายโซเดียมคลอไรด์	58
รูปที่ 4.11 รูเจาะครั้งที่ 1-16 ของสารละลายโซเดียมในเทรอ	60
รูปที่ 4.12 การหาคำนวณหาช่องว่างระหว่างอิเล็กโทรดกับผิวล่างชั้นงานของ สารละลาย โซเดียมในเทรอ	62
รูปที่ 4.13 ตำแหน่งเส้นผ่านศูนย์กลางของรูเจาะบนผิวชั้นงาน (DS) ของสารละลายโซเดียมในเทรอ	63
รูปที่ 4.14 ตำแหน่งของขนาดรูเจาะ (DH) ของสารละลายโซเดียมในเทรอ	64
รูปที่ 4.15 ภาพจำลองรวมของการเจาะที่ความต่างศักย์ 11 โวลต์ ของโซเดียมคลอไรด์	65
รูปที่ 4.16 ภาพจำลองรวมของการเจาะ โซเดียมในเทรอ	66

สารบัญกราฟ

	หน้า
กราฟที่ 4.1 กราฟเปรียบเทียบระหว่างความต่างศักย์ และเวลาที่ใช้ 1-32 ของสารละลายโซเดียมคลอไรด์ที่ความความเข้มข้น 0.1 โมลาร์	50
กราฟที่ 4.2 กราฟเปรียบเทียบระหว่างความต่างศักย์ และเวลาที่ใช้ 1-32 ของสารละลายโซเดียมคลอไรด์ที่ความความเข้มข้น 0.15 โมลาร์	51
กราฟที่ 4.3 กราฟเปรียบเทียบระหว่างความต่างศักย์ และช่องว่างระหว่างอิเล็กโทรดกับผิวล่างชั้นงานของสารละลายโซเดียมคลอไรด์ ที่ความความเข้มข้น 0.1 โมลาร์	53
กราฟที่ 4.4 กราฟเปรียบเทียบระหว่างความต่างศักย์ และช่องว่างระหว่างอิเล็กโทรดกับผิวล่างชั้นงานของสารละลายโซเดียมคลอไรด์ ความความเข้มข้น 0.15 โมลาร์	54
กราฟที่ 4.5 กราฟเปรียบเทียบระหว่างความต่างศักย์ และเส้นผ่านศูนย์กลางของ รูเจาะบันผิวชั้นงาน 1-32 ของสารละลายโซเดียมคลอไรด์ ที่ความความเข้มข้น 0.1 โมลาร์	56
กราฟที่ 4.6 กราฟเปรียบเทียบระหว่างความต่างศักย์ และเส้นผ่านศูนย์กลางของรูเจาะบนผิวชั้นงาน 1-32 ของสารละลายโซเดียมคลอไรด์ความเข้มข้น 0.15 โมลาร์	57
กราฟที่ 4.7 กราฟเปรียบเทียบระหว่างความต่างศักย์ และขนาดรูเจาะ 1-32 ของสารละลายโซเดียมคลอไรด์ที่ความความเข้มข้น 0.1 โมลาร์	58
กราฟที่ 4.8 กราฟเปรียบเทียบระหว่างความต่างศักย์ และขนาดรูเจาะ 1-32 ของสารละลายโซเดียมคลอไรด์ ที่ความความเข้มข้น 0.15 โมลาร์	59
กราฟที่ 4.9 กราฟเปรียบเทียบระหว่างความต่างศักย์ และเวลาที่ใช้ 1-16 ของสารละลายโซเดียมในเทρท	61
กราฟที่ 4.10 กราฟเปรียบเทียบระหว่างความต่างศักย์ และระยะห่างช่องว่างระหว่างอิเล็กโทรดกับผิวชั้นงาน 1-16 ของสารละลายโซเดียมในเทρท	62
กราฟที่ 4.11 แสดงกราฟเปรียบเทียบระหว่างความต่างศักย์ และเส้นผ่านศูนย์กลางรูเจาะบันผิวชั้นงาน 1-16 ของสารละลายโซเดียมในเทρท	64
กราฟที่ 4.12 กราฟเปรียบเทียบระหว่างความต่างศักย์ และขนาดรูเจาะ 1-16 ของสารละลายโซเดียมในเทρท	65

บทที่ 1

บทนำ

1.1 ความเป็นมาและความสำคัญของโครงงาน

ในปัจจุบันเทคโนโลยีในระดับไมโครได้ถูกนำมาใช้อย่างแพร่หลายในอุตสาหกรรมการผลิต ชิ้นงานขนาดเล็กที่มีความละเอียด โดยขนาดโครงสร้างของชิ้นงานอยู่ในระดับไมโคร เทคโนโลยี ดังกล่าวมีส่วนสำคัญต่อการพัฒนาในหลายๆ ด้าน เช่น ทางด้านวิทยาศาสตร์ ด้านอิเล็กทรอนิกส์ และ ทางด้านการแพทย์ ซึ่งในการขึ้นรูปหรือการกัดวัสดุที่มีขนาดเล็กระดับไมโครสามารถทำได้หลายวิธี เช่น การกัดวัสดุเชิงกล การกัดวัสดุด้วยหลักการทำงานไฟฟ้า (Electrical Discharge Machining) และ การกัดวัสดุด้วยหลักการทำงานไฟฟ้าเคมี (Electrochemical machining) ซึ่งในกระบวนการกัดวัสดุ เชิงกลและกระบวนการกัดวัสดุด้วยหลักการทำงานไฟฟ้า ชิ้นงานมีความร้อนสูงส่งผลให้เกิดรอยแตก (Crack) หรือคุณสมบัติของชิ้นงานเปลี่ยนไป โดยงานวิจัยจะเป็นการศึกษาเกี่ยวกับกระบวนการกัด วัสดุด้วยหลักการทำงานไฟฟ้าเคมี (Electrochemical machining) ซึ่งเป็นกระบวนการที่ไม่เกิดความ ร้อนสูงทำให้ไม่เกิดรอยแตก(Crack) ภายในชิ้นงาน และเป็นกระบวนการที่ไม่ออาศัยแรงในการกัดวัสดุ ทำให้สามารถสร้างรูปร่างบนวัสดุบาง หรืองานระดับไมโครได้

สำหรับกระบวนการทำงานไฟฟ้าเคมี (Electrochemical machining) วัสดุจะถูกกัดออก คล้ายกับกระบวนการแยกสารละลายด้วยไฟฟ้า (Electrolysis) โดยที่ปฏิกิริยาจะเกิดขึ้นเมื่อ กระแสไฟฟ้าไหลผ่านแท่ง Electrode ไปที่ชิ้นงาน ทำให้อิเล็กตรอนเกิดการเคลื่อนที่ส่งผลให้อะตอน วัสดุและสารละลายเกิดการแตกตัวและจับตัวกันเป็นสารใหม่

1.2 วัตถุประสงค์ของการศึกษา

- 1.2.1 เพื่อศึกษาและพัฒนาเครื่องเจาะในระดับไมโครด้วยกระบวนการทางไฟฟ้าเคมีให้มีการเคลื่อนที่ในแกน X Y และ แกน Z
- 1.2.2 เพื่อศึกษาปัจจัยที่มีผลในการเจาะ เช่น ความต่างศักย์ ชนิดของสารอิเล็กโทรไลต์ ความเข้มข้นของสารอิเล็กโทรไลต์ และอัตราการเคลื่อนที่ของอิเล็กโทรด
- 1.2.3 เพื่อศึกษาและวิเคราะห์ขนาดของรูเจาะ และระยะเวลาที่ใช้ในการเจาะ

1.3 ประโยชน์ที่คิดว่าจะได้รับ

- 1.3.1 ได้เครื่องเจาะในระดับไมโครด้วยไฟฟ้าเคมี
- 1.3.2 ได้ความรู้เกี่ยวกับปัจจัยที่มีผลต่อการเจาะด้วยไฟฟ้าเคมี
- 1.3.3 ได้ความรู้ในการเขียนโปรแกรม LabVIEW ในการควบคุมเครื่องเจาะ

1.4 ขอบเขตโครงการ

- 1.4.1 พัฒนาระบบควบคุมและโปรแกรมควบคุมแกน Z นำมาประกอบเข้ากับแกน X Y โดยขนาดแห่งอิเล็กโทรดมีเส้นผ่านศูนย์กลาง 550 ไมโครเมตร
- 1.4.2 ทดลองโดยการใช้สารละลายอิเล็กโทรไลต์โซเดียมคลอไรด์ (NaCl) และ โซเดียมไนเตรต (NaNO_3) ที่ความเข้มข้นต่างๆ

1.5 ขั้นตอนการดำเนินงาน

- 1.5.1 ศึกษาหลักการและทฤษฎีที่เกี่ยวข้อง
- 1.5.2 พัฒนาเครื่องเจาะรูระดับไมโครด้วยกระบวนการไฟฟ้าเคมี
- 1.5.3 พัฒนาโปรแกรมในการควบคุม
- 1.5.4 ทำการทดลอง
- 1.5.5 วิเคราะห์และสรุปผล
- 1.5.6 จัดทำรูปเล่มปริญญาบัณฑิต

1.6 แผนการดำเนินงาน

ตารางที่ 1 แผนการดำเนินงาน

กิจกรรม	2558				2559			
	ก.ย.	ต.ค.	พ.ย.	ธ.ค.	ม.ค.	ก.พ.	มี.ค.	เม.ย.
1. ศึกษาหลักการและทฤษฎีเกี่ยวข้อง								
2. พัฒนาเครื่องเจาะรูและสร้างแกน Z								
3. พัฒนาโปรแกรมควบคุม								
4. ทำการทดลอง								
5. วิเคราะห์และสรุปผลที่ได้								
6. จัดทำรูปเล่มปริญญาบัตร								

1.7 รายละเอียดงบประมาณตลอดโครงการ

1.7.1 ค่าอุปกรณ์	7500	บาท
1.7.2 ค่าวัสดุ	1500	บาท
1.7.3 ค่าจัดทำรายงาน	300	บาท
1.7.4 อื่นๆ	500	บาท

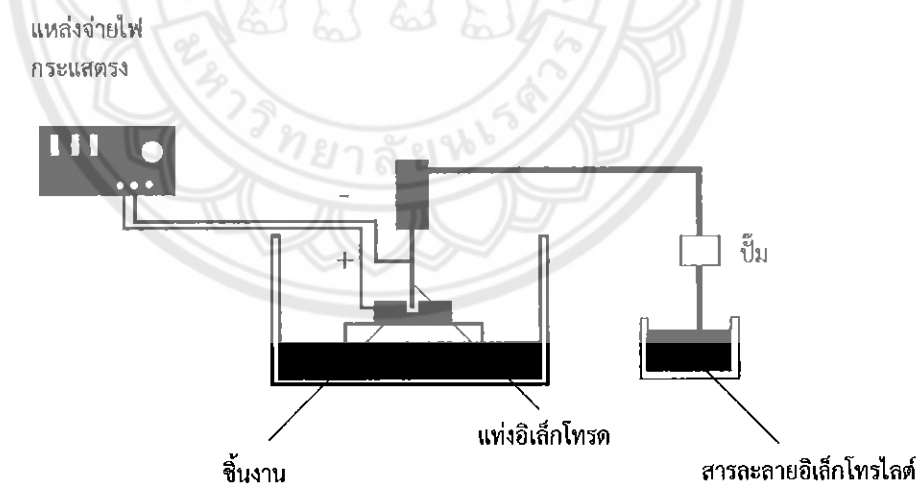
บทที่ 2

ทฤษฎีและวิธีกรรมการกัดวัสดุด้วยไฟฟ้าเคมี

2.1 หลักการและทฤษฎีที่เกี่ยวข้อง

2.1.1 กระบวนการกัดวัสดุด้วยไฟฟ้าเคมี (Electrochemical milling : ECM)

กระบวนการกัดวัสดุด้วยไฟฟ้าเคมี (ECM) [1] เป็นกระบวนการกัดวัสดุซึ่งอาศัยหลักการของขั้วกระแสไฟฟ้า โดยจะจ่ายกระแสไฟฟ้าขึ้นบวก Anode เข้าที่ชิ้นงาน (workpiece) และจ่ายกระแสไฟฟ้าขึ้นลบ Cathode ที่แท่ง electrode โดยที่สารละลายอิเล็กโทรไลต์จะไหลผ่านแท่ง electrode ไปยังชิ้นงาน ปกติสารละลายอิเล็กโทรไลต์จะเป็นสารละลายเกลือ เช่น โซเดียมคลอไรด์ (NaCl) หรือ โซเดียมไนเตรต (NaNO_3) ที่มีศักยภาพในการนำไฟฟ้ากระแสตรงระหว่างขั้วไฟฟ้าเกิดการละลายวัสดุ workpiece ในกระบวนการ



รูปที่ 2.1 โครงสร้างของกระบวนการกัดวัสดุด้วยไฟฟ้าเคมี

ปฏิกิริยาทางเคมีจะเกิดขึ้นเมื่อมีการจ่ายกระแสไฟฟ้าถูกจ่ายเข้าไปที่ชิ้นงานและตัวอิเล็กโทรด ทำให้อิเล็กตรอนเกิดการเคลื่อนที่ ทำให้วัสดุงานและสารละลายเกิดการแตกตัวและจับตัวกันเป็นสารใหม่ยกตัวอย่างเช่นวัสดุงานที่เป็นโลหะ Fe เมื่อเกิดการแตกตัวจะกลายเป็น Fe^{2+} ซึ่งจะไปรวมตัวกับอ่อน Cl^- และ OH^- ในสารละลายตามลำดับจนได้ผลิตภัณฑ์สุดท้ายเป็น $Fe(OH)_2$ ตกตะกอนเป็นผงออยู่ในสารละลายตั้งในสมการที่ 2.1 และจะมีฟองกําชาไฮโดรเจน (H_2) เกิดขึ้นที่ชั้นลับ



และจากปฏิริยาทางเคมีที่เกิดขึ้นนี้จะทำให้น้ำเกิดการแตกตัวในขณะที่ NaCl หรือเกลือไม่ได้หายไปจากระบบดังนั้นเมื่อกระบวนการกรัดดำเนินไปได้ในระยะเวลาหนึ่งจะทำให้ความเข้มข้นของสารละลายมีมากขึ้นจากการเติมน้ำเข้าไปในระบบเพื่อชดเชยน้ำที่หายไปและรักษาระดับความเข้มข้นของสารละลายอิเล็กโทรไลต์ จึงเป็นอีกปัจจัยหนึ่งที่สำคัญในกระบวนการกรัดแบบ ECM

2.1.2 สารละลายอิเล็กโทรไลต์ (Electrolyte)

อิเล็กโทรไลต์ หมายถึง สารที่เมื่อละลายในน้ำจะนำไฟฟ้าได้ เนื่องจากมีไอออนซึ่งอาจจะเป็นไอออนบาก[2]หรือไอออนลบเคลื่อนที่อยู่ในสารละลาย สารละลายอิเล็กโทรไลต์ นี้อาจเป็นสารละลายกรด เปส หรือเกลือก็ได้ ตัวอย่างเช่น สารละลายโซเดียมคลอไรด์ (NaCl) สารละลายกรดซัลฟิวริก (H_2SO_4) และสารละลายโซเดียมไนเตรท (NaNO_3) เป็นต้น โดยในสารละลายดังกล่าวประกอบด้วยไอออน H^+ , Cl^- , Na^+ และ OH^- ตามลำดับ สารละลายอิเล็กโทรไลต์ต่างๆ นำไฟฟ้าได้ไม่เท่ากัน เนื่องจากการแตกตัวเป็นไอออนของอิเล็กโทรไลต์ไม่เท่ากัน อิเล็กโทรไลต์ที่แตกตัวเป็นไอออนได้มากกว่า ก็จะนำไฟฟ้าได้ดีกว่าอิเล็กโทรไลต์ที่แตกตัวเป็นไอออนได้น้อยกว่า อิเล็กโทรไลต์แบ่งออกได้เป็น 2 ประเภท ดังนี้

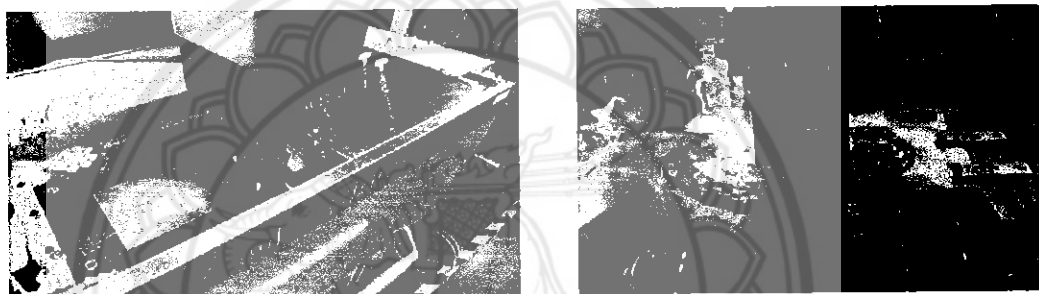
1. อิเล็กโทรไลต์แกร่ง (strong electrolyte) หมายถึง สารที่ละลายน้ำแล้วแตกตัวเป็นไอออนได้นาก อาจจะแตกตัวได้ 100% และนำไปฟื้นได้มาก เช่น กรดแกร์ และเบสแกร์ และเกลือส่วนใหญ่จะแตกตัวได้ 100% เช่น HCl , NaOH , KNO_3 , NaCl เป็นต้น

2. อิเล็กโทรไลต์อ่อน (weak electrolyte) หมายถึง สารที่ละลายน้ำแล้วแตกตัวได้บางส่วน
น้ำไปพื้นที่ได้น้อย เช่น CH_3COOH , NH_4OH เป็นต้น

ซึ่งสารละลายน้ำอิเล็กโทรไลต์ โซเดียมคลอไรด์ (NaCl) และ โซเดียมไนเตรต (NaNO_3) ที่ใช้ในการทดลอง จะเป็นสารละลายน้ำอิเล็กโทรไลต์แก่ เพราะละลายน้ำแล้วแตกตัวเป็นไอออนได้ 100% และสามารถนำไฟฟ้าได้ดี

2.1.3 กระบวนการกัดวัสดุด้วยไฟฟ้า (EDM)

EDM หรือ Electrical Discharge Machine[3] หมายถึง เครื่องกัดวัสดุโลหะด้วยหลักการทำงานของกระแสไฟฟ้าที่มีความต่างศักย์สูงโดยการปล่อยให้กระแสไฟฟ้าไหลผ่านวัสดุที่เป็นโลหะสองชิ้น ได้แก่ ชิ้นงานและอิเล็กโทรด จนทำให้เนื้อโลหะถูกกัดเช่าตาม ที่กำหนดไว้ในโปรแกรม จนได้รูปร่างชิ้นงานตามต้องการ โดยที่อิเล็กโทรดนั้นจะสร้างจากกระบวนการ CNC อิเล็กโทรดนี้จะทำจากวัสดุที่มีความสามารถในการนำไฟฟ้าสูง เช่น ทองแดง ทังสเตนคาร์บิด ซึ่งเครื่อง EDM จะสร้างความต่างศักย์ระหว่างอิเล็กโทรดและชิ้นงาน ขณะที่อิเล็กโทรdex เข้าใกล้ชิ้นงานก็จะเกิดการสปาร์คระหว่างอิเล็กโทรดและชิ้นงาน



รูปที่ 2.2 กระบวนการกัดวัสดุด้วยกระแสไฟฟ้า(EDM) [3]

ทำให้ชิ้นงานที่เป็นเหล็กเกิดความร้อนและละลายออกมานจเกิดเป็นรูปทรงอิเล็กโทรดและชิ้นงานจะจมอยู่ในของเหลวที่เป็นอนุภาณ์ ซึ่งโดยทั่วไปจะใช้น้ำมันหล่อลื่นชนิดใสหรือน้ำกลั่น ของเหลวนี้จะไม่เป็นสื่อทางไฟฟ้า ในขณะที่ควบคุมและรักษาระยะห่างระหว่างอิเล็กโทรดและชิ้นงาน เพื่อป้องกันไม่ให้อิเล็กโทรดและชิ้นงานสัมผัสนกัน งานที่เหมาะสมกับการใช้ EDM นั้น ส่วนมากจะเป็นงานที่ต้องการความเที่ยงตรง งานที่ไม่สามารถขึ้นรูปหรือตัดเฉือนด้วยวิธีปกติได้ เช่น ชิ้นงานที่บาง กัดด้วย Milling ไม่ได้ เจียรนัยไม่ได้ หรือทำได้แต่ทำได้ยาก เพราะมีรูปร่างซับซ้อน หรือเป็นชิ้นงานที่ผ่านการชุบแข็งมาแล้ว เช่น ส่วนเบ้าของแม่พิมพ์ ดังนั้น EDM จึงเหมาะสมกับการผลิตชิ้นงานประเภทต้นแบบ (Prototype) หรือการผลิตชิ้นงานในสายงานการผลิตที่มีกำลังการผลิตปานกลาง เป็นต้น

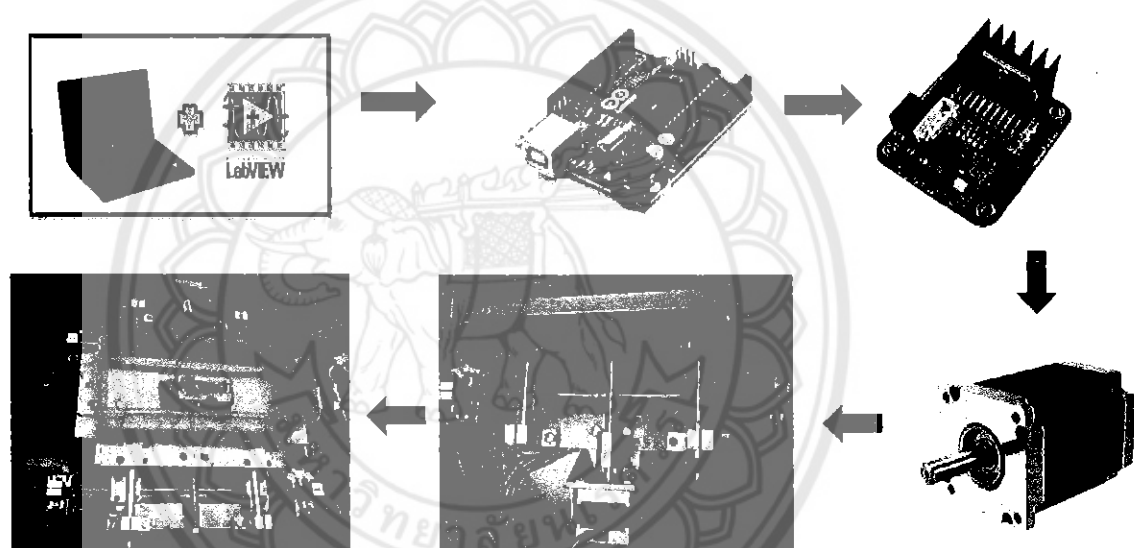
ตารางที่ 2.1 ตารางเปรียบเทียบกระบวนการ EDM กับ ECM

EDM	ECM
ใช้ความต่างศักย์ไฟฟ้าสูง	ใช้ความต่างศักย์ไฟฟ้าต่ำ
เกิดความร้อน สมบัติเชิงกลเปลี่ยนแปลง	ไม่เกิดความร้อน สมบัติเชิงกลไม่เปลี่ยนแปลงใช้
มีความเที่ยงตรงมากกว่า	เที่ยงตรงน้อยกว่า
อิเล็กโทรดเสียหายเร็ว	ใช้อิเล็กโทรดได้นานกว่า
ชิ้นงานที่ได้มีพื้นผิวที่ไม่เรียบ ขรุขระ	ชิ้นงานที่ได้มีพื้นผิวที่ดี

2.2 หลักการการออกแบบการเคลื่อนที่ของเครื่องเจาะระดับไมโครด้วยไฟฟ้าเคนี

2.2.1 ระบบควบคุมการเคลื่อนที่ของเครื่องเจาะ

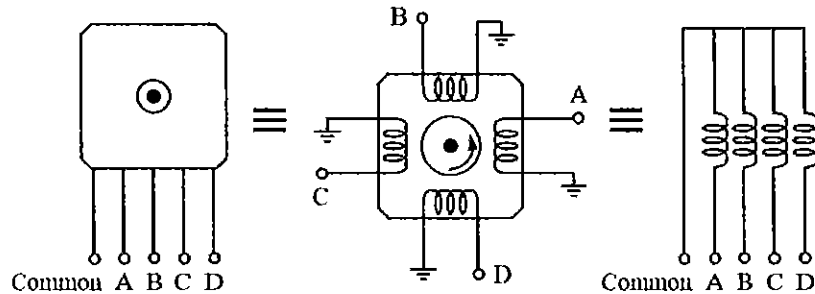
การควบคุมการเคลื่อนที่ของเครื่องเจาะ ควบคุมโดยใช้อุปกรณ์ขับสเต็ปมอเตอร์ ซึ่งได้รับสัญญาณทางไฟฟ้าจากอุปกรณ์เชื่อมต่อระหว่างคอมพิวเตอร์ และสั่งการให้มอเตอร์หมุน ไปตามตำแหน่ง ทิศทาง และ ความเร็ว ด้วยชุดคำสั่งที่โครงงานนี้พัฒนาขึ้นมาใหม่บนโปรแกรมแล็บวิว เพื่อควบคุมการเจาะชิ้นงาน ชุดอุปกรณ์ควบคุมประกอบไปด้วย คอมพิวเตอร์ บอร์ด Arduino บอร์ดขับสเต็ปมอเตอร์ และแหล่งจ่ายกระแสไฟฟ้า ดังในรูปที่ 2.3



รูปที่ 2.3 ภาพชุดควบคุมการเคลื่อนที่ของเครื่องเจาะ

2.2.2 สเต็ปมอเตอร์ (Stepping Motors)

สเต็ปมอเตอร์เหมาะสมกับงานที่ต้องการตำแหน่งของการหมุนที่แม่นยำมาก ซึ่งสามารถนำໄอีซีไมโครคอนโทรลเลอร์ มาทำการควบคุมได้สะดวก การทำงานของสเต็ปมอเตอร์จะขับเคลื่อนที่ละขั้นๆ ละ (Step) 0.9, 1.8, 5, 7.5, 15 ชิ้นอยู่กับคุณสมบัติแต่ละชนิดของสเต็ปมอเตอร์ตัวนั้นๆ โครงสร้างการทำงานของ Stepping Motor มีลักษณะดังรูปที่ 2.4 ซึ่งประกอบด้วยชุดลวด 4 ชุด ชนิด 4 phase ล้อมรอบแกนหมุน



รูปที่ 2.4 โครงสร้างของสเตปมอเตอร์แบบ 4 เฟส [4]

หลักการทำงาน คือ เมื่อจ่ายกระแสไฟฟ้าให้กับขดลวด Coil a,b,c,d ไม่พร้อมกัน โดยจ่ายกระแสให้ a แล้วตามด้วย b,c และd เรียงตามลำดับ จะทำให้เกิดสนามแม่เหล็ก หมุนวนในลักษณะ หวานเข็มนาฬิกา ซึ่งส่วนของ แกนหมุน ที่เป็นแม่เหล็กก็จะหมุนตามสนามแม่เหล็กไปด้วย การกำหนดความเร็วของ step Motor ทำได้โดยการเปลี่ยนแปลง ความเร็วของการเปลี่ยนการจ่ายกระแสจากขดลวดหนึ่งไปยังอีกด้านหนึ่งให้เร็วขึ้น

วิธีคำนวณหาจำนวน องศาต่อ step ของมอเตอร์ เช่น 1.8 องศา ต่อ Step หมายถึง 1 รอบการหมุนของมอเตอร์ ที่ 360 องศา [4] ก็จะได้

$$360/1.8 \text{ องศา} = 200 \text{ Step/Revol}$$

$$360/1.2 \text{ องศา} = 300 \text{ Step/Revol}$$

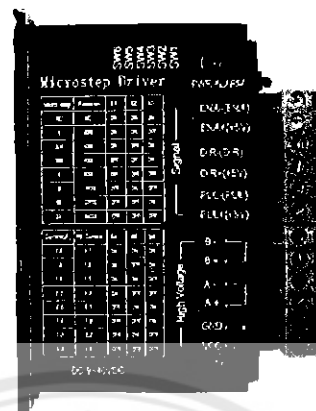
$$360/0.9 \text{ องศา} = 400 \text{ Step/Revol}$$

$$360/0.72 \text{ องศา} = 500 \text{ Step/Revol}$$

$$360/0.6 \text{ องศา} = 600 \text{ Step/Revol}$$

2.2.3 บอร์ดขับสเตปมอเตอร์ TB6600

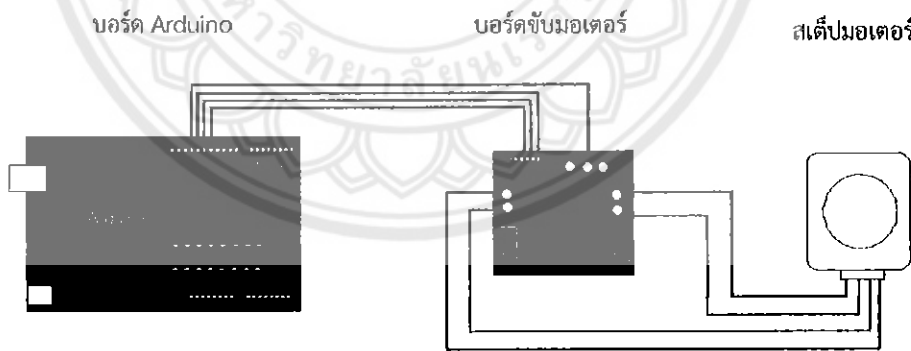
เป็นบอร์ดขับสเตปเบอร์มอเตอร์ไซซ์เบอร์ TB6600 [10] สามารถใช้งานร่วมกับบอร์ดไมโครคอนโทรลเลอร์ Arduino ได้ จ่ายกระแสได้สูงถึง 4 A สามารถปรับกระแสให้เหมาะสมกับสเตปมอเตอร์ เพื่อที่สเตปมอเตอร์จะไม่เกิดความร้อน ใช้แรงดันไฟฟ้า 12 – 45 VDC มีชีทซิงรรบายความร้อนขนาดใหญ่ ใช้ได้กับสเตปมอเตอร์ทั้งแบบ 2เฟส และ 4 เฟส สามารถปรับเป็นไมโครสเต็ปได้สูงสุด 6400 สเต็ป



รูปที่ 2.5 บอร์ดขับสเต็ปมอเตอร์ TB6600[10]

2.2.4 ไมโครคอนโทรลเลอร์(microcontroller)

ไมโครคอนโทรลเลอร์เป็นอุปกรณ์รับส่งข้อมูลและควบคุมอุปกรณ์ต่างๆ ขนาดเล็ก [5] ซึ่งในการทำงานนี้จะใช้ไมโครคอนโทรลเลอร์ arduino uno r3 ในการควบคุมการเคลื่อนที่ของ สเต็ปมอเตอร์ โดยนำไปต่อเข้ากับบอร์ด Stepper motor driver ดังรูปที่ 2.6



รูปที่ 2.6 การต่อวงจรบอร์ด Arduino เข้ากับบอร์ดขับสเต็ปมอเตอร์

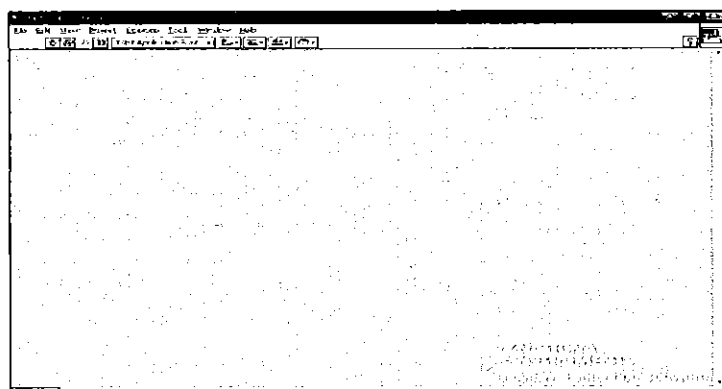
ข้อดีของบอร์ด Arduino

- ง่ายต่อการพัฒนา มีรูปแบบคำสั่งพื้นฐาน ไม่ซับซ้อน
- Open Hardware สามารถนำบอร์ดไปต่อยอดใช้งานได้หลายด้าน
- ราคาไม่แพง

2.2.5 Program LabVIEW

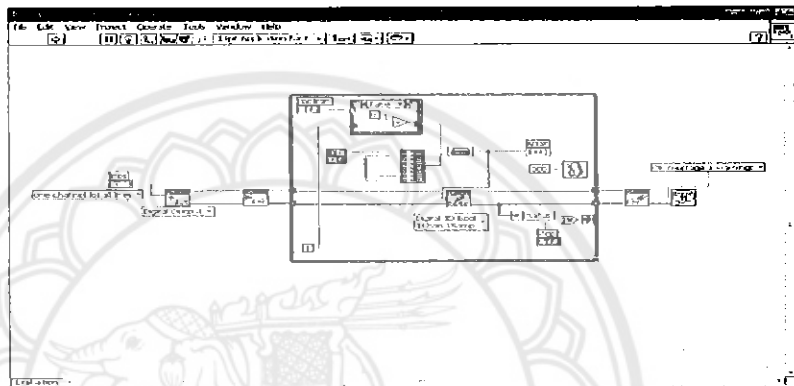
LabVIEW ย่อมาจาก Laboratory Virtual Instrument Engineering Workbench โปรแกรม LabVIEW [5] เป็นโปรแกรมที่สร้างเพื่อนำมาใช้ในด้านการวัดและเครื่องมือวัด ทางวิศวกรรม ในตัวของโปรแกรมจะประกอบด้วยฟังก์ชันที่ใช้ช่วยในการวัดและโปรแกรมเป็นโปรแกรมประเภท GUI (Graphic User Interface) คือไม่จำเป็นต้องเขียน code และภาษาที่ใช้เป็นภาษารูปภาพ หรือเรียกว่าภาษา G (Graphical Language โดยโปรแกรม LabView มีความสะดวกและสามารถลดเวลาในการเขียนโปรแกรมลงไปได้มาก โดยเฉพาะในงานเขียนโปรแกรมคอมพิวเตอร์เพื่อเชื่อมตอกับอุปกรณ์อื่นๆ เพื่อใช้ในการวัดและการควบคุม โปรแกรมที่เขียนขึ้นมาโดย LabVIEW จะเรียกว่า Virtual Instrument (VI) เพราะลักษณะที่ปราศจากทางจอภาพเมื่อผู้ใช้ใช้งานจะเหมือนกับเครื่องมือหรืออุปกรณ์ทางวิศวกรรม สำหรับ VI หนึ่งๆ จะประกอบด้วยส่วนประกอบ 3 ส่วน

1. Front Panel หรือหน้าปัด จะเป็นส่วนที่ใช้สื่อความกันระหว่างผู้ใช้กับโปรแกรม โดยที่จะมีลักษณะเหมือนกับหน้าปัดของเครื่องมือหรือ อุปกรณ์ที่ใช้งานด้านการวัดทั่วๆไป โดยจะประกอบด้วย สวิตช์ปิดเปิด ปุ่มกด จอแสดงผลหรือค่าที่ผู้ใช้สามารถกำหนด ดังในรูปที่ 2.7



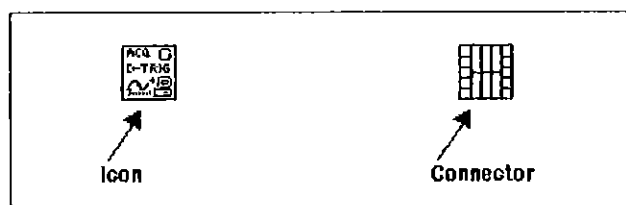
รูปที่ 2.7 Front Panelของ LabVIEW [5]

2. Block Diagram เปรียบเสมือนกับ Source Code หรือโปรแกรมของ LabVIEW ซึ่ง pragmat ว่าอยู่ในรูปของภาษา G ส่วนประกอบภายใน Block Diagram จะประกอบด้วยฟังก์ชัน ค่าคงที่โปรแกรมควบคุมการทำงานหรือโครงสร้าง จากนั้นในแต่ละส่วนจะทำการต่อสาย (Wire) สำหรับ Block เข้าด้วยกัน เพื่อกำหนดลักษณะการไหลของข้อมูลระหว่าง Block ทำให้ข้อมูลได้รับการประมวลผลตามที่ต้องการและแสดงผลออกมาให้แก่ผู้ใช้ ดังในรูปที่ 2.8



รูปที่ 2.8 ตัวอย่าง Block Diagram[5]

3. Icon และ Connector เปรียบเสมือนโปรแกรมย่อย ในโปรแกรมปกติที่นำไป Icon จะหมายถึง Block Diagram ด้านนึงที่มีการส่งข้อมูลเข้าและออกผ่านทาง Connector ข้อดีของการเขียนโปรแกรมด้วยภาษา G สามารถสร้าง VI ที่ละเอียดอ่อนมาให้ทำงานด้วยตัวเองได้อย่างอิสระสำหรับลักษณะที่นำไปของ Icon และ Connector ในรูปที่ 2.9 เราจะเห็นว่า ในรูปของ Connector เราจะพบว่ามีช่องต่อข้อมูลหรือที่เรียกว่า Terminal pragmat ให้เห็น



รูปที่ 2.9 ลักษณะที่นำไปของ Icon และ Connector[5]

ซึ่งในงานวิจัยนี้จะนำโปรแกรม Labview มาประยุกต์ใช้ในการควบคุมการเคลื่อนที่ของเครื่องเจาะ โดยการเขียนโปรแกรม Labview ลงบนบอร์ด Arduino

2.3 วรรณกรรมปริทัศน์

2.3.1 งานวิจัยของ Chuangchuang Chen [6] ศึกษาปัจจัยที่เกี่ยวข้องกับประสิทธิภาพการทำงานของเครื่องกัดร่องขนาดเล็กด้วยกระบวนการรีมิโคร ECM เช่น แรงดันไฟฟ้า ช่วงเวลาในการจ่าย pulse และ การให้ของสารละลายอิเล็กโทรไลต์ เป็นต้น โดยการทดลองโดยจะใช้อุปกรณ์การทดลองที่มีการเคลื่อนที่ในแนวแกน X Y Z ที่ความละเอียด 0.1 ไมโครเมตร แหล่งจ่ายไฟ ultra-short pulse ระบบคำนวณสารอิเล็กโทรไลต์ แท่งอิเล็กโทรด และชุดควบคุมระบบคอมพิวเตอร์ ดังในรูปที่ 2.10



รูปที่ 2.10 (a) โครงสร้างอุปกรณ์การทดลอง

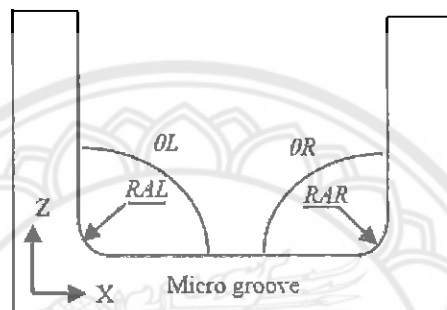


รูปที่ 2.10 (b) อุปกรณ์การทดลอง[6]

โดยการกำหนดค่าต่างๆเป็นไปตามตารางที่ 2.2

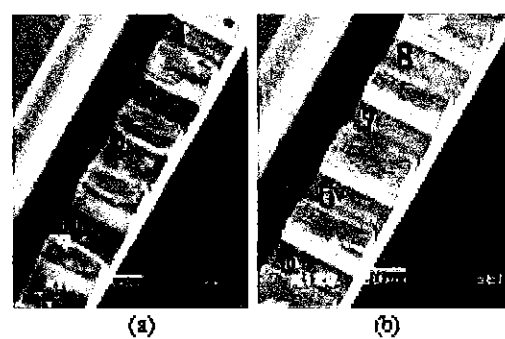
Items	Parameters
Electrode	Tungsten , $\Phi 80 \mu\text{m}$
Workpiece	304 Stainless steel, $25 \times 25 \times 0.5 \text{ mm}^2$
Electrolyte	H_2SO_4 0.2 mole/L
Tool rotation rate	1000 rpm
Feed velocity	X Y 2 $\mu\text{m}/\text{s}$, Z 1 $\mu\text{m}/\text{s}$

ในกระบวนการไมโคร ECM แรงดันไฟฟ้าและช่วงเวลาในการจ่าย pulse เป็นปัจจัยหนึ่งที่เป็นตัวกำหนดคุณภาพในการกัดวัสดุ ในบทความนี้จะกำหนดให้ RA เป็นรัศมีของมุมะระห่วงผนังด้านข้างกับพื้นผิวด้านล่าง RAL เป็นรัศมีมุมะหงด้านขวา RAR เป็นรัศมีมุมะหงด้านซ้ายและ Ø เป็นมุมะหงห่วงผนังด้านข้างกับพื้นผิวด้านล่างโดยที่ ØR เป็นมุมะหงด้านขวาและ ØL เป็นมุมะหงด้านซ้ายในรูปที่ 2.11



รูปที่ 2.11 การกำหนดตัวแปรของร่องขนาดเล็ก[6]

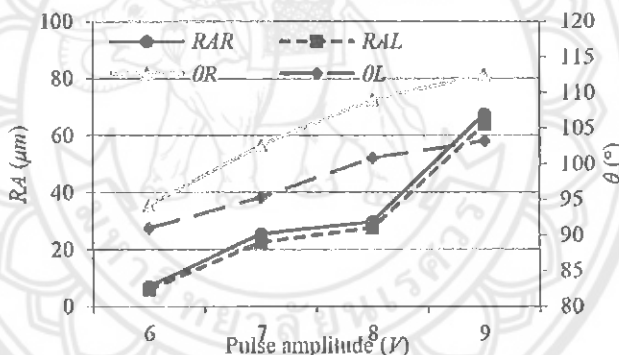
ในรูปที่ 2.12 ภาพของร่องขนาดไมโครที่ถูกกัดด้วยกระบวนการไมโคร ECM ภายใต้แรงดันไฟฟ้ากับช่วงเวลาในการจ่าย pulse ที่แตกต่างกัน โดยวัดรัศมีของมุ RA และ มุมะหงห่วงผนังด้านข้าง (θ) ด้วยกล้องจุลทรรศน์ โดยค่าความแตกต่างของแรงดันไฟฟ้าที่ใช้และช่วงเวลาในการจ่าย pulse ดังในตารางที่ 2.3 โดยความสัมพันธ์ระหว่างรัศมีมุ (RA) และมุ (θ) เมื่อเทียบกับแรงดันไฟฟ้านำมาแสดงเป็นกราฟได้ ดังในรูปที่ 2.13 และความสัมพันธ์ระหว่างรัศมีมุ (RA) และมุ (θ) เทียบกับช่วงเวลาในการจ่าย pulse นำมาแสดงเป็นกราฟได้ ดังในรูปที่ 2.14



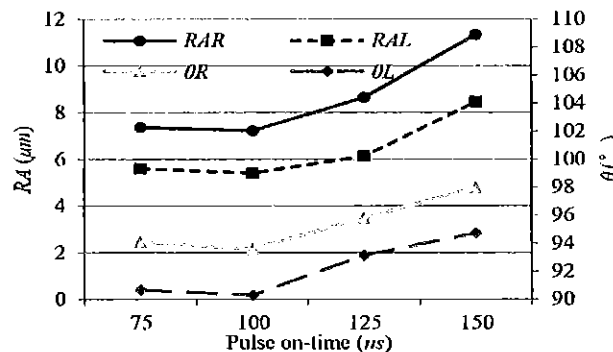
รูปที่ 2.12 ภาพของร่องขนาดไมโครที่ถูกกัดด้วยกระบวนการไมโคร ECM[6]

ตารางที่ 2.3 ค่าความแตกต่างแรงดันไฟฟ้าที่ใช้และช่วงเวลาในการจ่าย pulse ที่มีผลต่อรัศมีของมนุษย์องศา

Groove No.	Voltage (V)	Pulse on-time (ns)
1	9	100
2	8	100
3	7	100
4	6	100
5	6	150
6	6	125
7	6	100
8	6	75



รูปที่ 2.13 กราฟแสดงมนุษย์ระหว่างผนังด้านข้างกับพื้นผิวด้านล้านล่าง (RA) และ ความเรียวยของผนังด้านข้าง (θ) เทียบกับแรงดันไฟฟ้า[6]

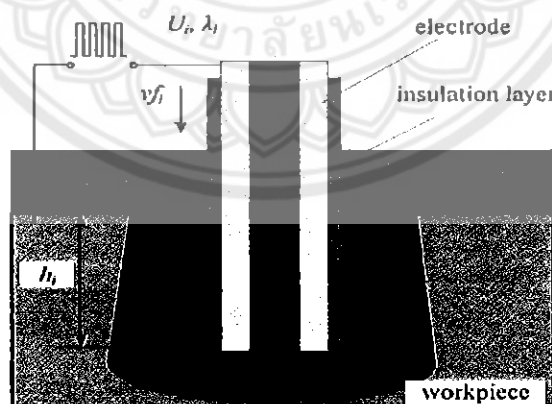


รูปที่ 2.14 กราฟแสดงมนุษย์ระหว่างผนังด้านข้างกับพื้นผิวด้านล้านล่าง (RA) และ ความเรียวยของผนังด้านข้าง (θ) เทียบกับช่วงเวลาการจ่าย pulse[6]

ในรูปที่ 2.12(a) จะเห็นได้ว่าความเที่ยงตรงของมุม (RA) และมุม (θ) ในร่องที่ 4 ดีกว่าร่องที่ 1 ถึง ร่องที่ 3 ภายในได้แรงดันไฟฟ้าที่ต่ำลง ในรูปที่ 2.12(b) จากร่องที่ 5 ถึง ร่องที่ 8 จะเห็นได้ว่า ความเที่ยงตรงในการกัดร่องดีขึ้นเมื่อเทียบกับร่องที่ 1 ถึง ร่องที่ 4 ภายในได้แรงดันไฟฟ้า 6 โวลต์ ในรูปที่ 2.13 และรูปที่ 2.14 จากราฟแสดงให้เห็นว่าแรงดันไฟฟ้า ช่วงเวลาในการจ่าย pulse เป็นปัจจัยที่มีผลต่อขนาดรัศมีของมุม (RA) และมุม (θ) เมื่อใช้แรงดันไฟฟ้า และช่วงเวลาในการจ่าย pulse ที่เพิ่มขึ้นส่งผลให้รัศมีของมุม (RA) และมุม (θ) มีขนาดเพิ่มขึ้นตามไปด้วย ทำให้มีความเที่ยงตรงในการกัดร่องลดลง

2.3.2 งานวิจัยของ Guodong Liu และคณะ [7] ในงานวิจัยนี้ได้ศึกษาโดยทำการทดลองด้วยกระบวนการกัดวัสดุไฟฟ้าเคมี (μECM) โดยสารละลายอิเล็กโทรไลต์ที่ใช้ทำการทดลองเป็นโซเดียมคลอเรต (NaClO_3) ด้านขึ้นงานที่นำมาเจาะเป็นเหล็กในกลุ่ม Stainless steel (18CrNi8) และมีการติดตั้งฉนวน (Insulation) บริเวณด้านขอบด้านนอกของแท่งอิเล็กโทรดเพื่อปรับปรุงให้มีประสิทธิภาพของการเจาะวัสดุ

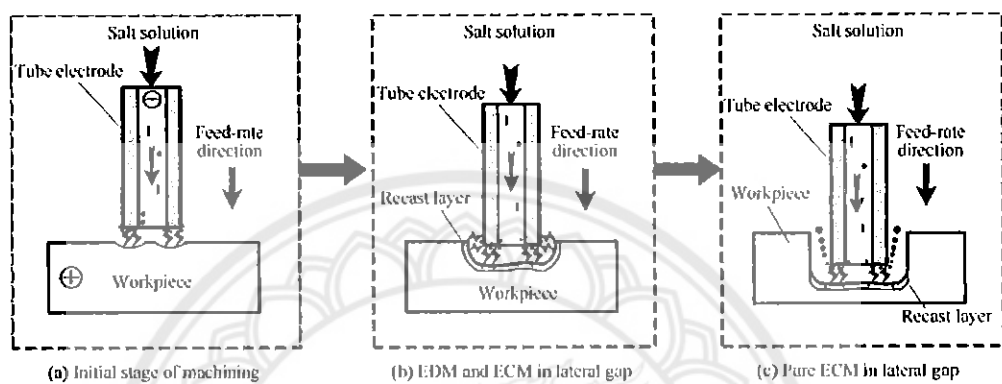
2.3.3 งานวิจัยของ Zhang Yan และคณะ [8] ประยุกต์ใช้กระบวนการ ECM ร่วมกับ EDM เป็น



รูปที่ 2.15 การเจาะหลุมเตเปอร์ขนาดไมโครโดยกระบวนการ (μECM)สารละลายไอลัย้อนกลับ[8]

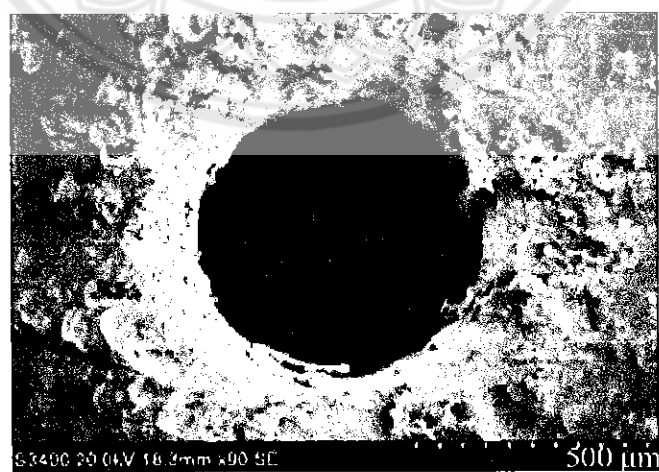
การนำเสนอการขึ้นรูปวัสดุ single-crystal superalloy ที่ใช้ในการผลิตใบพัดกังหันของเครื่องยนต์ไอพ่น ซึ่งมีความแข็งแรงมาก ขึ้นรูปกระบวนการ tube electrode high-speed electrochemical discharge drilling (TSECD) คือการประยุกต์ใช้กระบวนการ EDM ร่วมกับ ECM

หลักการคือ กระบวนการ tube electrode high-speed electrochemical discharge drilling (TSECDD) จะเริ่มกัดวัสดุด้วยกระบวนการ EDM ต่อมาก็ใช้ EDM ผสมกับ ECM จนเมื่อขนาดของช่องว่างรอบๆ อีเล็กโทรดขยາมากขึ้น ระบบก็จะเปลี่ยนไปใช้กระบวนการ ECM อย่างเดียว ดังในรูปที่ 2.16

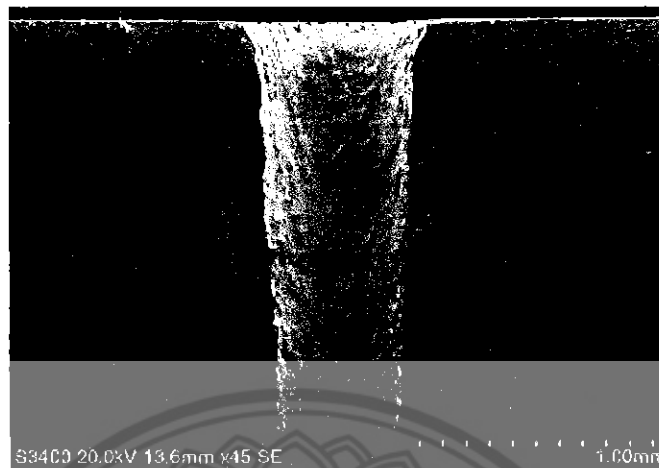


รูปที่ 2.16 กระบวนการการประยุกต์ใช้กระบวนการ EDM ร่วมกับ ECM (TSECDD) [4]

ทำการทดลองโดยการเจาะรูได้ชิ้นงานดังในรูปที่ 2.17 และ รูปที่ 2.18



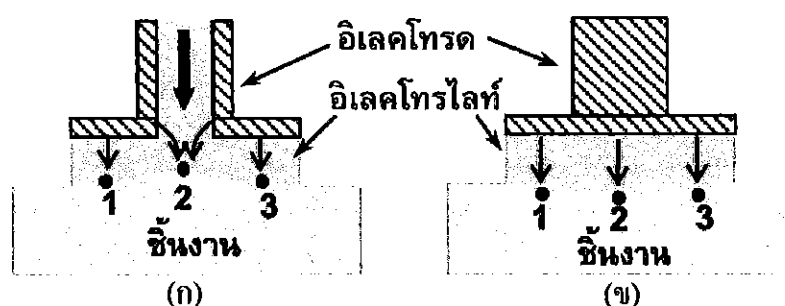
รูปที่ 2.17 ด้านบนของรูที่เจาะด้วย (TSECDD) [8]



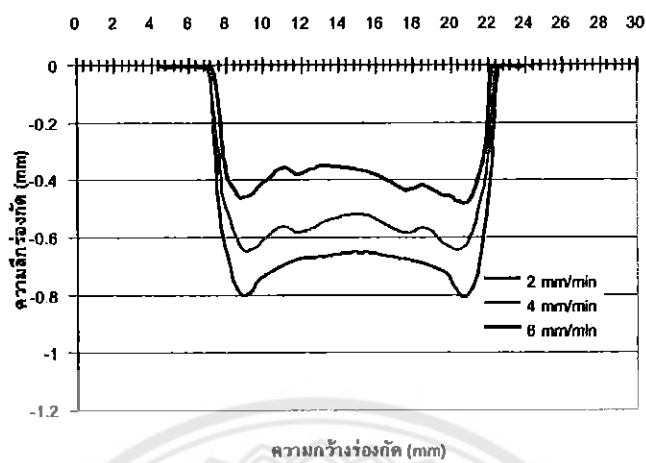
รูปที่ 2.18 ด้านข้างของรูที่เจาะด้วย (TSECDD)[8]

2.3.4 งานวิจัยของจิตติ พัทธวนิช [9] ทดลองและศึกษาถึงรูปร่างของร่องกัดที่ถูกสร้างจากกระบวนการกัดวัสดุด้วยวิธีทางไฟฟ้าเคมี โดยใช้อิเล็กโทรดทรงกระบอกกลวงและตันที่ปลายมีลักษณะเป็นแผ่นกลม และที่อัตราการป้อนอิเล็กโทรดที่แตกต่างกัน ใช้สารละลายโซเดียมไนเตรต (NaNO_3) ที่ความเข้มข้น 100 กรัม/ลิตรเป็นอิเล็กโทรไลต์ ใช้ไฟฟ้ากระแสตรงที่มีความต่างศักย์ 17 โวลต์ ระยะห่างของอิเล็กโทรดและชิ้นงาน 0.2 มิลลิเมตร อัตราป้อนของอิเล็กโทรดที่ทำการทดลองเท่ากับ 2, 4 และ 6 มิลลิเมตร/นาที

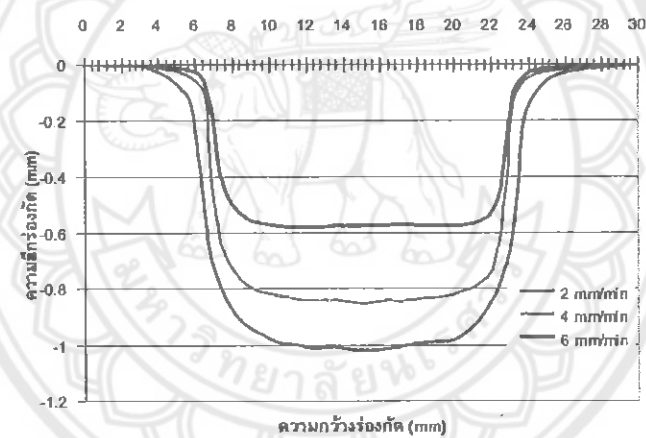
พบว่าในทุกอัตราป้อน ผิวร่องกัดจากการใช้อิเล็กโทรดทรงกลวงจะมีรูปร่างโค้งมน โดยโครงสร้างนูนเกิดขึ้นที่บริเวณตรงกลางของร่องกัด ความกว้างและความลึกของร่องกัดที่บริเวณตรงกลางชิ้นงาน มีค่ามากกว่าที่ทางเข้าและออก และร่องกัดที่ใช้อิเล็กโทรดทรงตันจะมีลักษณะผิวนราบ ความกว้างและความลึกที่ค่อนข้างคงที่



รูปที่ 2.19 ลักษณะการกัดชิ้นงานของอิเล็กโทรด (ก) ทรงกลวง (ข) ทรงตัน[9]



รูปที่ 2.20 หน้าตัดที่ถูกสร้างจากอิเล็กโทรดทรงกลวง[9]



รูปที่ 2.21 หน้าตัดที่ถูกสร้างจากอิเล็กโทรดทรงตัน[9]

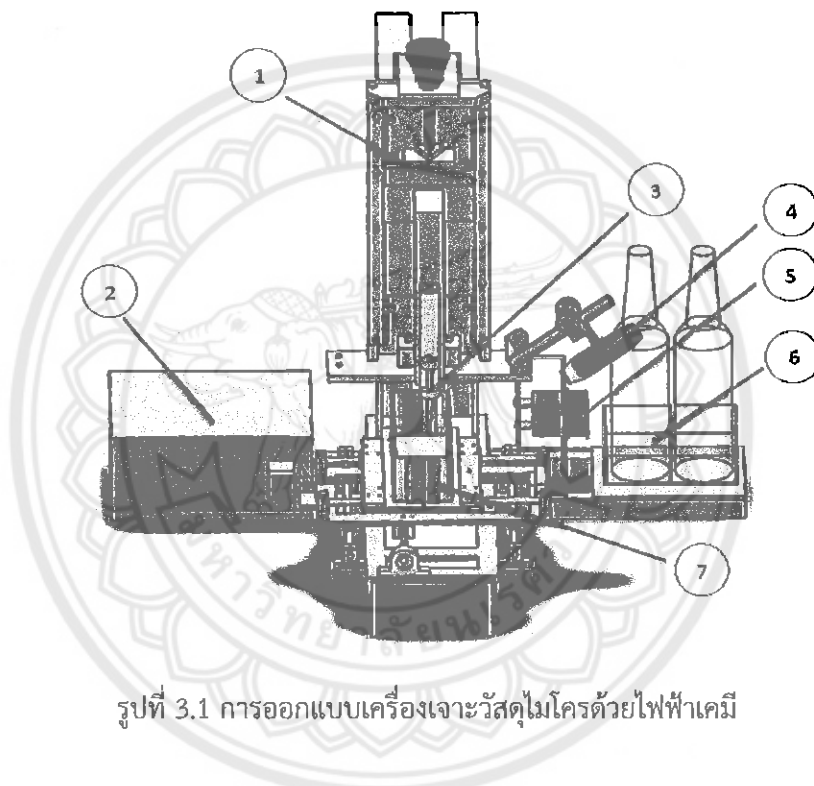
บทที่ 3

วิธีการดำเนินงาน

จากการศึกษาระบบเจาะวัสดุระดับไมโครด้วยไฟฟ้าเคมี ได้ทำการออกแบบและพัฒนาชุดการทดลองต่างๆ จากรุ่นที่แล้ว โดยทำการออกแบบการเคลื่อนที่ในแนวแกน Z มาประกอบเข้ากับชุดการทดลองจากรุ่นที่แล้วที่มีการเคลื่อนที่ในแนวแกน X Y และได้ทำการสร้างและประกอบชุดการทดลองที่มีการเคลื่อนที่ทั้ง 3 แกน โดยการเคลื่อนที่ของทั้ง 3 แกนใช้ step motor เป็นตัวขับหลัก สกู๊ฟฟ์ในการสร้างชุดการทดลองนี้ได้เลือกใช้บอร์ดขับสเตปมอเตอร์รุ่น TB6600 ซึ่งสามารถปรับกระแสและความละเอียดได้ และทำการทดลองการเคลื่อนที่ทั้ง 3 แนวแกน โดยการเคลื่อนที่ในแนวแกน X Y มีความละเอียดที่ 10 ไมโครเมตร การเคลื่อนที่ในแนวแกน Z มีความละเอียดที่ 6.3 ไมโครเมตร และในชุดการทดลองได้มีการติดตั้งกล้องไมโครสโคปเพื่อไว้บันทึกกระบวนการการเจาะ และได้เพิ่มชุดควบคุมความดันภายในสายยางจากรุ่นที่แล้วเพื่อให้แรงดันในการฉีดสารละลายอิเล็ก trode ลดลง เมื่อสร้างชุดการทดลองพร้อมสำหรับการทดลองจึงออกแบบการทดลอง โดยการทดลองจะใช้สารละลายอิเล็ก trode 2 ชนิดประกอบไปด้วยสารละลายโซเดียมคลอไรด์ และสารละลายโซเดียมในเตรต โดยทำการปรับเปลี่ยนค่า อัตราเร็วของแท่งอิเล็ก trode ค่าความต่างศักย์ และความเข้มข้นของสารละลาย ให้รู้จะมีความเหมาะสมที่สุด จากนั้นจะทำการวิเคราะห์ข้อมูลที่ได้แล้วนำมาสรุปผล

3.1 ออกแบบระบบเจาเวสต์ดับไมโคร

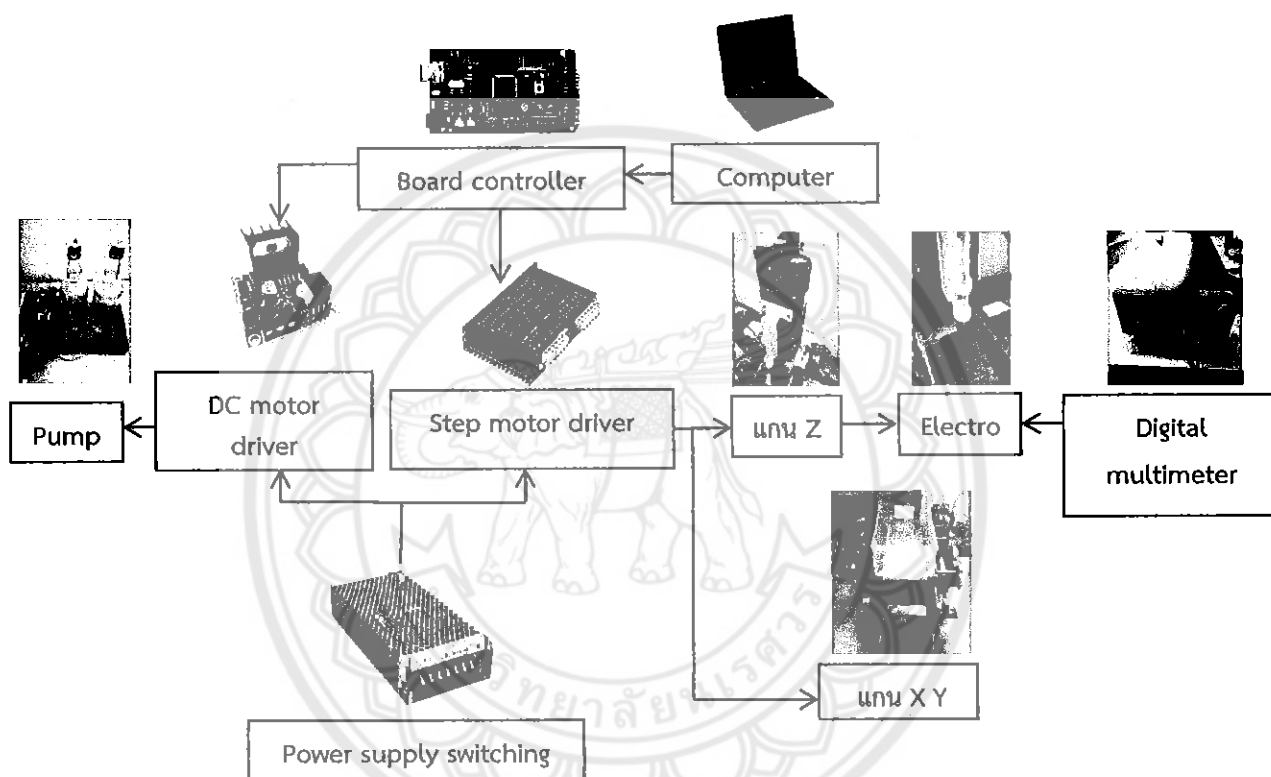
ในการออกแบบระบบการเจาเวสต์ดับไมโครด้วยไฟฟ้าเคมี ในงานวิจัยนี้มีส่วนประกอบที่สำคัญ โดยระบบควบคุมการเคลื่อนที่ในแกน X Y และ Z จะใช้สเตปมอเตอร์ ระบบฉีดสารละลายโดยใช้ Peristaltic Pump และกล้องไมโครสโคป ทำหน้าที่จับภาพการเกิดปฏิกิริยาเคมี ระบบห้องหมุดจะถูกควบคุมและสั่งการโดยใช้คอมพิวเตอร์ ดังรูปที่ 3.1



รูปที่ 3.1 การออกแบบเครื่องเจาเวสต์ดับไมโครด้วยไฟฟ้าเคมี

1. แกน Z เป็นส่วนเคลื่อนที่ ขึ้น-ลง ของแท่งอิเล็กโทรด	5. Peristaltic Pump ทำหน้าที่ฉีดสารละลาย
2. กล้องส่วนควบคุมไมโครคอนโทรลเลอร์	6. ขาดบรรจุสารละลายอิเล็กโทรไลต์
3. ตัวยึดแท่งอิเล็กโทรด ใช้ 3D ปรินต์เตอร์ในการสร้าง	7. แกน X Y เป็นส่วนควบคุมการเคลื่อนที่ของชิ้นงาน
4. กล้องไมโครสโคป ทำหน้าที่ถ่ายภาพการ เกิดปฏิกิริยา	

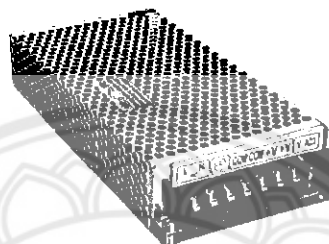
รูปที่ 3.2 กระบวนการเริ่มต้นที่ใช้คอมพิวเตอร์ควบคุมบอร์ดไมโครคอนโทรลเลอร์โดยรับกระแสไฟฟ้าจาก Powersupply เพื่อไปควบคุมส่วนการเคลื่อนที่ในแนวแกน X Y Z และส่วนการฉีดสารละลายด้วย Peristaltic Pump ที่ดูดจากขวดบรรจุสารละลายทั้งสองขวด โดยขาดแรกเป็นอิเล็กโทรไลต์ก่อนทำปฏิกิริยากับสารอิเล็กโทรไลต์ที่ทำปฏิกิริยาแล้ว ในการทดลองมีการใช้ Powersupply ปรับค่าได้เป็นตัวควบคุมกระแสไฟฟ้าที่ป้อนให้กับแท่งอิเล็กโทรด



รูปที่ 3.2 แผนภาพการทำงานของกระบวนการกัดวัสดุด้วยไฟฟ้าเคมี

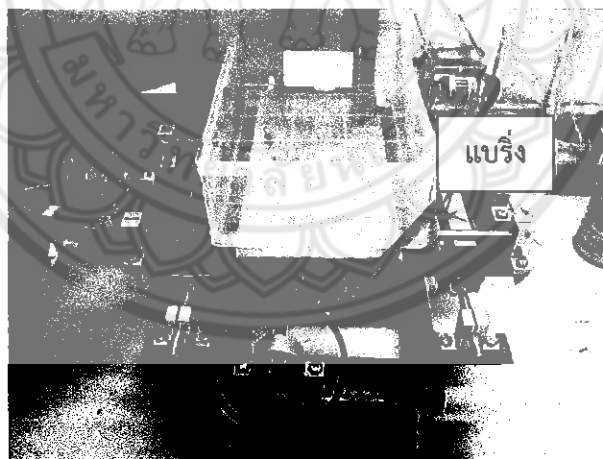
รูปที่ 3.3 แสดงโปรแกรมที่ใช้ในการควบคุมการเคลื่อนของแกน X Y Z และการหมุนของ Peristaltic Pump สามารถกำหนดตำแหน่งการเคลื่อนที่ของแกน X Y Z ได้โดยการใส่อักษรตัว p และตามด้วยตำแหน่งของทั้ง 3 แกน เช่น p100,100,100 ดังรูปที่ 3.4 ทั้ง 3 แกนจะเคลื่อนที่ไป 100 สเต็ป และสามารถควบคุมการเคลื่อนที่ในแนวแกน Z แกนเดียวได้ด้วยการใส่อักษรตัว z ตามด้วยตำแหน่ง เช่น z100 ดังในรูปที่ 3.5 แกน Z จะเคลื่อนที่ไป 100 สเต็ป ในการควบคุมอัตราเร็วของปั๊ม ทำได้โดยการใส่อักษรตัว P และตามด้วยอัตราการหมุนของปั๊มทั้ง 2 ตัว เช่น P30,30 ดังในรูปที่ 3.6

รูปที่ 3.7 Power supply เป็นแหล่งจ่ายกระแสไฟให้กับบอร์ดขับสเต็ปมอเตอร์ TB6600 และบอร์ดขับ DC มอเตอร์ L298N ที่ใช้ในการควบคุมการเคลื่อนที่และความเร็วของปั๊ม คุณสมบัติของ Power supply มีหน้าที่ในการแปลงกระแสไฟฟ้าสั้นขนาด 220 โวลต์ เป็นกระแสตรง 12 โวลต์



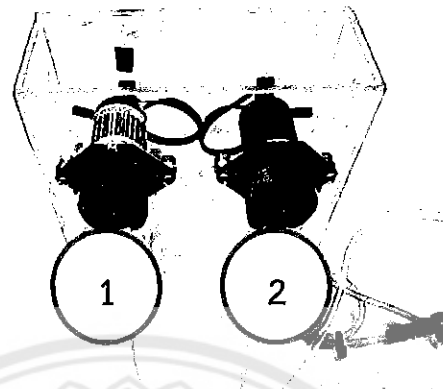
รูปที่ 3.7 Power supply ทำหน้าที่เป็นตัวจ่ายกระแส

รูปที่ 3.8 ทำการปรับปุ่ม XY Stage โดยการเสริมแปรริ่งที่ลีดสกรูช่วยควบคุมความผิดพลาดตามแนวแกน



รูปที่ 3.8 ชุดการเคลื่อนที่ในแนวระนาบ XY [11]

รูปที่ 3.9 Peristaltic Pump 2 ตัว มีการทำแท่นจับยึดด้วยแผ่นอะคริลิคเพื่อเป็นฐานให้กับปั๊ม โดยมีการควบคุมการทำงานของปั๊มด้วยบอร์ด Arduino ผ่านบอร์ดขับ DC มอเตอร์ L298N โดยปั๊มตัวที่ 1 จะทำหน้าที่ดูดสารละลายจากภาชนะรองรับสารอิเล็กโทรไลต์ที่ทำปฏิกิริยาแล้วกลับมาจับขวดบรรจุสารละลาย ปั๊มตัวที่ 2 ทำหน้าที่ดูดสารละลายอิเล็กโทรไลต์ที่ยังไม่ผ่านการทำปฏิกิริยาและส่งไปยังแท่งอิเล็กโทรดเพื่อทำการฉีดสารละลายไปบนแผ่นชิ้นงาน



รูปที่ 3.9 ปั๊มที่ใช้ในการถอดสารละลายอิเล็กโทรไลต์[11]

รูปที่ 3.10 เป็นควบคุมด้านภัยในห้องสายยาง ทำงานโดยปั๊มจะส่งสารละลายอิเล็กโทรไลต์ ก่อนทำปฏิกิริยา เข้าไปยังชุดควบคุมแรงดัน โดยสายที่ออกจากชุดควบคุมแรงดันนั้นจะมีสองเส้น คือ ส่วนของสารละลายที่ส่งไปยังอิเล็กโทรด และส่วนที่กลับมา�ังสารละลายก่อนทำปฏิกิริยา สารละลาย ให้ลอกลับก็ต่อเมื่อความดันในสายส่งมีความดันสูง

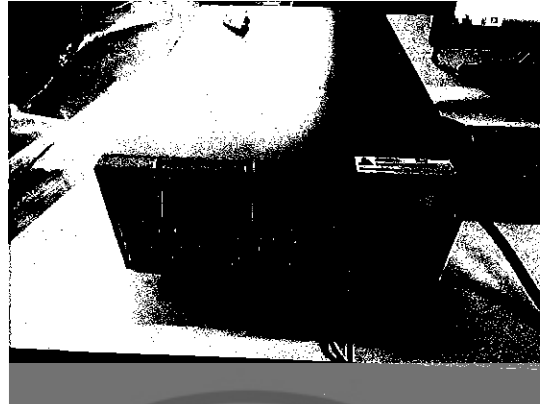


รูปที่ 3.10 ชุดควบคุมความดันภัยในห้องสายยาง[11]

รูปที่ 3.11 Digital Power supply ทำหน้าที่เป็นตัวจ่ายกระแสไฟฟ้าให้กับชิ้นงานและแท่น อิเล็กโทรด สามารถกำหนดค่าความต่างศักย์ตามที่ได้ออกแบบไว้ได้โดยในการทดลองมีการปรับค่าความต่างศักย์ของสารอิเล็กโทรไลต์ ใช้เตียมคลอรอไรด์ ไว้ที่ 5 7 9 และ 11 โวลต์ ส่วนโซเดียมในเตรทติ้งไว้ 9 12 โวลต์ และกำหนดค่ากระแสไฟฟ้าอยู่ที่ 1 แอมป์เบอร์

19181541

14 ๗.๘. 2560



รร
๕๔๘๕ ก
๙๕๖๙

รูปที่ 3.11 Digital Power supply ปรับค่าแรงดันกระแสไฟฟ้าได้

ในการออกแบบชุดควบคุมในกระบวนการเจาะด้วยไฟฟ้าควรมี ประกอบไปด้วยการควบคุม การเคลื่อนที่ในแนวแกน X Y และ Z การควบคุมอัตราการไหลของสารละลายอิเล็กโทรไลต์ ดังรูปที่ 3.12 โดยในชุดควบคุมประกอบไปด้วย

หมายเลข 1 Power supply เป็นแหล่งจ่ายกระแสไฟฟ้าให้กับชุดควบคุมในวงจร

หมายเลข 2 บอร์ดไมโครคอนโทรลเลอร์ Arduino MEGA ทำหน้าที่รับสัญญาณจาก คอมพิวเตอร์แล้ว ส่งไป ยังส่วนควบคุมต่างๆ

หมายเลข 3 บอร์ดขับสตีปมอเตอร์ TB6600 ใช้ในการขับสตีปมอเตอร์ในแนวแกน Z

หมายเลข 4 บอร์ดขับสตีปมอเตอร์ TB6600 ใช้ในการขับสตีปมอเตอร์ในแนวแกน Y

หมายเลข 5 บอร์ดขับสตีปมอเตอร์ TB6600 ใช้ในการขับสตีปมอเตอร์ในแนวแกน X

หมายเลข 6 สตีปมอเตอร์ที่ใช้ในการเคลื่อนที่ในแนวแกน Z

หมายเลข 7 สตีปมอเตอร์ที่ใช้ในการเคลื่อนที่ในแนวแกน Y

หมายเลข 8 สตีปมอเตอร์ที่ใช้ในการเคลื่อนที่ในแนวแกน X

หมายเลข 9 บอร์ดขับมอเตอร์ DC ใช้ในการขับปั๊ม Peristaltic

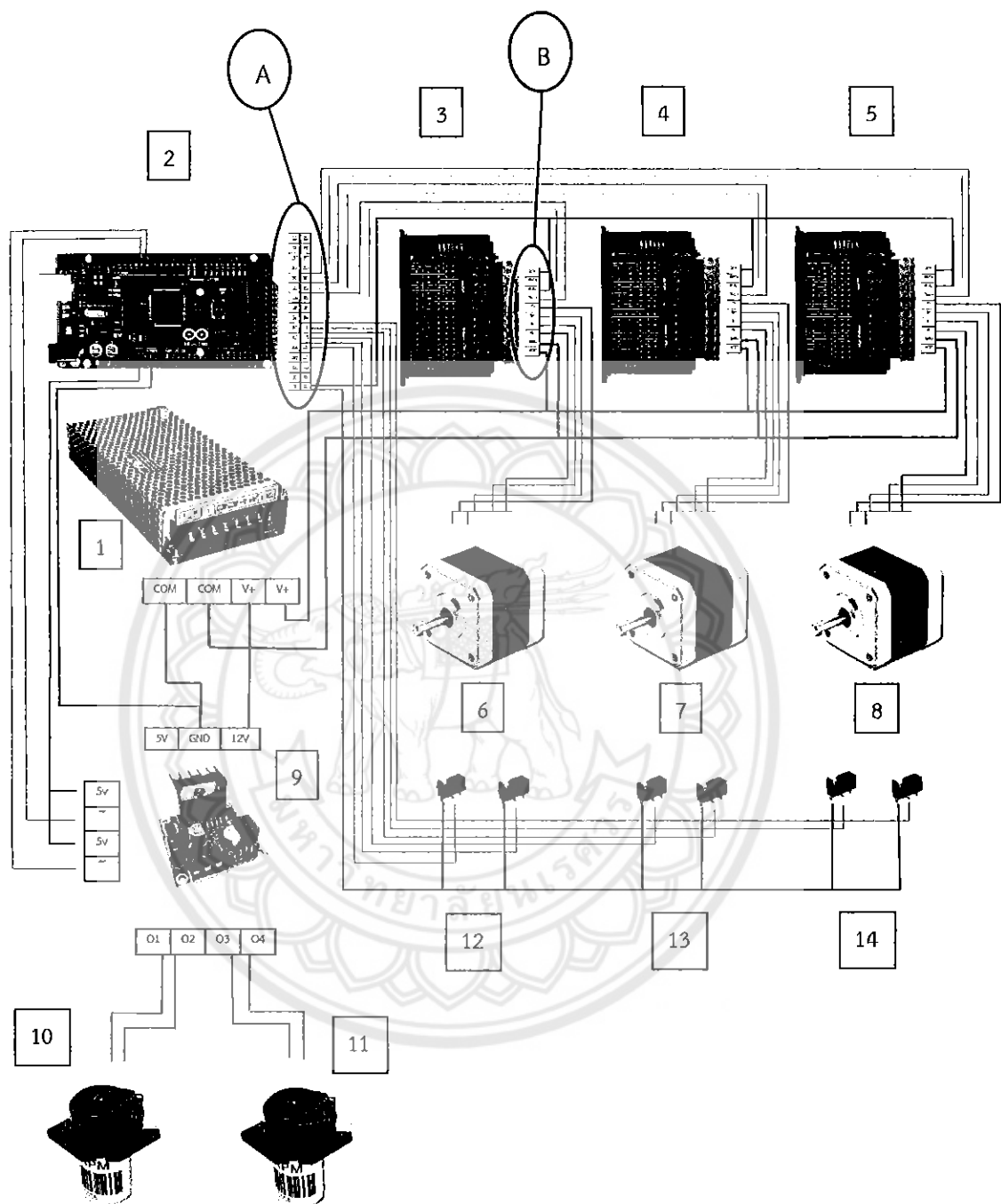
หมายเลข 10 ปั๊ม Peristaltic ใช้ในการฉีดสารอิเล็กโทรไลต์ที่ใช้ในกระบวนการ

หมายเลข 11 ปั๊ม Peristaltic ใช้ในการดูดสารอิเล็กโทรไลต์ที่ใช้แล้ว

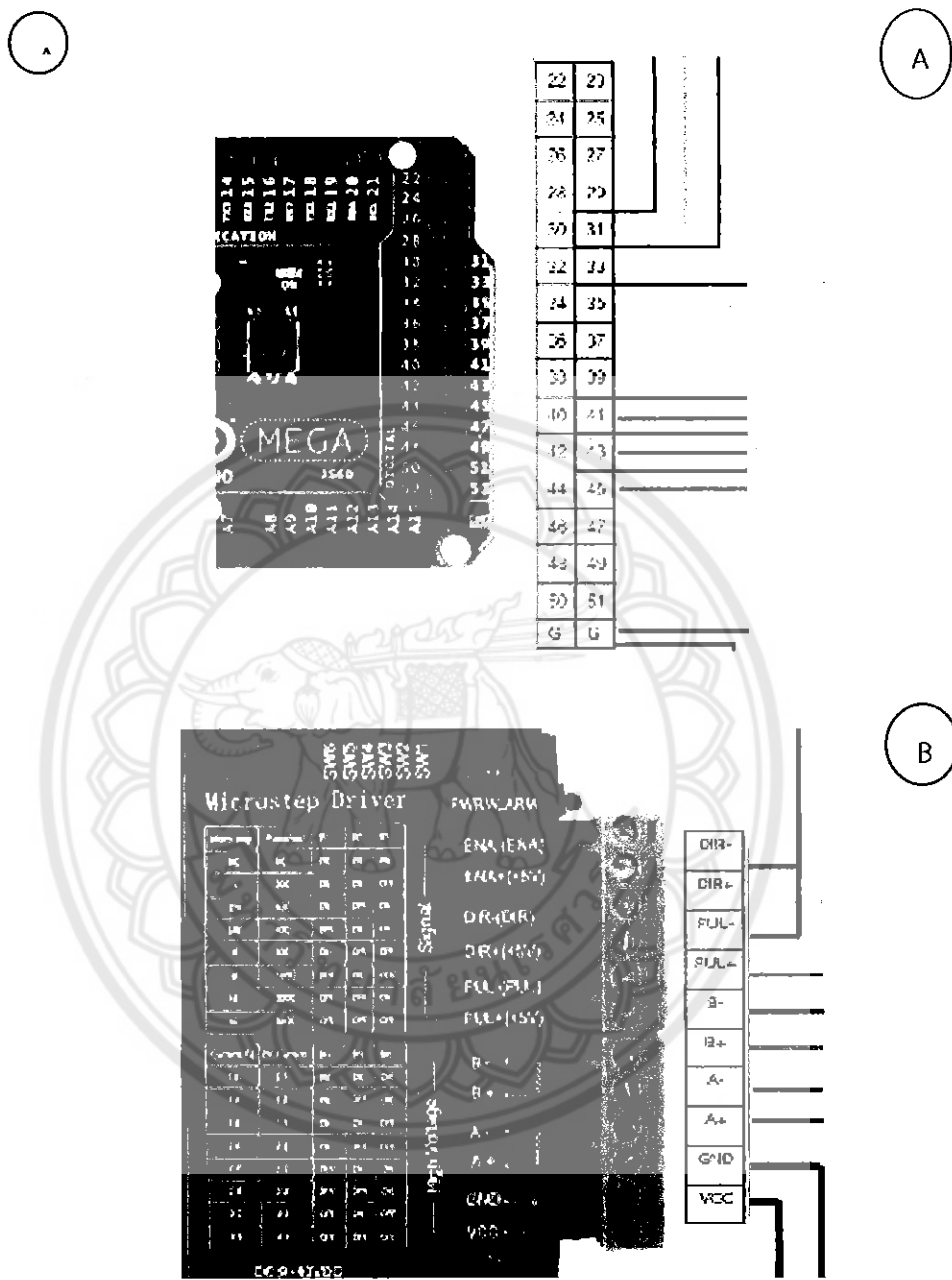
หมายเลข 12 limit switch ในแนวแกน Z

หมายเลข 13 limit switch ในแนวแกน Y

หมายเลข 14 limit switch ในแนวแกน X

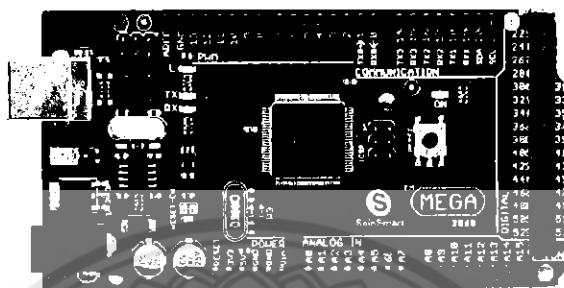


รูปที่ 3.12 ชุดควบคุมที่ใช้ในกระบวนการ



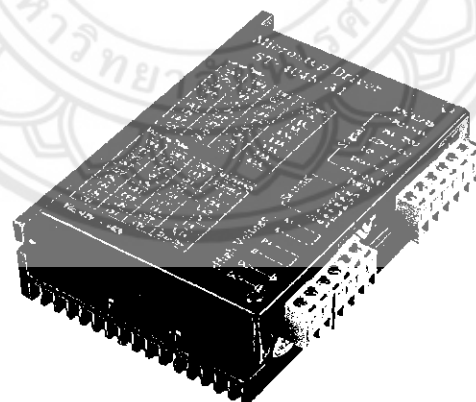
รูปที่ 3.13 ภาพขยายของ A และ B

รูปที่ 3.14 บอร์ดไมโครคอนโทรลเลอร์ Arduino MEGA ทำหน้าที่รับสัญญาณจากคอมพิวเตอร์แล้วส่งไปยังส่วนควบคุมบอร์ดขั้นมองเตอร์ L298N และ TB6600



รูปที่ 3.14 บอร์ดไมโครคอนโทรลเลอร์ Arduino MEGA

รูปที่ 3.15 บอร์ดขั้นมองเตอร์ รุ่น TB6600 ทำหน้าที่รับสัญญาณจากบอร์ดไมโครคอนโทรลเลอร์ Arduino MEGA เพื่อไปควบคุมสเตปมอเตอร์ ในแนวแกน X Y และ Z



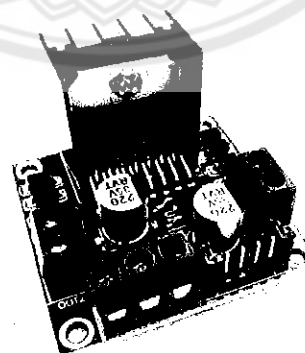
รูปที่ 3.15 บอร์ดขั้นมองเตอร์ รุ่น TB6600

รูปที่ 3.16 กล้องไมโครสโคป ทำหน้าที่จับภาพการเกิดปฏิกิริยา ในระหว่างทำการเจาะวัสดุ และยังถูกใช้ในการถ่ายภาพชิ้นงานหลังจากการทดลองเสร็จ โดยภาพที่ได้นั้นมีความละเอียดสูง



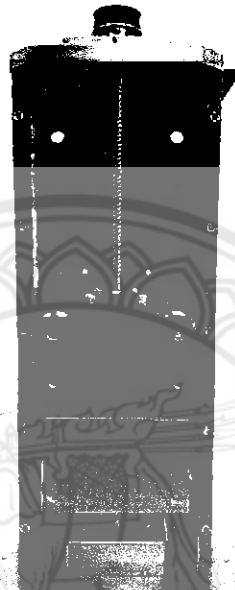
รูปที่ 3.16 กล้องไมโครสโคป

รูปที่ 3.17 บอร์ดขั้บมอเตอร์ รุ่น L298N ทำหน้าที่ขับมอเตอร์ในส่วนของ Peristaltic Pump 2 ตัว ที่มีหน้าที่ฉีดสารละลายอิเล็กโทรลิตไปยังอิเล็กโทรดและดูดสารละลายกลับจากส่วนที่ปฏิกิริยา



รูปที่ 3.17 บอร์ดขั้บมอเตอร์ รุ่น L298N

รูปที่ 3.18 แกน Z สำเร็จรูปโดยประกอบไปด้วยวีเบริ่ง และลีดสกูที่มีระยะพิเศษ 10 มิลลิเมตร ขนาดเส้นผ่านศูนย์กลาง 12 มิลลิเมตร ระยะเคลื่อนที่ 175 มิลลิเมตร ขับโดยสเต็ปมอเตอร์ 3.49 แอมป์



รูปที่ 3.18 แกน Z สำเร็จรูป

รูปที่ 3.19 ปั๊มที่ใช้ในการฉีดสารอีเล็กโทรไลต์ชนิด Peristaltic pump โดยมี 2 ตัว รับคำสั่งโดยบอร์ดขับมอเตอร์ รุ่น L298N ทำหน้าที่ฉีดสารละลายอีเล็กโทรไลต์ไปยังอีเล็กโทรดและดูดสารละลายกลับจากส่วนที่ปฏิกริยาแล้ว



รูปที่ 3.19 ปั๊มที่ใช้ในการฉีดสารอีเล็กโทรไลต์ชนิด Peristaltic pump

รูปที่ 3.20 ภาพของเข็มที่ใช้เป็นอีเล็กโทรด ซึ่งอยู่บริเวณแกน Z โดยเข็มที่ใช้มีขนาด 0.5 มิลิเมตร ที่ทำการฝนปลายเข็มแล้ว



รูปที่ 3.20 ภาพของเข็มฉีดยาที่ใช้เป็นอีเล็กโทรด

รูปที่ 3.21 ชิ้นงานที่ใช้ในการเจาะชนิด Stainless Steel ความหนา 0.5 มิลิเมตร โดยก่อนที่ทำการเจาะได้ทำการขัดผิวชิ้นงาน



รูปที่ 3.21 ภาพวัสดุที่ใช้ในการทดสอบชนิด Stainless Steel

รูปที่ 3.22 ภาพ Stepper Motor รับคำสั่งจากบอร์ดขับสเต็ปมอเตอร์ TB6600 ที่ใช้ในการขับแกน X Y โดยเป็นส่วนที่เคลื่อนที่ของชิ้นงาน โดยมีความระเอียดอยู่ที่ 10 มิลลิเมตร



รูปที่ 3.22 ภาพ Stepper Motor ที่ใช้ในการขับแกน X Y

รูปที่ 3.23 ภาพ Stepper Motor ที่ใช้ในการขับแกน Z โดยรับคำสั่งจากบอร์ดขับสเต็ปมอเตอร์ TB6600 ที่ใช้ในการขับแกน Z โดยเป็นส่วนการเคลื่อนที่ของแท่งอิเล็กโทรด ซึ่งมีความระเอียดอยู่ที่ 6.3 มิลลิเมตร



รูปที่ 3.23 ภาพ Stepper Motor ที่ใช้ในการขับแกน Z

รูปที่ 3.24 ภาพ Limit Switch โดยจะติดตั้งไว้ที่ส่วนขับเคลื่อนแกน X Y Z แกนละ 2 ตัว โดยมีหน้าที่หยุดการเลื่อนที่แต่ละแนวแกน เมื่อถึงขีดจำกัดการเคลื่อนที่



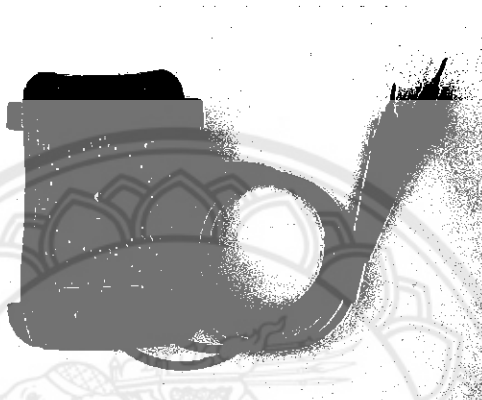
รูปที่ 3.24 ภาพ Limit Switch

รูปที่ 3.25 ภาพ Bearing โดยจะถูกติดตั้งบนแกน X Y ด้านปลายของลิ๊ดสกูล เพื่อเสริมความมั่นคงให้กับ แนวแกน โดยมีเส้นผ่านศูนย์กลาง 8 มิลลิเมตร ทั้งหมด 2 ตัว



รูปที่ 3.25 ภาพ Bearing

รูปที่ 3.26 ภาพมัลติมิเตอร์ที่ใช้ตรวจวัดโวลต์ และกระแสไฟฟ้าของระบบ โดยเราจะใช้วัดค่าความต่างศักย์ไฟฟ้า ที่ปล่อยออกมานอกจากบอร์ดขับสตีปมอเตอร์ วัดค่าความต้านทานไฟฟ้า และใช้ตรวจสอนความบกพร่องในสายไฟ



รูปที่ 3.26 ภาพมัลติมิเตอร์ที่ใช้ตรวจวัดโวลต์ และกระแสไฟฟ้าของระบบ

รูปที่ 3.27 ภาพเหล็กจากที่ใช้ทำโครงสร้างสำหรับยึดแกน Z โดยมีความหนา 5 มิลลิเมตร แล้วนำมาต่อกันโดยการเชื่อมโลหะ ตามที่ได้ออกแบบไว้ เมื่อทำการประกอบเสร็จแล้วได้ทำการลงสีบนโครงสร้าง



รูปที่ 3.27 ภาพเหล็กจากที่ใช้ทำโครงสร้างสำหรับยึดแกน Z

รูปที่ 3.28 ภาพเหล็กงานน้ำที่ใช้สำหรับเป็นฐานของ Micro ECM โดยส่วนนี้จะทำหน้าที่เป็นฐานรองระบบหั่นระบบ โดยจะมี Stage X Y วางอยู่ด้านบน โดยจะถูกยึดกับโครงสร้าง ที่แกน Z มีแผ่นยางรองเพื่อลดการสั่นของมอเตอร์



รูปที่ 3.28 ภาพเหล็กงานน้ำที่ใช้สำหรับเป็นฐานของ Micro ECM

3.2 วิธีการทดลอง

3.2.1 ทำการติดตั้งชิ้นงานบนแท่นยืดชิ้นงาน โดยจะนำข้าวบากติดเข้ากับชิ้นงาน และข้าวบากติดเข้ากับแท่งอิเล็กโทรด จำนวนทำการเคลื่อนที่แท่งอิเล็กโทรดมายังชิ้นงานโดยกำหนดให้ตำแหน่งนี้เป็นตำแหน่งเริ่มต้น

3.2.2 ตำแหน่งในการเจาะของแต่ละรู โดยแต่ละรูที่ทำการเจาะนั้นจะมีระยะห่างของแต่ละแฉะเท่ากับ 3 มิลลิเมตร และระยะห่างของแต่ละหลักเท่ากับ 4.2 มิลลิเมตร ก่อนทำการเจาะจะยกแท่งอิเล็กโทรดให้ห่างจากชิ้นงาน 150 ไมโครเมตร

3.2.3 ทำการฉีดสารละลายโดยปั๊มสารละลายอิเล็กโทรไลต์โดยผ่าน Peristaltic Pump

3.2.4 ทำการจ่ายความต่างศักย์ไฟฟ้าและกระแสไฟฟ้าจาก Digital Power supply

3.2.5 ค่อยๆเคลื่อนแกน Z ลงมาตามความเร็วที่กำหนดจนกระหั่งชิ้นงานทะลุ เมื่อทะลุ แล้ว จึงจะยกแท่งอิเล็กโทรดขึ้นกลับไปที่ตำแหน่งเดิม

ในการทดลองจะทำการศึกษาปัจจัยต่างๆ ที่ส่งผลต่อการเจาะรูระดับไมโครด้วยไฟฟ้าเคมี ซึ่งปัจจัยที่ทำการศึกษามี อัตราการเคลื่อนที่อิเล็กโทรด ความต่างศักย์ไฟฟ้า และชนิดของสารละลายอิเล็กโทรไลต์ การทดลองทำการเปลี่ยนแปลงค่าความเข้มข้นของสารอิเล็กโทรไลต์ ซึ่งมีค่าเท่ากับ 0.1 และ 0.15 ไมลาร์ กระแสไฟฟ้าที่ใช้ในการทดลองมีค่าเท่ากับ 1 แมม培ร์ โดยที่ข้าวบากจะทำการติดตั้งในส่วนของแท่งอิเล็กโทรดที่มีเส้นผ่านศูนย์กลางขนาด 550 ไมโครเมตร และข้าวบากจะติดตั้งในส่วนของชิ้นงาน ที่เป็นแผ่นสแตนเลสหนา 0.5 มิลลิเมตร 2 รูปแบบ โดยมีรายละเอียดตามรูปแบบที่ 1 และ 2 ตามลำดับ

การทดลองรูปแบบที่ 1 สารละลายโซเดียมคลอไรด์ (NaCl)

ตารางที่ 3.1 เป็นการออกแบบการทดลองการเจาะวัสดุโดยจะทำการปรับค่าความต่างศักย์ อัตราการเคลื่อนที่อิเล็กโตรด และความเข้มข้นของสารละลาย ความเข้มข้นของสารละลายที่ใช้ในการทดลองที่ 0.1 และ 0.15 มोลาร์ ทำการเจาะรูตามลำดับดังรูปที่ 3.9 และ 3.10 จากนั้นทำการเก็บข้อมูลทุกๆ 5 นาที โดยจะมีเก็บค่า อัตราการไหลของสารละลาย กระแสไฟฟ้า ระยะการเคลื่อนที่ของ อิเล็กโตรด และเวลาในการเจาะทะลุ จากนั้นนำค่าที่ได้ไปสร้างกราฟเพื่อนำมาวิเคราะห์

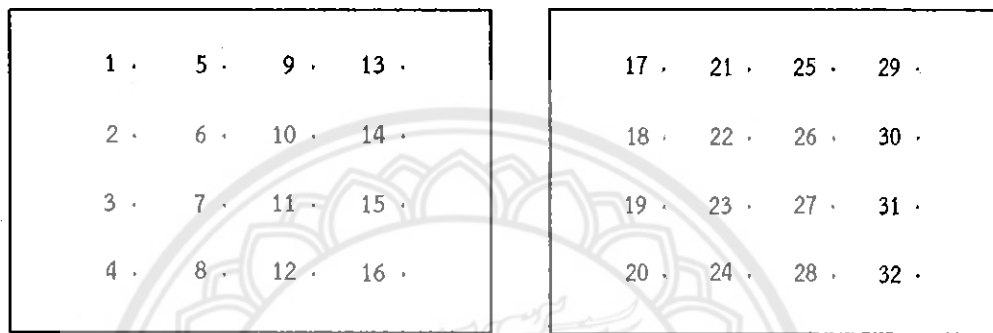
ตารางที่ 3.1 ลำดับการทดสอบการเจาะโดยสารละลาย (NaCl) ความเข้มข้น

0.1 และ 0.15 มोลาร์

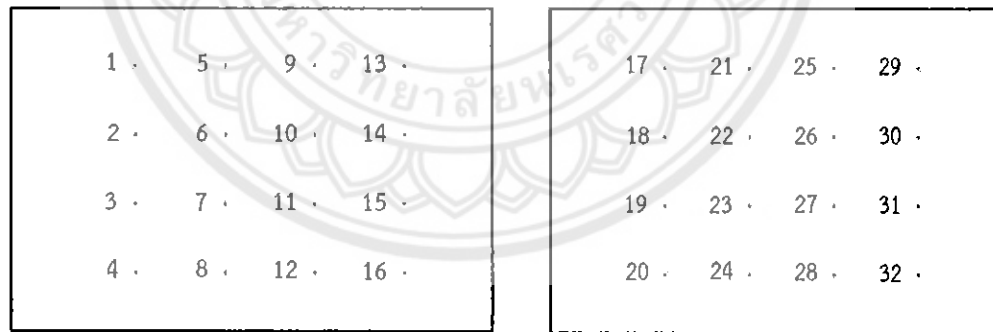
การทดลองที่	ความต่างศักย์ (伏ต์)	อัตราการเคลื่อนที่อิเล็กโตรด (ไมโครเมตรต่อนาที)
1-4	5	10
5-8	5	20
9-12	7	10
13-16	7	20
17-20	9	10
21-24	9	20
25-28	11	10
29-32	11	20

หมายเหตุ รูที่ 4 8 12 16 20 24 28 และ 32 ทำการเจาะโดยเมื่อเจาะทะลุแล้วยังไม่หยุดการเคลื่อนที่ของแท่งอิเล็กโตรด จนกว่าแท่งอิเล็กโตรดจะเคลื่อนที่ลงมาต่ำกว่าผิวล่างชั้นงาน

รูป 3.29 และ 3.30 ตำแหน่งการเจาะรูของสารละลายน้ำเดียมคลอไรด์ ความเข้มข้น 0.1 โนมลาร์ และ 0.15 โนมลาร์ โดยแต่ละรูที่ทำการเจาะนั้นจะมีระยะห่างของแต่ละแฉวเท่ากับ 3 มิลลิเมตร และระยะห่างของแต่ละหลักเท่ากับ 4.2 มิลลิเมตร ในระหว่างทำการเจาะนั้นจะทำการเก็บข้อมูลค่ากระแสไฟฟ้า อัตราการไหล และอัตราการเคลื่อนที่ของแท่งอิเล็กโทรด เพื่อนำไปวิเคราะห์



รูปที่ 3.29 ลำดับในการเจาะรูที่ 1-32 ของสารละลายน้ำเดียมคลอไรด์ 0.1 โนมลาร์



รูปที่ 3.30 ลำดับในการเจาะรูที่ 1-32 ของสารละลายน้ำเดียมคลอไรด์ 0.15 โนมลาร์

การทดลองรูปแบบที่ 2 สารละลายโซเดียมไนเตรต (NaNO_3)

ตารางที่ 3.2 เป็นการออกแบบการทดลองการเจาะวัสดุโดยทำการปรับค่า ความต่างศักย์ และความเข้มข้นของสารละลาย ความเข้มข้นของสารละลายที่ใช้อยู่ที่ 0.1 และ 0.15 โมลาร์ ทำการเจาะรูตามลำดับดังรูปที่ 3.31 จากนั้นทำการบันทึกข้อมูลทุกๆ 5 นาที โดยมีการบันทึกค่า อัตราการไหลของสารละลาย ระยะไฟฟ้า ระยะการเคลื่อนที่ของอิเล็กโทรด และเวลาในการเจาะหลุ จากนั้นนำค่าที่ได้ไปสร้างกราฟเพื่อนำมาวิเคราะห์

ตารางที่ 3.2 ลำดับการทดสอบการเจาะโดยสารละลาย (NaNO_3) ความเข้มข้น 0.1 และ 0.15 โมลาร์

การทดลองที่	ความต่างศักย์(โวลต์)	ความเข้มข้นของสารละลาย(โมลาร์)	อัตราการเคลื่อนอิเล็กโทรด (ไมโครเมตรต่อนาที)
1-4	9	0.1	8
5-8	12	0.1	8
9-12	9	0.15	8
13-16	12	0.15	8

หมายเหตุ รูปที่ 4 8 12 และ 16 ทำการเจาะโดยเมื่อเจาะทะลุแล้วยังไม่หยุดการเคลื่อนที่ของแท่งอิเล็กโทรด จนกว่าแท่งอิเล็กโทรดจะเคลื่อนที่ลงมาต่ำกว่าผิวล่างชั้นงาน



รูปที่ 3.31 ลำดับในการออกแบบการเจาะรูที่ 1-16 บนแผ่นสแตนเลส

หมายเหตุ ในการทดลองที่ความต่างศักย์ 9 และ 12 โวลต์ ที่อัตราเร็วในการเคลื่อนที่ 10 ไมโครเมตรต่อนาที ไม่สามารถใช้อัตราเร็วในการเคลื่อนที่ 10 ไมโครเมตรต่อนาที เจาะจนทะลุได้ เนื่องจากปฏิกิริยาในการกัดวัสดุช้า ทำให้เกิดการชนกันระหว่างอิเล็กโทรด กับชิ้นงาน ส่งผลให้ไม่เกิดปฏิกิริยา จึงเปลี่ยนไปใช้อัตราเร็วในการเคลื่อนที่ 8 ไมโครเมตรต่อนาที

บทที่ 4

ผลการทดสอบ และวิเคราะห์ผลการทดสอบ

4.1 การทดสอบการทำงานของระบบ

4.1.1 ทำการทดสอบการเคลื่อนที่ในแนวแกน +X และ -X

จากที่ได้ทำการประกอบชุดอุปกรณ์ทั้งหมด จึงได้ทำการวัดค่าความเที่ยงตรงของสเต็ปモเตอร์ แกน X โดยทำการปรับไมโครสตีปที่ 800 และทำการวัดค่าทุกๆ 10 มิลลิเมตร โดยทดสอบทั้งไปและกลับแล้วนำข้อมูลที่ได้มาเฉลี่ย โดยทำการทดสอบการเคลื่อนที่แกน X เป็นระยะ 50 มิลลิเมตร ดังตารางที่ 3.1 และ ตารางที่ 3.2 เฉลี่ยแล้วระยะ +X มีค่าเท่ากับ 9.98 มิลลิเมตร และระยะ -X มีค่าเท่ากับ 9.998 ซึ่งมีค่าใกล้เคียงกัน

ตารางที่ 4.1 ผลการทดสอบการเคลื่อนที่ในแนวแกน +X

ระยะ (mm)	step	ระยะที่เคลื่อนที่ 1 step	เฉลี่ย	ส่วนเบี่ยงเบนมาตรฐาน
10	1001	9.99	9.98	0.045
20	1998	10.01		
30	3000	10		
40	3998	10		
50	5001	9.9		

ตารางที่ 4.2 ผลการทดสอบการเคลื่อนที่ในแนวแกน -X

ระยะ (mm)	step	ระยะที่เคลื่อนที่ 1 step	เฉลี่ย	ส่วนเบี่ยงเบนมาตรฐาน
10	998	10	9.99	0.004
20	1999	10		
30	3000	10		
40	4001	9.99		
50	4999	10		

4.1.2 ทำการทดสอบการเคลื่อนที่ในแนวแกน +Y และ -Y

วัดค่าความเที่ยงตรงของสเตปมอเตอร์ แกน Y โดยทำการปรับไมโครสตีปที่ 800 และทำการวัดค่าทุกๆ 10 มิลลิเมตร โดยทดสอบทั้งไปและกลับแล้วนำข้อมูลที่ได้มาเฉลี่ย โดยทำการทดลองเคลื่อนที่แกน Y เป็นระยะ 50 มิลลิเมตร ดังตารางที่ 4.3 และ ตารางที่ 4.4 เฉลี่ยแล้วระยะ +Y มีค่าเท่ากับ 9.97 มิลลิเมตร และระยะ -Y มีค่าเท่ากับ 9.996 ซึ่งมีค่าใกล้เคียงกัน

ตารางที่ 4.3 ผลการทดสอบการเคลื่อนที่ในแนวแกน +Y

ระยะ (mm)	step	ระยะที่เคลื่อนที่ 1 step	เฉลี่ย	ส่วนเบี่ยงเบนมาตรฐาน
10	1003	9.97	9.97	0.042
20	2000	10		
30	2997	10		
40	4002	9.99		
50	5001	9.9		

ตารางที่ 4.4 ผลการทดสอบการเคลื่อนที่ในแนวแกน -Y

ระยะ (mm)	step	ระยะที่เคลื่อนที่ 1 step	เฉลี่ย	ส่วนเบี่ยงเบนมาตรฐาน
10	1001	9.99	9.996	0.005
20	1998	10		
30	2999	10		
40	4002	9.99		
50	4995	10		

4.1.3 ทำการทดสอบการเคลื่อนที่ในแนวแกน +Z และ -Z

วัดค่าความเที่ยงตรงของสเตปมอเตอร์ แกน Z โดยทำการปรับไมโครสตีปที่ 3200 และทำการวัดค่าทุกๆ 10 มิลลิเมตร โดยทดสอบทั้งไปและกลับแล้วนำข้อมูลที่ได้มาเฉลี่ย โดยทำการทดลอง เคลื่อนที่แกน Z เป็นระยะ 50 มิลลิเมตร ดังตารางที่ 4.5 และ ตารางที่ 4.6 เฉลี่ยแล้วระยะ +Z มีค่าเท่ากับ 6.3 มิลลิเมตร และระยะ -Z มีค่าเท่ากับ 6.29 ซึ่งมีค่าใกล้เคียงกัน

ตารางที่ 4.5 ผลการทดสอบการเคลื่อนที่ในแนวแกน +Z

ระยะ (mm)	step	ระยะที่เคลื่อนที่ 1 step	เฉลี่ย	ส่วนเบี่ยงเบนมาตรฐาน
10	1600	6.25	6.3	0.043
20	3192	6.26		
30	4726	6.34		
40	6314	6.33		
50	7895	6.33		

ตารางที่ 4.6 ผลการทดสอบการเคลื่อนที่ในแนวแกน -Z

ระยะ (mm)	step	ระยะที่เคลื่อนที่ 1 step	เฉลี่ย	ส่วนเบี่ยงเบนมาตรฐาน
10	1604	6.23	6.29	0.049
20	3174	6.30		
30	4788	6.26		
40	6318	6.33		
50	7873	6.35		

1 mm = 160.4 step
0.1 mm = 16.04 step

4.1.4 การทดสอบระบบการทำงานของปั๊ม

ในการทดสอบความเสถียรของปั๊ม โดยทำการทดสอบแต่ละความเร็วรอบว่ามีค่าไกล์เดียงกัน หรือไม่ ความเร็วรอบที่ใช้ในการทดสอบจะทำการปรับค่า PWM ที่ 25 30 35 และ 40 และวิเคราะห์ อัตราการไหลเฉลี่ย ดังตารางที่ 4.7 4.8 4.9 และ 4.10 เป็นการวัดอัตราการไหลของสารละลายที่ ปริมาตร 500 มิลลิลิตร แล้วทำการจับเวลาทุกๆ 100 มิลลิลิตร แล้วนำมาคิดเป็นอัตราการไหล

ตารางที่ 4.7 ตารางทดสอบอัตราการไหลของปั๊มที่ PWM 25

ครั้ง	PWM	ปริมาตรสาร(ml)	เวลา(min)	อัตราการไหล	อัตราการไหลเฉลี่ย(ml)/(min)	ส่วนเบี่ยงเบนมาตรฐาน
1	25	100	4.56	21.93	23.39	1.047
2	25	100	4.41	22.68		
3	25	100	4.18	23.92		
4	25	100	4.17	23.98		
5	25	100	4.09	24.45		

ตารางที่ 4.8 ตารางทดสอบอัตราการไหลของปั๊มที่ PWM 30

ครั้ง	PWM	ปริมาตรสาร(ml)	เวลา(min)	อัตราการไหล	อัตราการไหลเฉลี่ย(ml)/(min)	ส่วนเบี่ยงเบนมาตรฐาน
1	30	100	3.35	29.85	29.67	0.642
2	30	100	3.46	28.90		
3	30	100	3.42	29.24		
4	30	100	3.36	29.76		
5	30	100	3.27	30.58		

ตารางที่ 4.9 ตารางทดสอบอัตราการไหลของปั๊มที่ PWM 35

ครั้ง	PWM	ปริมาตรสาร(ml)	เวลา(min)	อัตราการไหล	อัตราการไหลเฉลี่ย (ml)/(min)	ส่วนเบี่ยงเบนมาตรฐาน
1	35	100	3.27	30.58	31.72	0.788
2	35	100	3.20	31.25		
3	35	100	3.10	32.26		
4	35	100	3.08	32.47		
5	35	100	3.12	32.05		

ตารางที่ 4.10 ตารางทดสอบอัตราการไหลของปั๊มที่ PWM 40

ครั้ง	PWM	ปริมาตรสาร(ml)	เวลา(min)	อัตราการไหล	อัตราการไหลเฉลี่ย(ml)/(min)	ส่วนเบี่ยงเบนมาตรฐาน
1	40	100	2.5	40.00	40.84	1.006
2	40	100	2.39	41.84		
3	40	100	2.39	41.84		
4	40	100	2.45	40.82		
5	40	100	2.52	39.68		

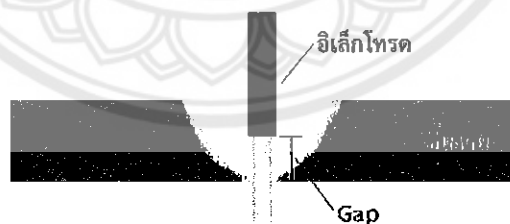
4.2 การวิเคราะห์ผลการทดลอง

การวิเคราะห์ผลการทดลองของกระบวนการเจาะระดับไมโครด้วยไฟฟ้าเคมีหรือ ECM จากชุดการทดลองที่สร้างขึ้นประกอบไปด้วยการเปรียบเทียบ ความต่างศักย์ที่ใช้ในกระบวนการเจาะ อัตราการเคลื่อนที่ของอิเล็กโทรด ชนิดและความเข้มข้นของสารละลายอิเล็กโทรไลต์ที่ใช้ เพื่อหาปัจจัยที่ส่งผลต่อกุณภาพของรูเจาะ ขนาดของรูเจาะ และความเรียบของผิวชิ้นงาน ค่าพารามิเตอร์ มีดังนี้

- ชนิดของสารประกอบไปด้วย โซเดียมคลอไรด์ (NaCl) โซเดียมไนเตรท (NaNO_3)
- ความเข้มข้นของสารอิเล็กโทรไลต์ 0.1 โมลาร์ และ 0.15 โมลาร์
- อัตราการเคลื่อนที่ของอิเล็กโทรด ที่โซเดียมคลอไรด์ใช้ 10 และ 20 ไมโครเมตรต่อนาที และโซเดียมไนเตรทใช้ 8 ไมโครเมตรต่อนาที
- ความต่างศักย์ไฟฟ้าของโซเดียมคลอไรด์ใช้ที่ 5 7 9 และ 11 โวลต์ ส่วน โซเดียมไนเตรทใช้ที่ 9 และ 12 โวลต์
- อิเล็กโทรดมีขนาดเส้นผ่านศูนย์กลาง 550 ไมโครเมตร

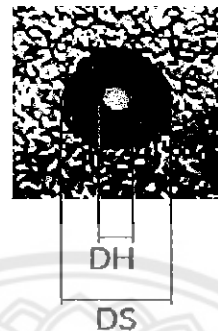
การเก็บค่าจากการทดลองประกอบไปด้วย

- เวลาที่ใช้เจาะ (นาที)
- Gap หรือช่องว่างระหว่างอิเล็กโทรดกับผิวล่างชิ้นงานการวัดระยะของ Gap ดังรูปที่ 4.1



รูปที่ 4.1 Gap หรือช่องว่างระหว่างอิเล็กโทรดกับผิวล่างชิ้นงาน

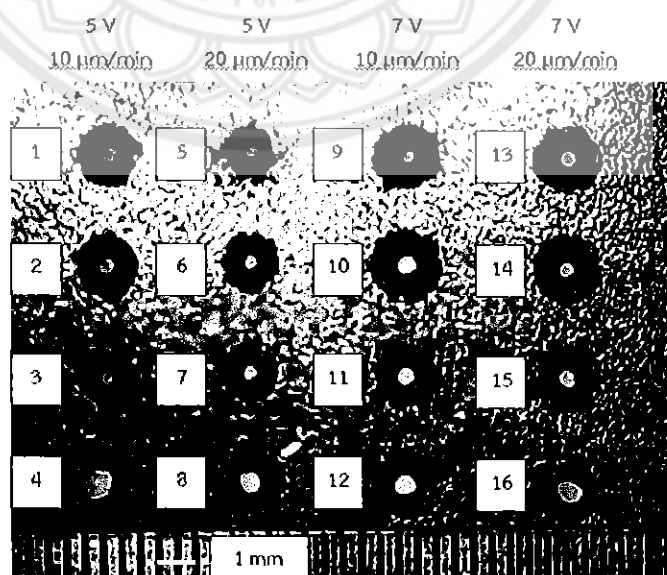
การวัดขนาดตำแหน่งของรูเจาะบนผิวชิ้นงาน (DS) และขนาดรูเจาะที่ผิวล่างของชิ้นงาน (DH) ของสารละลายโซเดียมคลอไรด์ ดังรูปที่ 4.2



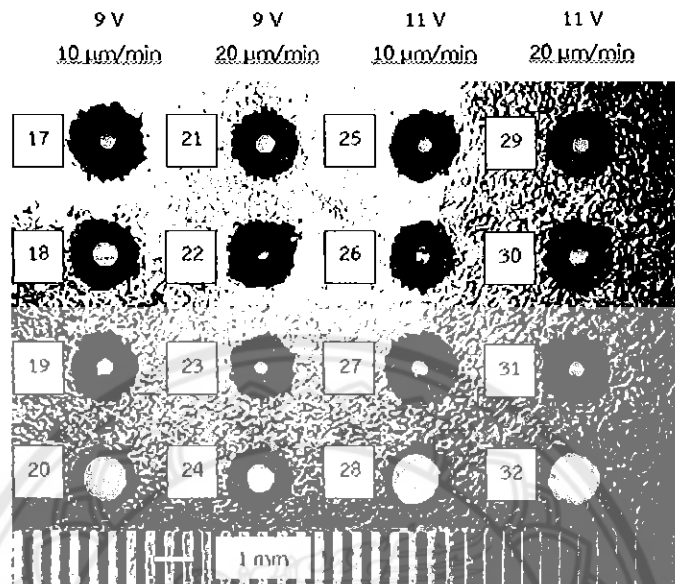
รูปที่ 4.2 การวัดเส้นผ่านศูนย์กลางของรูเจาะบนผิวชิ้นงาน (DS) และขนาดรูเจาะ (DH)

4.3 ผลการทดลอง โซเดียมคลอไรด์ (NaCl) ที่ความเข้มข้น 0.1 มิลลาร์

การทดลองแผ่นที่ 1 และ 2 ใช้โซเดียมคลอไรด์ที่ความเข้มข้น 0.1 มิลลาร์ ที่ความต่างศักย์ 5 โวลต์ในรูที่ 1-8 และความต่างศักย์ 7 โวลต์ ในรูที่ 9-16 อัตราเร็วของอิเล็กโทรด 10 มิโครเมตรต่อนาที ที่รู 1-4 และ 9-12 อัตราเร็วของอิเล็กโทรด 20 มิโครเมตรต่อนาที ที่รู 5-8 และ 13-16 ดังรูปที่ 4.3 และ 4.4 ขนาดเส้นผ่านศูนย์กลางของแท่งอิเล็กโทรดที่ใช้มีค่าเท่ากับ 550 มิโครเมตร



รูปที่ 4.3 รูเจาะครั้งที่ 1-17 NaCl 0.1 มิลลาร์ (แผ่นที่ 1)

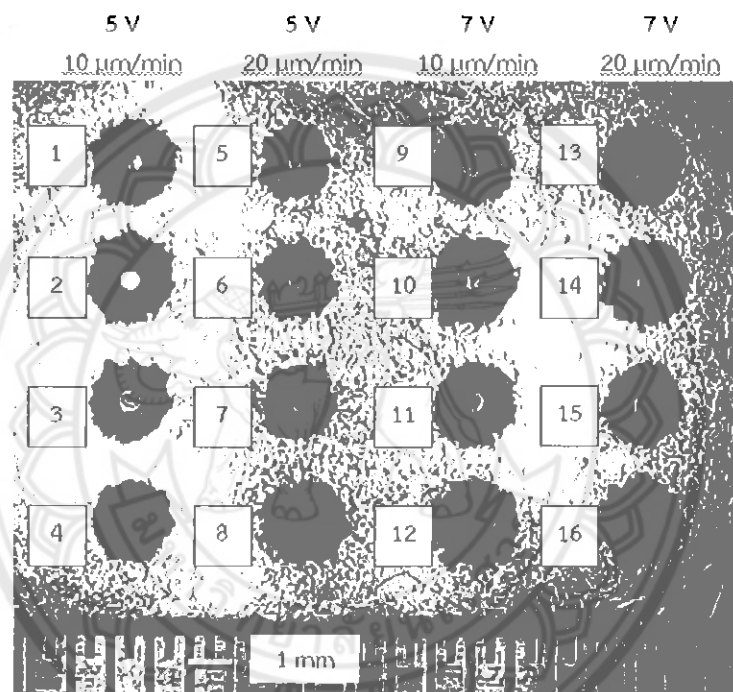


รูปที่ 4.4 รูเจาะครั้งที่ 17-32 NaCl 0.1 มोลาร์ (แผ่นที่ 2)

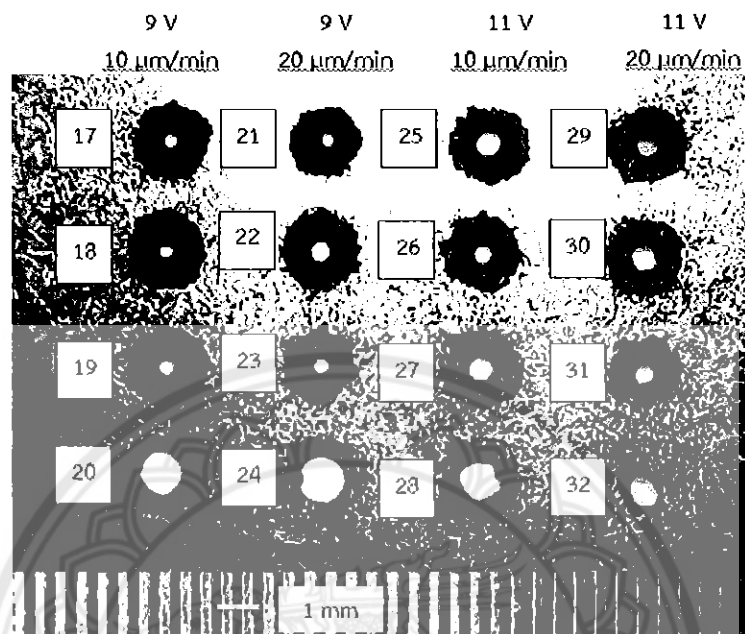
รูปที่ 4.3 และ 4.4 เป็นการเจาะโดยใช้ไฟเดียมคลอโรไรต์ (NaCl) ที่ความเข้มข้น 0.1 มोลาร์ และปรับค่าความต่างศักย์ของกระแสไฟฟ้า รูเจาะที่ 1-8 เป็นความต่างศักย์ที่ 5 โวลต์ รูเจาะที่ 9-16 เป็นความต่างศักย์ที่ 7 โวลต์ รูเจาะที่ 17-24 เป็นความต่างศักย์ที่ 9 โวลต์ และรูเจาะที่ 25-32 เป็นความต่างศักย์ที่ 11 โวลต์ สิ่งที่สังเกตได้คือ เส้นผ่านศูนย์กลางของรูเจาะบนผิวชิ้นงานรูปที่ 4.3 มีเส้นผ่านกลางกลางที่เล็กกว่ารูปที่ 4.4 เพราะแผ่นที่สองนั้นใช้ความต่างศักย์สูงกว่า แสดงว่าค่าความต่างศักย์นั้นส่งผลต่อการเจาะ ในการทดลองนี้จะสังเกตได้ว่าส่วนของรูที่ 4 8 12 16 20 24 28 และ 32 จะมีขนาดที่ใหญ่กว่าทุกๆรูเนื่องมาจากการเคลื่อนที่อิเล็กโทรด ไปที่ตำแหน่งที่ต่ำกว่าผิวล่างของชิ้นงาน ใช้ระยะเวลาและปฏิกิริยาทางเคมีที่นานกว่ารูอื่นๆ จึงทำให้รูมีขนาดเส้นผ่านศูนย์กลางที่ใหญ่

4.4 ผลการทดลอง โซเดียมคลอไรต์ (NaCl) ที่ความเข้มข้น 0.15 มोลาร์

การทดลองแผ่นที่ 3 และ 4 ใช้โซเดียมคลอไรต์ที่ความเข้มข้น 0.15 มोลาร์ ที่ความต่างศักย์ 5 โวลต์ในรูที่ 1-8 และความต่างศักย์ 7 โวลต์ ในรูที่ 9-16 อัตราเร็วของอิเล็กโทรด 10 ไมโครเมตรต่อนาที ที่รู 1-4 และ 9-12 อัตราเร็วของอิเล็กโทรด 20 ไมโครเมตรต่อนาที ที่รู 5-8 และ 13-16 ดังรูปที่ 4.5 และ 4.6 ขนาดเส้นผ่านศูนย์กลางของแท่งอิเล็กโทรดที่ใช้มีค่าเท่ากับ 550 ไมโครเมตร



รูปที่ 4.5 รูเจาะครั้งที่ 1-16 NaCl 0.15 มोลาร์ (แผ่นที่ 3)



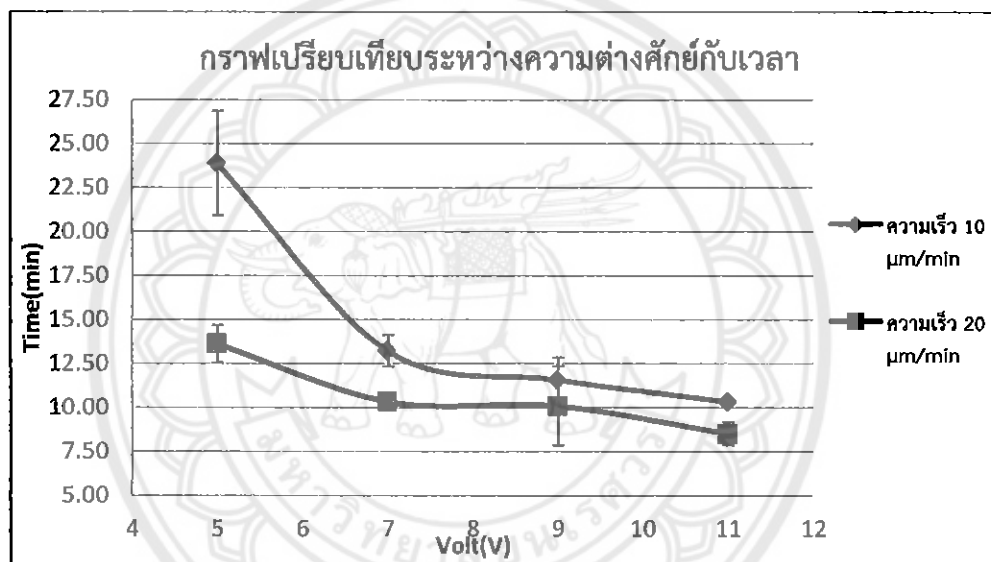
รูปที่ 4.6 รูเจาะครั้งที่ 17-32 NaCl 0.15 มอลาร์ (แผ่นที่ 4)

รูปที่ 4.5 และ 4.6 เป็นการเจาะโดยใช้เดียมคลอไรต์ (NaCl) ที่ความเข้มข้น 0.15 มอลาร์ และปรับค่าความต่างศักย์ของกระแสไฟฟ้า รูเจาะที่ 1-8 เป็นความต่างศักย์ที่ 5 โวลต์ รูเจาะที่ 9-16 เป็นความต่างศักย์ที่ 7 โวลต์ รูเจาะที่ 17-24 เป็นความต่างศักย์ที่ 9 โวลต์ และรูเจาะที่ 25-32 เป็นความต่างศักย์ที่ 11 โวลต์ สิ่งที่สังเกตได้คือ เส้นผ่านศูนย์กลางของรูเจาะบนผิวชิ้นงานรูปที่ 4.6 จะมีเส้นผ่านกลางกลางที่ใหญ่กว่าและผิวของรูเจาะมีสภาพที่รุกรานมากกว่า รูปที่ 4.5 อย่างเห็นได้ชัด เพราะแผ่นที่สองนั้นใช้ความต่างศักย์สูงกว่า แสดงว่าค่าความต่างศักย์นั้นส่งผลต่อการเจาะในการทดลองนี้จะสังเกตได้ว่าส่วนของรูที่ 4 8 12 16 20 24 28 และ 32 จะมีขนาดที่ใหญ่กว่าทุกๆรูเนื่องมาจากการเคลื่อนที่อิเล็กโทรด ไปที่ตำแหน่งที่ต่ำกว่าผิวล่างของชิ้นงานใช้ระยะเวลาและปฏิกิริยาทางเคมีที่นานกว่ารูอื่นๆ จึงทำให้รูมีขนาดเส้นผ่านศูนย์กลางที่ใหญ่กว่า

4.5 เปรียบเทียบการทดลองโซเดียมคลอไรด์ 0.1 มิลาร์ และ 0.15 มิลาร์

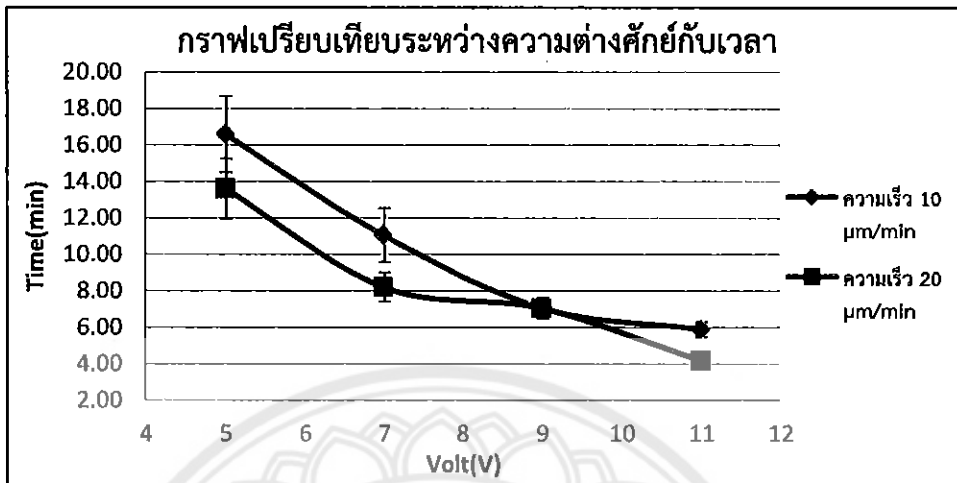
4.5.1 เวลาที่ใช้เจา (Time) ของสารละลายโซเดียมคลอไรด์

เปรียบเทียบเวลาที่ใช้เจา กับความต่างศักย์ไฟฟ้าที่ระหว่างอัตราเร็วของแท่งเล็กโอลูตคือ 10 และ 20 ไมโครเมตรต่อนาที ของโซเดียมคลอไรด์ที่ความเข้มข้น 0.1 มิลาร์ และความเข้มข้น 0.15 มิลาร์ การจับเวลาจะจับเวลาทุก 5 นาที ตั้งแต่เริ่มจนจบการเจาของแต่ละความต่างศักย์ เพื่อเปรียบเทียบว่าการใช้ความต่างศักย์ที่ต่างกันมีผลต่อเวลาที่ใช้เป็นอย่างไร



กราฟที่ 4.1 กราฟเปรียบเทียบระหว่างความต่างศักย์ และเวลาที่ใช้ 1-32 ของสารละลายโซเดียมคลอร์ความเข้มข้น 0.1 มิลาร์

กราฟที่ 4.1 สังเกตได้ชัดว่าเมื่อมีการเพิ่มความต่างศักย์ขึ้น เวลาที่ใช้ในการเจาจะมีแนวโน้มลดลง แสดงว่าการใช้ความต่างศักย์ที่สูงขึ้นจะทำให้ขึ้นงานเจาหลุเร็วขึ้น โดยเฉลี่ยแล้วที่อัตราการเคลื่อนที่ของอิเล็กโอลูต 20 ไมโครเมตรต่อนาที จะใช้เวลาเฉลี่ยในการเจาหลุ 10.64 นาทีต่อหนึ่งรูน้อยกว่าที่อัตราการเคลื่อนที่ของอิเล็กโอลูต 10 ไมโครเมตรต่อนาที ซึ่งใช้เวลาเฉลี่ย 14.75 นาที



กราฟที่ 4.2 กราฟเปรียบเทียบระหว่างความต่างศักย์ และเวลาที่ใช้ 1-32 ของสารละลายโซเดียมคลอไรด์ความเข้มข้น 0.15 มิลลาร์

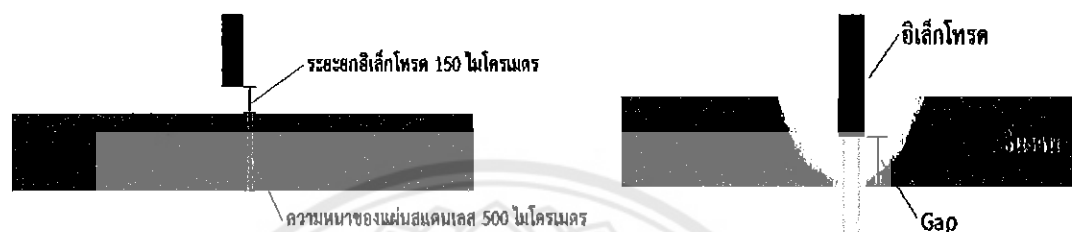
กราฟที่ 4.2 สังเกตได้ชัดว่าเมื่อมีการเพิ่มความต่างศักย์ขึ้นเรื่อยๆ นั้น เวลาที่ใช้ในการเจาะจะมีแนวโน้มลดลง แสดงว่าการใช้ความต่างศักย์ที่สูงขึ้นจะทำให้ขึ้นงานเจาะทະคลูเร็วขึ้น โดยเดลี่ยแล้วที่ อัตราการเคลื่อนที่ของอิเล็กโทรด 20 ไมโครเมตรต่อนาที จะใช้เวลาเฉลี่ยในการเจาะให้ทະคลู 8.27 นาทีต่อหนึ่งรู น้อยกว่าที่อัตราการเคลื่อนที่ของอิเล็กโทรด 10 ไมโครเมตรต่อนาที ซึ่งใช้เวลาเฉลี่ย 10.15 นาที แต่ในความศักย์ที่ 9 โวลต์ เวลาที่ใช้มีค่าใกล้เคียงกันมากโดยที่อัตราเร็ว 20 ไมโครเมตรต่อนาที ใช้เวลา 7.04 นาที และอัตราเร็ว 10 ไมโครเมตรต่อนาที ใช้เวลา 7.06 นาที ซึ่งอาจเป็น เพราะการสังเกตเห็นน้ำที่พุ่งลงโดยทันที จึงทำให้หยุดกระบวนการเลยส่งผลให้เวลา มีค่าใกล้เคียงกัน

เปรียบเทียบระหว่างกราฟที่ 4.1 กับกราฟที่ 4.2 จะเห็นได้ว่า การใช้สารละลายอิเล็กโทรไลต์ ที่มีความเข้มข้นที่ต่างกันนั้น ส่งผลต่อเวลาที่ใช้ในการเจาะ โดยความเข้มข้นมากขึ้นเวลาที่ใช้เจาะลดลง และเวลาในการเจาะลดลงตามความต่างศักย์ไฟฟ้าที่สูงขึ้นด้วย ยกตัวอย่างเช่น ที่อัตราเร็วและ ความต่างศักย์เท่ากัน ที่ 10 ไมโครเมตรต่อนาทีและ 5 โวลต์ ตามลำดับ ความเข้มข้นที่ 0.1 มิลลาร์ ใช้เวลา 23.88 นาที ส่วนความเข้มข้นที่ 0.15 มิลลาร์ ใช้เวลา 16.59 นาที

4.5.2 Gap หรือ ช่องว่างระหว่างอิเล็กโทรดกับผิวล่างขึ้นงานของสารละลายโซเดียมคลอไรด์

การเปรียบเทียบช่องว่างระหว่างอิเล็กโทรดกับผิวล่างขึ้นงานกับความต่างศักย์ไฟฟ้า ของ โซเดียมคลอไรด์ที่ความเข้มข้น 0.1 มิลลาร์ และความเข้มข้น 0.15 มิลลาร์ที่ระหว่างอัตราเร็วของแท่ง เล็กโทรดคือ 10 และ 20 ไมโครเมตรต่อนาที โดยเส้นผ่านศูนย์กลางของแท่งอิเล็กโทรดที่ใช้ในการ พัฒนาก็ค่าเท่ากับ 550 ไมโครเมตร ดังกราฟที่ 4.3 และ 4.4

ตัวอย่างการหาคำนวนหาช่องว่างระหว่างอิเล็กโทรดกับผิวล่างชิ้นงาน โดยระยะยกของแท่งอิเล็กโทรดร่วมกับความหนาของชิ้นงานมีค่าเท่ากับ 650 ไมโครเมตร จะนำมาลบกับระยะที่อิเล็กโทรดเคลื่อนที่ได้เป็นระยะห่างระหว่างแท่งอิเล็กโทรดกับผิวชิ้นงานด้านล่าง ดัง รูปที่ 4.7

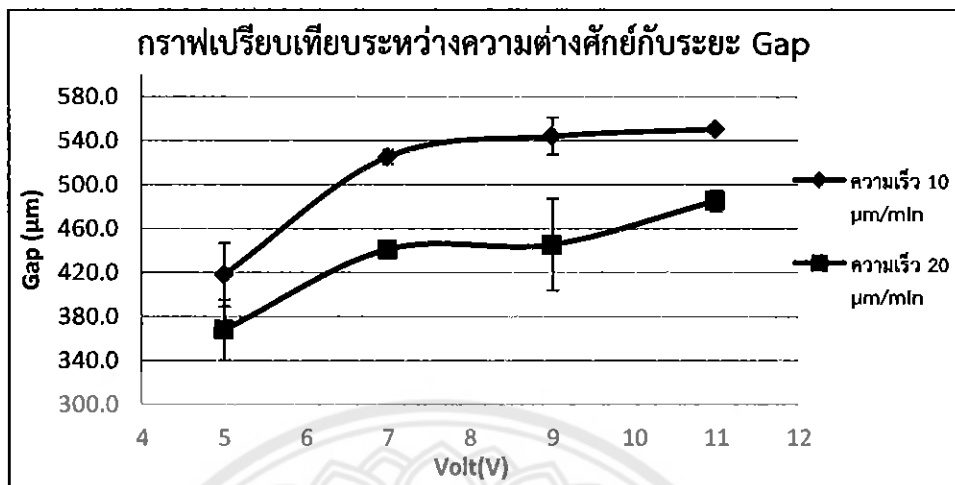


รูปที่ 4.7 การหาคำนวนหาช่องว่างระหว่างอิเล็กโทรดกับผิวล่างชิ้นงาน

ตารางที่ 4.11 ช่องว่างระหว่างอิเล็กโทรดกับผิวล่างชิ้นงานของสารละลายโซเดียมคลอไรด์ 0.1 โมลาร์

ความต่างศักย์ (โวลต์)	Gap (ไมโครเมตร)	
	10 ไมโครเมตรต่อนาที	20 ไมโครเมตรต่อนาที
5	418.1	367.7
7	525.2	441.2
9	554.1	445.4
11	550.4	485.3

ตารางที่ 4.11 ช่องว่างระหว่างอิเล็กโทรดกับผิวล่างชิ้นงาน โดยการใช้ความต่างศักย์ 5 โวลต์ อัตราการเคลื่อนที่อิเล็กโทรด 20 ไมโครเมตรต่อนาที จะทำให้เกิดช่องว่างระหว่างอิเล็กโทรดกับผิวล่างชิ้นงานน้อยที่สุด มีค่า 367.7 ไมโครเมตร และนำค่าในตารางเพล็อตกราฟดังกราฟที่ 4.3



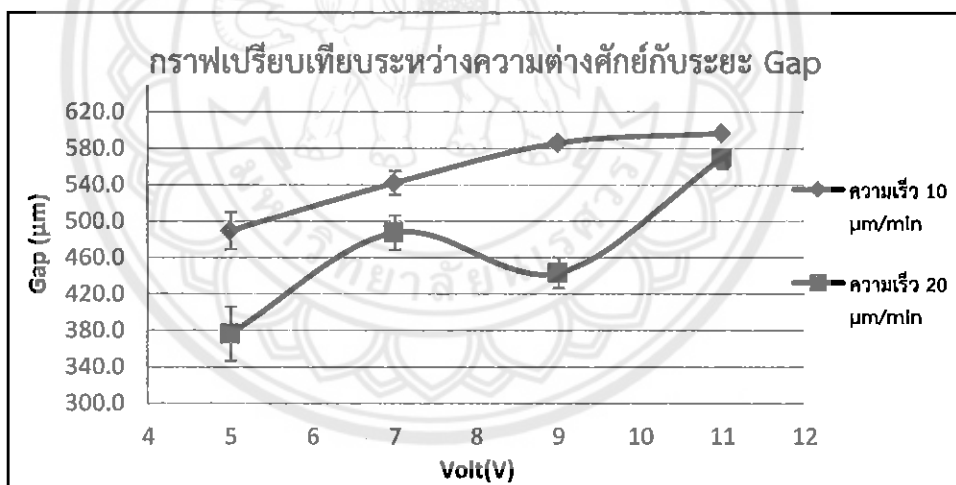
กราฟที่ 4.3 กราฟเปรียบเทียบระหว่างความต่างศักย์ และช่องว่างระหว่างอิเล็กโทรดกับผิวล่าง ชั้นงาน NaCl 0.1 มोลาร์

กราฟที่ 4.3 ถ้าเปรียบเทียบระหว่างอัตราเร็วการเคลื่อนอิเล็กโทรดที่ต่างกัน ท่ออัตราเร็ว 20 ไมโครเมตรต่อนาที จะทำให้อิเล็กโทรดเคลื่อนที่ลงได้ลึกมากที่สุดก่อนที่ชื้นงานจะหลุด ทำให้เกิดระยะห่างช่องว่างระหว่างอิเล็กโทรดกับผิวชั้นงานที่น้อยกว่าอัตราเร็วที่ 10 ไมโครเมตรต่อนาที โดยที่ อัตราเร็วที่ 20 ไมโครเมตรต่อนาที ระยะเฉลี่ย 434.9 ไมโครเมตร และท่ออัตราเร็วที่ 10 ไมโครเมตรต่อนาที ระยะเฉลี่ย 509.45 ไมโครเมตร เมื่อสังเกตในอัตราเร็วค่าไดค่าหนึ่ง การใช้ความต่างศักย์ที่ต่ำ กว่าจะทำให้อิเล็กโทรดเคลื่อนที่ลงได้ลึกกว่า ข้อมูลท่ออัตราเร็ว 10 ไมโครเมตรต่อนาที นั้นมีคุณภาพ มากกว่า เนื่องจากมีแนวโน้มคงที่และตีขึ้นเรื่อยๆ เมื่อใช้ความต่างศักย์ที่สูงขึ้น

ตารางที่ 4.12 ช่องว่างระหว่างอิเล็กโทรดกับผิวล่างชิ้นงานของสารละลายโซเดียมคลอไรด์ที่ความเข้มข้น 0.15 มोลาร์

ความต่างศักย์ (โวลต์)	Gap (ไมโครเมตร)	
	10 ไมโครเมตรต่อนาที	20 ไมโครเมตรต่อนาที
5	489.5	376.1
7	542.0	487.4
9	586.1	443.3
11	596.6	569.3

ตารางที่ 4.12 ช่องว่างระหว่างอิเล็กโทรดกับผิวล่างชิ้นงาน โดยการใช้ความต่างศักย์ 5 โวลต์ อัตราการเคลื่อนที่อิเล็กโทรด 20 ไมโครเมตรต่อนาที จะทำให้เกิดช่องว่างระหว่างอิเล็กโทรดกับผิวชิ้นงานน้อยที่สุด มีค่า 376.1 ไมโครเมตร และนำค่าในตารางพิจารณาดังกราฟที่ 4.4



กราฟที่ 4.4 กราฟเปรียบเทียบระหว่างความต่างศักย์ และช่องว่างระหว่างอิเล็กโทรดกับผิวล่างชิ้นงาน NaCl 0.15 มोลาร์

กราฟที่ 4.4 ถ้าเปรียบเทียบระหว่างอัตราเร็วการเคลื่อนอิเล็กโทรดที่ต่างกัน ที่อัตราเร็ว 20 ไมโครเมตรต่อนาที จะทำให้เข้มฉีดยาเคลื่อนที่ลงได้ลึกกว่าก่อนที่ชิ้นงานจะหลุด ทำให้เกิดระยะห่างช่องว่างระหว่างอิเล็กโทรดกับผิวชิ้นงานที่น้อยกว่าอัตราเร็วที่ 10 ไมโครเมตรต่อนาที โดยที่อัตราเร็วที่ 20 ไมโครเมตรต่อนาที ระยะเฉลี่ย 469.03 ไมโครเมตร และที่อัตราเร็วที่ 10 ไมโครเมตรต่อนาที ระยะเฉลี่ย 553.55 ไมโครเมตร เมื่อสังเกตในอัตราเร็วค่าใดค่าหนึ่ง การใช้ความต่างศักย์ที่ต่ำกว่าจะทำให้เข้มฉีดยาเคลื่อนที่ลงได้ลึกกว่า ข้อมูลที่อัตราเร็ว 10 ไมโครเมตรต่อนาที นั้นมีคุณภาพมากกว่าเนื่องจากมีแนวโน้มคงที่และดีขึ้นเรื่อยๆ เมื่อใช้ความต่างศักย์ที่สูงขึ้น

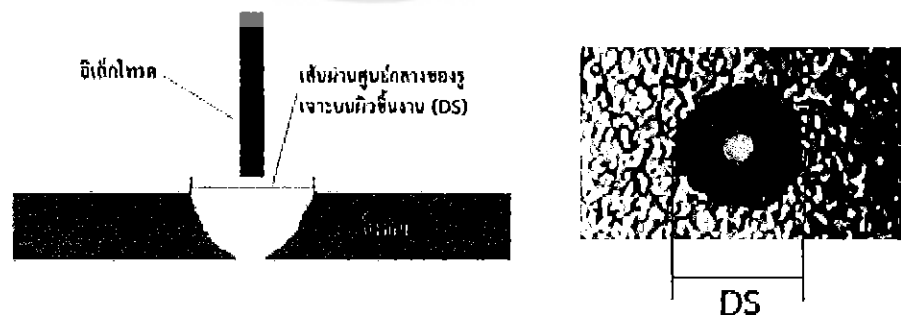
เปรียบเทียบระหว่างกราฟที่ 4.3 กับกราฟที่ 4.4 จะเห็นได้ว่า การใช้สารละลายอิเล็กโทรไลต์ ที่มีความเข้มข้นที่ต่างกันนั้น ส่งผลต่อช่องว่างระหว่างอิเล็กโทรดกับผิวล่างชิ้นงาน โดยความเข้มข้นมากช่องว่างระหว่างอิเล็กโทรดกับผิวล่างชิ้นงานจะมากขึ้นตาม และช่องว่างระหว่างอิเล็กโทรดกับผิวล่างชิ้นงานยังมากขึ้นตามความต่างศักย์ไฟฟ้าที่สูงขึ้นด้วย เป็นเพราะการใช้สารละลายที่มีความเข้มข้นสูง และความต่างศักย์สูงนั้น ทำให้อัตราการเกิดปฏิกิริยาสูง จึงมีผลทำให้อิเล็กโทรดเคลื่อนลงเล็กน้อยก็สามารถทำให้ชิ้นงานหลุดได้ดังรูปที่ 4.8



รูปที่ 4.8 Gap ที่อิเล็กโทรไลต์ความเข้มข้นน้อยและความต่างศักย์น้อย (ซ้าย) กับ Gap ที่อิเล็กโทรไลต์ความเข้มข้นมากกว่าและความต่างศักย์มากกว่า (ขวา)

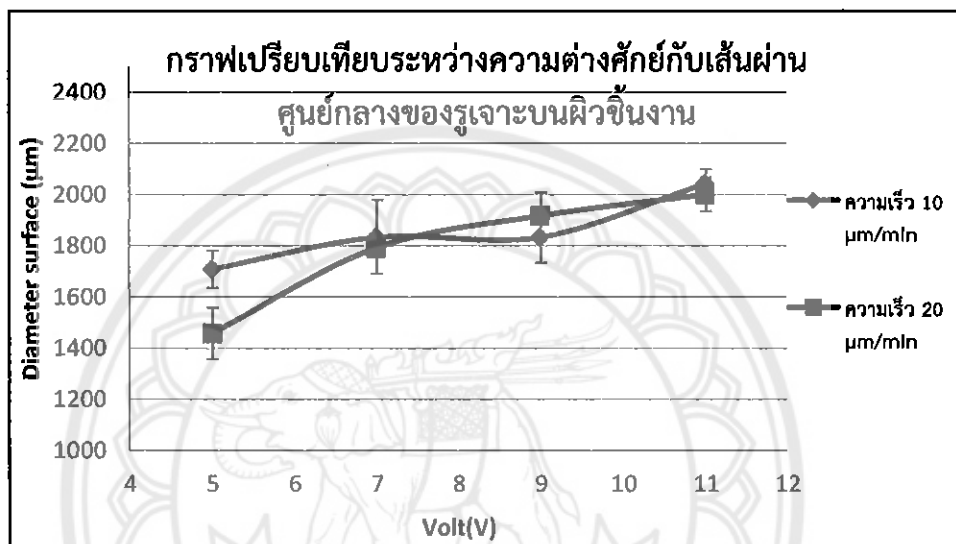
4.5.3 เส้นผ่านศูนย์กลางของรูเจาะบนผิวชิ้นงาน (DS) ของสารละลายโซเดียมคลอไรด์

ภาพตัวอย่างการวัดขนาดเส้นผ่านศูนย์กลางของรูเจาะบนผิวชิ้นงาน (DS) ของสารละลายโซเดียมคลอไรด์ โดยขนาดเส้นผ่านศูนย์กลางของแท่งอิเล็กโทรดที่ใช้ในการเจาะมีค่าเท่ากับ 550 ไมโครเมตร ดังรูปที่ 4.9



รูปที่ 4.9 การวัดเส้นผ่านศูนย์กลางของรูเจาะบนผิวชิ้นงาน (DS)

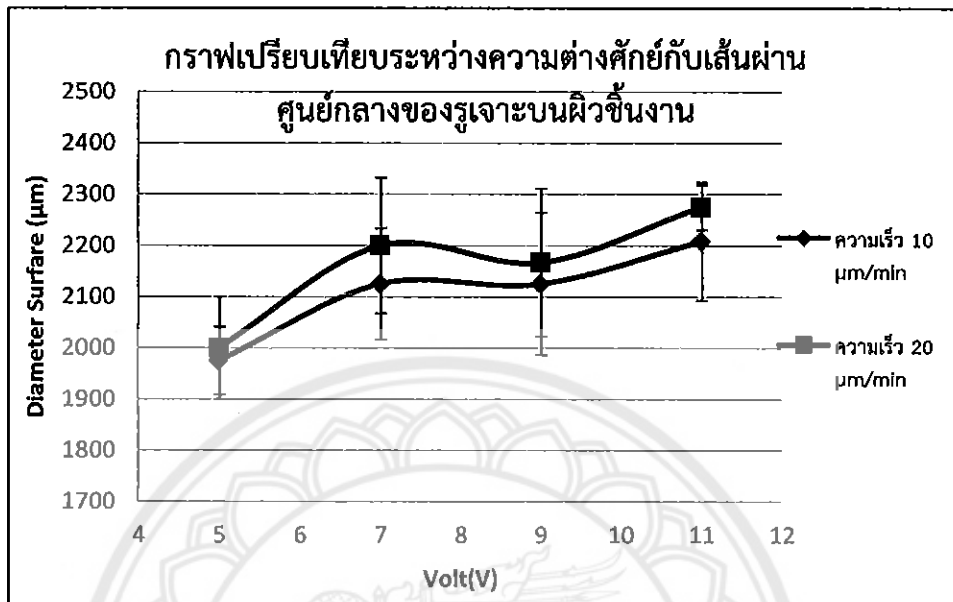
การเปรียบเทียบค่าความต่างศักย์กับขนาดรูเจาะบนผิวชั้นงานที่ความเข้มข้น 0.1 มิลลาร์ และ 0.15 มิลลาร์ของสารละลายโซเดียมคลอไรด์ ระหว่างอัตราเร็วของแท่งเล็กໂทรดคือ 10 ในโครเมตรต่อนาที และ 20 ในโครเมตรต่อนาที ขนาดเส้นผ่านศูนย์กลางของแท่งอิเล็กโทรดที่ใช้ในการเจาะมีค่าเท่ากับ 550 ในโครเมตร ดังกราฟที่ 4.5 และ 4.6



กราฟที่ 4.5 กราฟเปรียบเทียบระหว่างความต่างศักย์ และเส้นผ่านศูนย์กลางของรูเจาะบนผิวชั้นงาน 1-32 NaCl 0.1 มิลลาร์

กราฟที่ 4.5 สังเกตได้ว่าที่ระดับ ความต่างศักย์ที่ 5 โวลต์นั้น เส้นผ่านศูนย์กลางของรูเจาะบนผิวชั้นงานที่อัตราการเคลื่อนที่ของแท่งอิเล็กโทรด 10 ในโครเมตรต่อนาที จะมีเส้นผ่านศูนย์กลางของรูเจาะบนผิวชั้นงานที่มากกว่า 20 ในโครเมตรต่อนาที โดยที่อัตราเร็ว 20 ในโครเมตรต่อนาทีนั้นจะมีเส้นผ่านศูนย์กลางเฉลี่ย 1458.33 ในโครเมตร และที่อัตราเร็ว 10 ในโครเมตรต่อนาที มีเส้นผ่านศูนย์กลางเฉลี่ย 1708.33 ในโครเมตร เมื่อความต่างศักย์มากขึ้น ขนาดของเส้นผ่านศูนย์กลางของรูเจาะบนผิวชั้นงานจะมีขนาดใหญ่ขึ้นและค่าใกล้เคียงกันมากขึ้น

เห็นได้ว่าแนวโน้มของกราฟนั้นยังไม่สามารถบอกได้ว่าความต่างศักย์ที่ใช้จะส่งผลต่อคุณภาพของรูเจาะได้ จะสังเกตได้ว่าที่อัตราการเคลื่อนที่ของแท่งอิเล็กโทรด 10 ในโครเมตรต่อนาที ความต่างศักย์ระหว่าง 7 ถึง 9 โวลต์ นั้น ขนาดของเส้นผ่านศูนย์กลางของรูเจาะบนผิวชั้นงานเฉลี่ยมีขนาดเท่ากันพอดี ซึ่งอาจเกิดจากการที่เราสังเกตเห็นน้ำที่พุ่งลงมาโดยทันทีทันใด เนื่องจากแต่ละรูเราจะหยุดกระบวนการเมื่อมองเห็นสายน้ำที่พุ่งทะลุชั้นงานลงมาข้างล่าง ทำให้อาจหยุดกระบวนการเร็วกว่าที่ควรจะทำให้เส้นผ่านศูนย์กลางของรูเจาะบนผิวชั้นงานเฉลี่ยของ 7 ถึง 9 โวลต์ นั้นเท่ากัน



กราฟที่ 4.6 กราฟเปรียบเทียบระหว่างความต่างศักย์ และเส้นผ่านศูนย์กลางของรูเจาะบนผิวชิ้นงาน 1-32 NaCl 0.15 โมลาร์

กราฟที่ 4.6 สังเกตได้ว่าที่ระดับความต่างศักย์เดียวกันนั้น เส้นผ่านศูนย์กลางของรูเจาะบนผิวชิ้นงานที่อัตราการเคลื่อนที่ของแท่งอิเล็กโทรด 10 ไมโครเมตรต่อนาที จะมีขนาดเส้นผ่านศูนย์กลางของรูเจาะบนผิวชิ้นงานมากกว่า 20 ไมโครเมตรต่อนาที มีขนาดเส้นผ่านศูนย์กลางของรูเจาะบนผิวชิ้นงานมากขึ้นตามความต่างศักย์ที่เพิ่มขึ้นด้วย

เปรียบเทียบระหว่างกราฟที่ 4.5 กับกราฟที่ 4.6 จะเห็นว่าการใช้สารละลายอิเล็กโทรไลต์ที่มีความเข้มข้นที่ต่างกันนั้น สร่งผลต่อเส้นผ่านศูนย์กลางของรูเจาะบนผิวชิ้นงาน โดยความเข้มข้นมาก เส้นผ่านศูนย์กลางของรูเจาะบนผิวชิ้นงานจะขนาดใหญ่ขึ้นตาม และเส้นผ่านศูนย์กลางของรูเจาะบนผิวชิ้นงานยังใหญ่ขึ้นตามความต่างศักย์ไฟฟ้าที่สูงขึ้นด้วย เป็นเพราะการใช้สารละลายที่มีความเข้มข้นสูง และความต่างศักย์สูงนั้น ทำให้อัตราการเกิดปฏิกิริยาสูง จึงมีผลทำให้อิเล็กโทรดเคลื่อนลงเล็กน้อย ถึงสามารถทำให้ชิ้นงานทะลุ

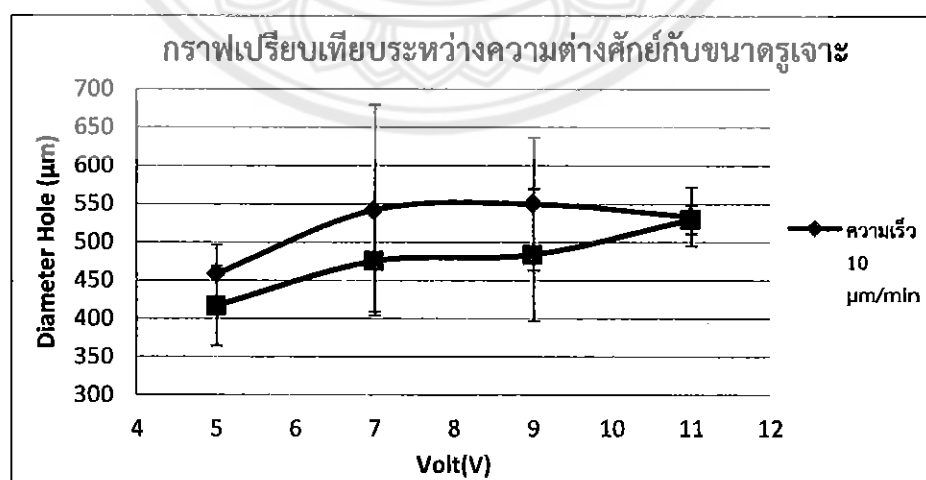
4.5.4 ขนาดรูเจาะ (DH) ของสารละลายโซเดียมคลอไรต์

ภาพตัวอย่างการวัดขนาดเส้นผ่านศูนย์กลางของรูเจาะบนผิวชั้นงาน (DH) ของสารละลายโซเดียมคลอไรต์ โดยขนาดเส้นผ่านศูนย์กลางของแท่งอิเล็กโทรดที่ใช้ในการเจาะมีค่าเท่ากับ 550 ไมโครเมตร ดังรูปที่ 4.10



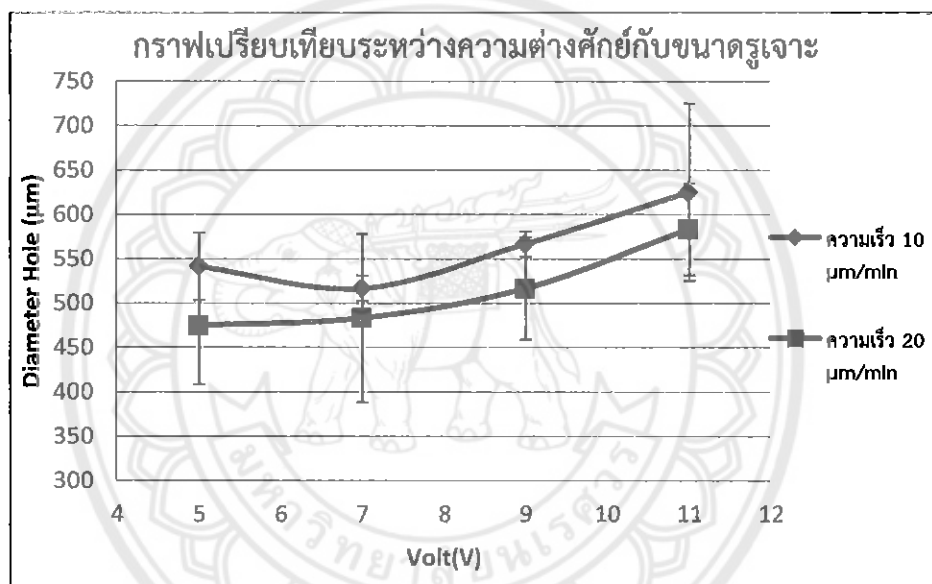
รูปที่ 4.10 ตำแหน่งของขนาดรูเจาะ (DH) และการวัดขนาดรู (DH)

การเปรียบเทียบค่าความต่างศักย์กับขนาดรูเจาะบนผิวชั้นงานที่ความเข้มข้น 0.1 มोลาร์ และ 0.15 มोลาร์ของสารละลายโซเดียมคลอไรต์ ระหว่างอัตราเร็วของแท่งอิเล็กโทรดคือ 10 ไมโครเมตรต่อนาที และ 20 ไมโครเมตรต่อนาที ขนาดเส้นผ่านศูนย์กลางของแท่งอิเล็กโทรดที่ใช้ในการเจาะมีค่าเท่ากับ 550 ไมโครเมตร ดังกราฟที่ 4.7 และ 4.8



กราฟที่ 4.7 กราฟเปรียบเทียบระหว่างความต่างศักย์ และขนาดรูเจาะ 1-32 NaCl 0.1 มोลาร์

กราฟที่ 4.7 สังเกตได้ว่าที่ระดับ ความต่างศักย์เดียวกันนั้น การใช้อัตราการเคลื่อนที่ของ อิเล็กโตรด 20 ไมโครเมตรต่อนาที จะทำให้ขนาดรูเล็กกว่าอัตราการเคลื่อนที่ของอิเล็กโตรด 10 ไมโครเมตรต่อนาที ยกเว้นความต่างศักย์สุดท้าย (11 โวลต์) ที่ขนาดรูจะเฉลี่ยมีขนาดใกล้เคียงกัน มาก ที่อัตราเร็ว 20 ไมโครเมตรต่อนาที มีเส้นผ่านศูนย์กลางเฉลี่ย 529 ไมโครเมตร และอัตราเร็ว 10 ไมโครเมตรต่อนาที มีเส้นผ่านศูนย์กลางเฉลี่ย 533 ไมโครเมตร แต่ในอัตราการเคลื่อนที่ของ อิเล็กโตรด 20 ไมโครเมตรต่อนาที ในความต่างศักย์อื่นๆ จะมีขนาดรูจะเล็กกว่าอัตราการเคลื่อนที่ 10 ไมโครเมตรต่อนาที



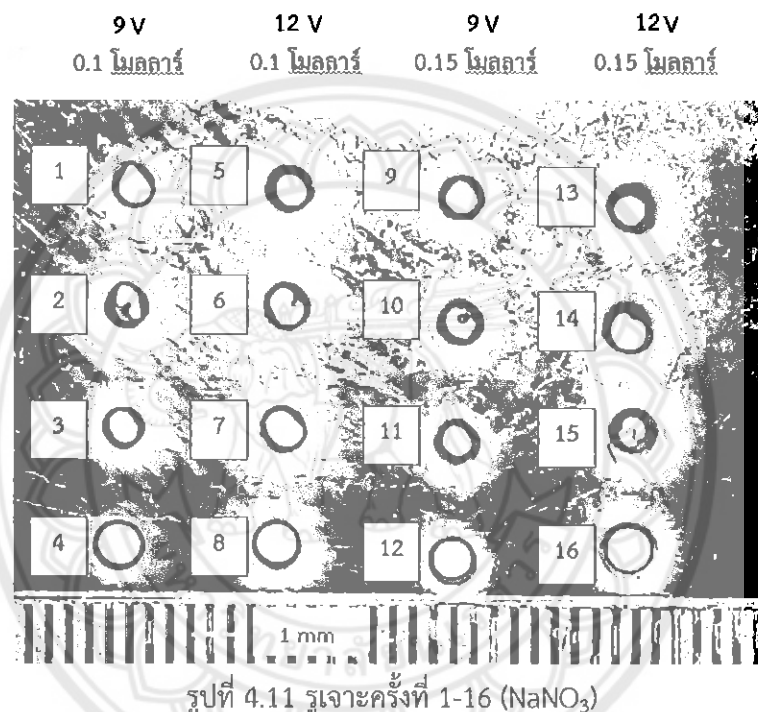
กราฟที่ 4.8 กราฟเปรียบเทียบระหว่างความต่างศักย์ และขนาดรูเจาะ 1-32 NaCl 0.15 โมลาร์

กราฟที่ 4.8 สังเกตได้ว่าที่ระดับความต่างศักย์เดียวกันนั้น การใช้อัตราการเคลื่อนที่ของ อิเล็กโตรด 20 ไมโครเมตรต่อนาที จะทำให้เกิดขนาดรูเล็กกว่า อัตราการเคลื่อนที่ของอิเล็กโตรด 10 ไมโครเมตรต่อนาที และจะมีขนาดรูที่ใหญ่ขึ้นเมื่อความต่างศักย์สูงขึ้น ยกเว้นอัตราเร็ว 10 ไมโครเมตร ต่อนาที ที่ความต่างศักย์ 5 โวลต์ มีขนาดใหญ่กว่ารูที่ความต่างศักย์ 7 โวลต์ อาจเกิดจากเวลาใช้เวลา เจาะนานและหยุดกระบวนการตอนสังเกตเห็นน้ำที่เจาะทะลุซากว่ารูอื่น

เปรียบเทียบระหว่างกราฟ 4.7 และ 4.8 จะเห็นได้ว่า การใช้สารละลายอิเล็กโตรไลต์ที่มี ความเข้มข้นที่ต่างกันนั้น ส่งผลต่อขนาดรูเจาะ โดยความเข้มข้นมากขนาดรูเจาะจะมีขนาดใหญ่ขึ้น และขนาดรูเจาะยังมีขนาดใหญ่ตามความต่างศักย์ไฟฟ้าที่สูงขึ้นด้วย เป็นเพร率การใช้สารละลายที่มี ความเข้มข้นสูง และความต่างศักย์สูงนั้น ทำให้อัตราการเกิดปฏิกิริยาสูง จึงมีผลทำให้อิเล็กโตรด เคลื่อนลงเล็กน้อยกีสามารถทำให้ชี้้งานทะลุได้

4.6 ผลการทดลอง โซเดียมไนเตรท (NaNO_3)

การทดลองโซเดียมไนเตรท (NaNO_3) จะใช้อัตราเร็วที่เหมาะสมที่ใช้คือ 8 ไมโครเมตรต่อนาที ความเข้มข้นของโซเดียมไนเตรทที่ใช้ในกระบวนการเจาะคือ 0.1 มิลาร์ ใช้เจาะตั้งแต่รูที่ 1-8 และ 0.15 มิลาร์ ใช้เจาะตั้งแต่รูที่ 9-16 ขนาดเส้นผ่านศูนย์กลางของแท่งอิเล็กโทรดที่ใช้ในการทดลองมีค่าเท่ากับ 550 ไมโครเมตร ดังรูปที่ 4.11



รูปที่ 4.11 รูเจาะครั้งที่ 1-16 (NaNO_3)

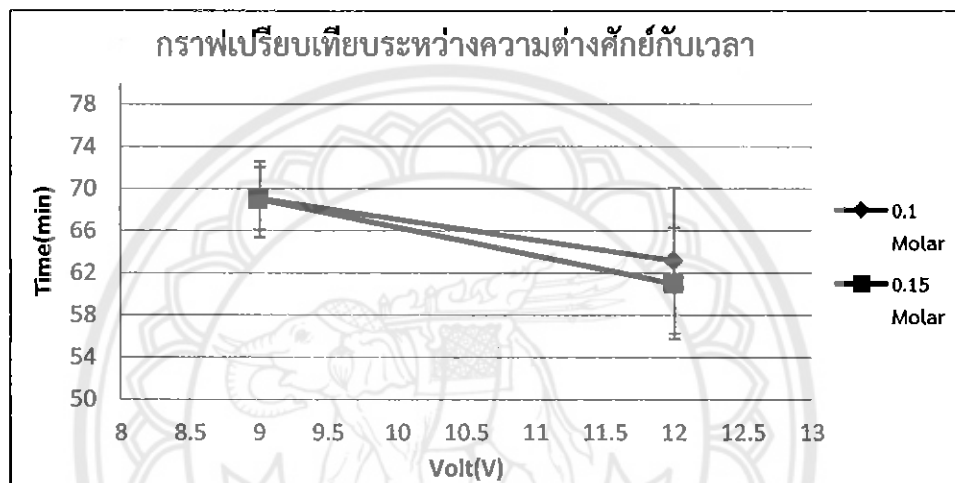
รูปที่ 4.11 เป็นการใช้อัตราการเคลื่อนที่ของอิเล็กโทรดที่ 8 ไมโครเมตรต่อนาที เพราะถ้าใช้อัตราการเคลื่อนที่ที่สูงกว่านี้จะทำให้อิเล็กโทรดกับชิ้นงานสัมผัสกัน ทำให้กระแสไฟฟ้าลัดวงจรและไม่เกิดปฏิกิริยา โดยได้ทำการทดลองใช้อัตราการเคลื่อนที่ของอิเล็กโทรดที่ 10 ไมโครเมตรต่อนาที และ 20 ไมโครเมตรต่อนาที จึงไม่สามารถเจาะได้

ดังนั้น อัตราเร็วที่เหมาะสมที่ใช้คือ 8 ไมโครเมตรต่อนาที ความเข้มข้นของโซเดียมไนเตรทที่ใช้ในกระบวนการเจาะคือ 0.1 มิลาร์ ใช้เจาะตั้งแต่รูที่ 1-8 และ 0.15 มิลาร์ ใช้เจาะตั้งแต่รูที่ 9-16 การเจาะด้วยการใช้โซเดียมไนเตรท นั้นให้ผิวที่เรียบเนียนมาก สังเกตได้จากบริเวณรอบๆ ปากรูเจาะเป็นวงกว้างเจาะ ในการทดลองนี้จะสังเกตได้ว่าส่วนของรูที่ 4 8 12 และ 16 จะมีขนาดที่ใหญ่กว่าทุกๆ เนื่องมาจากการเคลื่อนที่อิเล็กโทรด ไปที่ตำแหน่งที่ต่ำกว่าผิวล่างของชิ้นงานใช้ระยะเวลาและปฏิกิริยาทางเคมีที่นานกว่ารูอื่นๆ จึงทำให้รูมีขนาดเส้นผ่านศูนย์กลางที่ใหญ่กว่า

4.7 เปรียบเทียบการทดลองโซเดียมในเตรท 0.1 มोลาร์ และ 0.15 มोลาร์

4.7.1 เวลาที่ใช้เจาะ (Time) NaNO_3

เปรียบเทียบเวลาที่ใช้เจาะกับความต่างศักย์ไฟฟ้า ของโซเดียมในเตรทที่ความเข้มข้น 0.1 มोลาร์ และความเข้มข้น 0.15 มोลาร์ อัตราการเคลื่อนที่ของอิเล็กโทรด 8 ไมโครเมตรต่อนาที แท่งอิเล็กโทรดที่ใช้ในการทดลองมีขนาดเส้นผ่านศูนย์กลาง 550 ไมโครเมตร ดังกราฟที่ 4.9

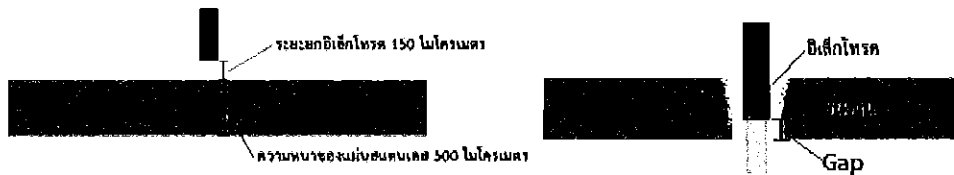


กราฟที่ 4.9 กราฟเปรียบเทียบระหว่างความต่างศักย์ และเวลาที่ใช้ 1-16 (NaNO_3)

กราฟที่ 4.9 สังเกตได้ว่าเมื่อมีการเพิ่มความต่างศักย์ขึ้นนั้น เวลาที่ใช้ในการเจาะจะมีแนวโน้มลดลง แสดงว่าการใช้ความต่างศักย์ที่สูงขึ้นจะทำให้ชั้นงานเจาะหลุดรื้อขึ้นโดยเฉลี่ยแล้วที่ 9 โวลต์ ใช้เวลาเฉลี่ย 69.03 นาที และที่ 12 โวลต์ ใช้เวลาเฉลี่ย 62.08 นาที

4.7.2 ช่องว่างระหว่างอิเล็กโทรดกับผิวล่างชั้นงานของสารละลายโซเดียมในเตรท (NaNO_3)

ตัวอย่างการหาคำนวนหาซองว่างระหว่างอิเล็กโทรดกับผิวล่างชั้นงานของสารละลายโซเดียมในเตรท โดยระยะยกของแท่งอิเล็กโทรดร่วมกับความหนาของชั้นงานมีค่าเท่ากับ 650 ไมโครเมตร จะนำมาลบกับระยะที่อิเล็กโทรดเคลื่อนที่ ได้เป็นระยะห่างระหว่างแท่งอิเล็กโทรดกับผิวชั้นงานด้านล่าง ดังรูปที่ 4.12



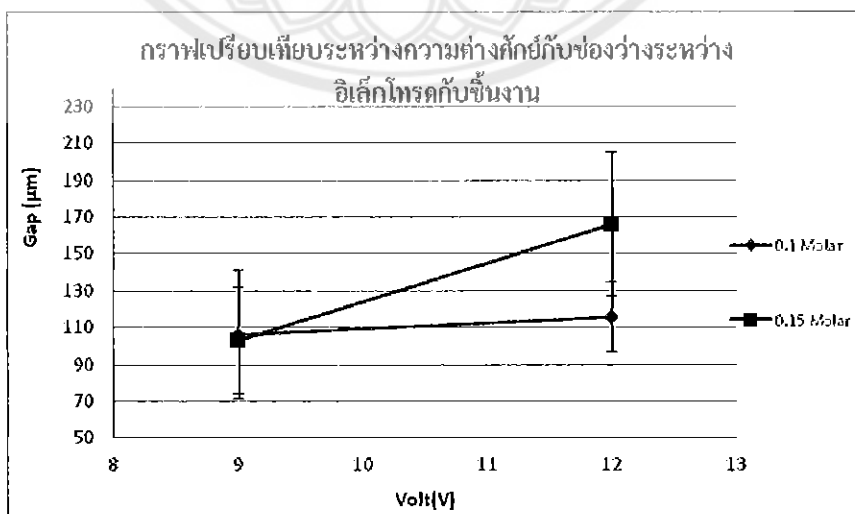
รูปที่ 4.12 ซ่องว่างระหว่างอิเล็กโทรดกับผิวล่างชิ้นงานของสารละลายโซเดียมในเตρท

ตารางที่ 4.13 ซ่องว่างระหว่างอิเล็กโทรดกับผิวล่างชิ้นงาน

ความต่างศักย์ (โวลต์)	Gap (ไม่โครเมตร)	
	0.1 มอลาร์	0.15 มอลาร์
9	106.25	103.10
12	166.10	166.10

ตารางที่ 4.13 ระยะห่างซ่องว่างระหว่างอิเล็กโทรดกับผิวชิ้นงาน โดยการใช้ความต่างศักย์ 9 โวลต์ อัตราการเคลื่อนที่อิเล็กโทรด 8 ไม่โครเมตรต่อนาที และความเข้มข้น 0.15 มอลาร์จะทำให้เกิดซ่องว่างระหว่างอิเล็กโทรดกับผิวชิ้นงานน้อยที่สุด มีค่า 103.10 ไม่โครเมตร

เปรียบเทียบความต่างศักย์ไฟฟ้ากับ ระยะซ่องว่างระหว่างแท่งอิเล็กโทรดกับชิ้นงานของโซเดียมในเตรทที่ความเข้มข้น 0.1 มอลาร์ และความเข้มข้น 0.15 มอลาร์ อัตราการเคลื่อนที่ของอิเล็กโทรด 8 ไม่โครเมตรต่อนาทีแห่งอิเล็กโทรดที่ใช้ในการทดลองมีขนาดเส้นผ่าศูนย์กลาง 550 ไม่โครเมตร ดังกราฟที่ 4.10



กราฟที่ 4.10 กราฟเปรียบเทียบระหว่างความต่างศักย์กับซ่องว่างระหว่างอิเล็กโทรด กับผิวชิ้นงาน 1-16 (NaNO_3)

กราฟที่ 4.10 การใช้ความต่างศักย์ที่ต่ำกว่าจะทำให้อิเล็กโทรดเคลื่อนที่ลงได้ลึกกว่าใช้ความต่างศักย์ที่สูงกว่า โดยที่ 9 โวลต์ มีระยะห่างซ่องว่างระหว่างอิเล็กโทรดกับผิวชิ้นงานเฉลี่ย 104.68 ไมโครเมตร และที่ 12 โวลต์ มีระยะห่างซ่องว่างระหว่างอิเล็กโทรดกับผิวชิ้นงานเฉลี่ย 166.10 ไมโครเมตร และความเข้มข้นของอิเล็กโทรดจะไม่มีผลต่อกระบวนการเจาะ เนื่องจากความลึกของอิเล็กโทรดมีค่าเท่ากันที่ 12 โวลต์และใกล้เคียงกันมากที่ 9 โวลต์

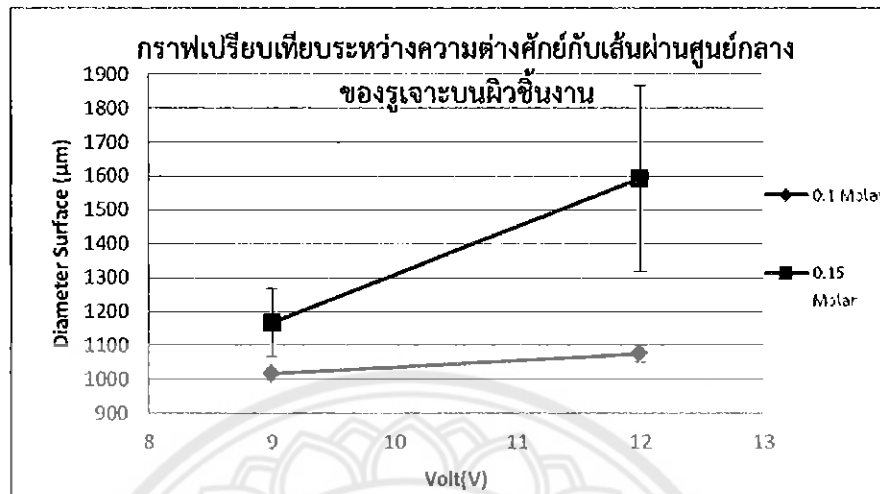
4.7.3 เส้นผ่านศูนย์กลางของรูเจาะบนผิวชิ้นงาน (DS) NaNO_3

ตัวอย่างเส้นผ่านศูนย์กลางของรูเจาะบนผิวชิ้นงาน วัดจากขนาดเส้นผ่านศูนย์กลางที่อยู่บนผิวแผ่นสแตนเลส ของสารละลายโซเดียมไนเตรท อัตราเคลื่อนที่ของแท่งอิเล็กโทรด 8 ไมโครเมตรต่อนาที และขนาดเส้นผ่านศูนย์กลางของแท่งอิเล็กโทรดมีค่าเท่ากัน 550 ไมโครเมตร ในรูปที่ 4.13



รูปที่ 4.13 ตำแหน่งเส้นผ่านศูนย์กลางของรูเจาะบนผิวชิ้นงาน (DS) และการวัดเส้นผ่านศูนย์กลางของรูเจาะบนผิวชิ้นงาน (DS) NaNO_3

เปรียบเทียบความต่างศักย์ไฟฟ้ากับเส้นผ่านศูนย์กลางของรูเจาะที่ผิวต้านบนชิ้นงานของโซเดียมไนเตรทที่ความเข้มข้น 0.1 มोลาร์ และความเข้มข้น 0.15 มोลาร์ อัตราการเคลื่อนที่ของอิเล็กโทรด 8 ไมโครเมตรต่อนาที แท่งอิเล็กโทรดที่ใช้ในการทดลองมีขนาดเส้นผ่านศูนย์กลาง 550 ไมโครเมตร ดังกราฟที่ 4.11

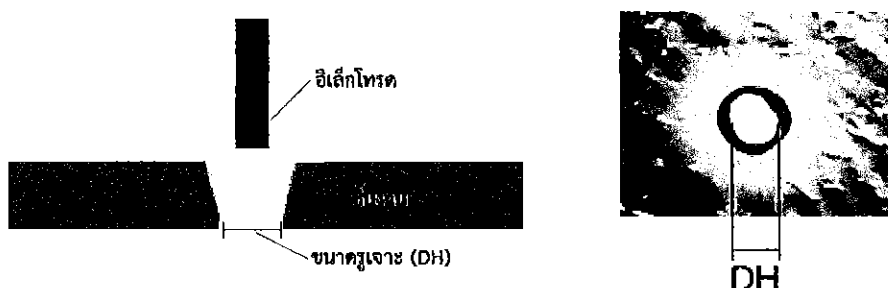


กราฟที่ 4.11 กราฟเปรียบเทียบระหว่างความต่างศักย์ และเส้นผ่านศูนย์กลางของรูเจาะบนผิวชิ้นงาน 1-16 (NaNO_3)

กราฟที่ 4.11 สังเกตได้ว่าการใช้ความต่างศักย์สูงขึ้น ทำให้เส้นผ่านศูนย์กลางของรูเจาะบนผิวชิ้นงานมีขนาดที่ใหญ่ขึ้น และความเข้มข้นมากขึ้นส่งผลทำให้เส้นผ่านศูนย์กลางของรูเจาะบนผิวชิ้นงานมีขนาดที่ใหญ่ขึ้นด้วยเช่นกัน โดยความเข้มข้นที่ 0.1 มोลาร์ มีขนาดเส้นผ่านศูนย์กลางเฉลี่ยของรูเจาะบนผิวชิ้นงานเดิกกว่า ความเข้มที่ 0.15 มोลาร์ ที่ขนาดเส้นผ่านศูนย์กลางเฉลี่ยของรูเจาะบนผิวชิ้นงาน 1045.83 ไมโครเมตร และขนาดเส้นผ่านศูนย์กลางเฉลี่ยของรูเจาะบนผิวชิ้นงานอยู่ที่ 1455.83 ไมโครเมตร ตามลำดับ

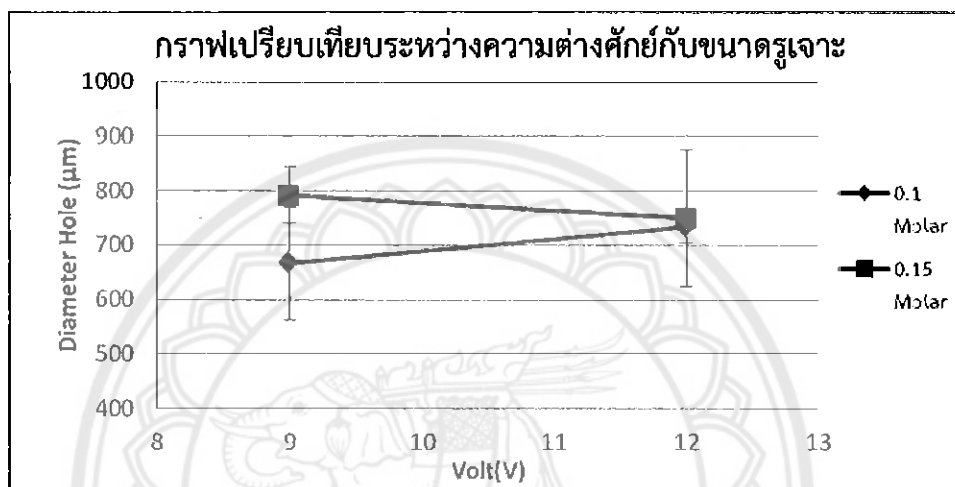
4.7.4 ขนาดรูเจาะ (DH) NaNO_3

ขนาดรูเจาะคือ รูที่น้ำพุ่งผ่านชิ้นงานได้ เป็นรูที่อยู่ผิดด้านล่างของโดยจะมีขนาดที่เล็กกว่าเส้นผ่านศูนย์กลางของรูเจาะบนผิวชิ้นงาน ดังรูปที่ 4.14 โดยจะเปรียบเทียบขนาดของรูเจาะบนผิวชิ้นงานระหว่างการใช้โซเดียมคลอไรต์ที่ความเข้มข้น 0.1 มोลาร์ และ 0.15 มोลาร์



รูปที่ 4.14 ตำแหน่งของขนาดรูเจาะ (DH) และการวัดขนาดรู (DH) NaNO_3

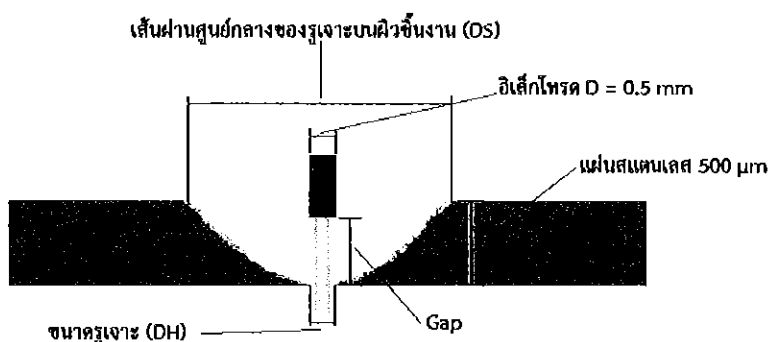
เปรียบเทียบความต่างศักย์ไฟฟ้ากับเส้นผ่านศูนย์กลางของรูเจาะที่ผิวด้านล่างชิ้นงานของโซเดียมในเตรธที่ความเข้มข้น 0.1 มोลาร์ และความเข้มข้น 0.15 มोลาร์ อัตราการเคลื่อนที่ของอิเล็กโทรด 8 ไมโครเมตรต่อนาที แห่งอิเล็กโทรดที่ใช้ในการทดลองมีขนาดเส้นผ่านศูนย์กลาง 550 ไมโครเมตร ดังกราฟที่ 4.12



กราฟที่ 4.12 กราฟเปรียบเทียบระหว่างความต่างศักย์ และขนาดรูเจาะ 1-16 (NaNO_3)

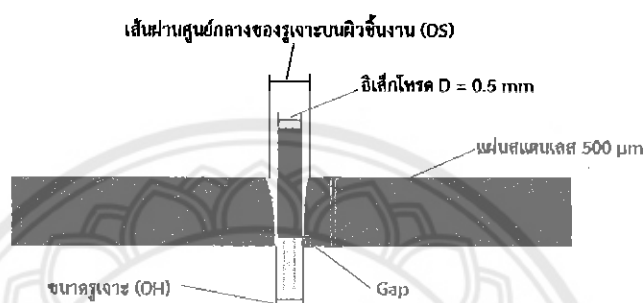
กราฟที่ 4.12 ที่ความเข้มข้น 0.15 มोลาร์ มีค่าเฉลี่ยของขนาดรูเล็กลง เมื่อใช้ความต่างศักย์ไฟฟ้าสูงขึ้น แต่ที่ความเข้มข้น 0.1 มोลาร์ มีค่าเฉลี่ยของขนาดรูที่มากขึ้น เมื่อใช้ความต่างศักย์ไฟฟ้าสูงขึ้น ซึ่งตรงข้ามกับความเข้มข้น 0.15 มोลาร์ ยังอธิบายไม่ได้ว่าทำไมความเข้มข้นต่างกันถึงมีผลตรงกันข้าม

ตัวอย่างภาพจำลองของการเจาะรู ของโซเดียมคลอไรด์ (NaCl) ของความต่างศักย์ 11 โวลต์ เนื่องจากมีช่องว่างระหว่างอิเล็กโทรดกับผิวล่างชิ้นงาน (Gap) ขนาดรูเจาะ และเส้นผ่านศูนย์กลางของรูเจาะบนผิวชิ้นงาน (DS) มากที่สุด รูปที่ 4.15



รูปที่ 4.15 ภาพจำลองรวมของการเจาะที่ความต่างศักย์ 11 โวลต์ ของโซเดียมคลอไรด์ (NaCl)

รูปที่ 4.16 ภาพจำลองของการเจาะรู ของโซเดียมไนเตรท (NaNO_3) แห่งอิเล็กโทรดที่ใช้มีขนาดเส้นผ่านศูนย์กลางอยู่ที่ 550 ไมโครเมตรและความหนาของแผ่นชิ้นงานมีค่าเท่ากับ 500 ไมโครเมตร โดยซึ่งว่างระหว่างอิเล็กโทรดกับผิวล่างชิ้นงาน (Gap) ขนาดรูเจาะ และเส้นผ่านศูนย์กลางของรูเจาะบนผิวชิ้นงาน (DS) มีค่าที่น้อย



รูปที่ 4.16 ภาพจำลองรวมของการเจาะ โซเดียมไนเตรท (NaNO_3)

บทที่ 5

สรุปโครงการ และข้อเสนอแนะ

5.1 สรุปผล

จากการออกแบบและพัฒนาชุดทดลองซึ่งประกอบไปด้วยส่วน เคลื่อนที่และส่วนควบคุม ส่วน เคลื่อนที่จะประกอบไปด้วย แกน X Y และ Z โดยใช้สเต็ปมอเตอร์ในการขับเคลื่อน แกน X Y จะเป็น ตัวควบคุมการเคลื่อนที่ของชิ้นงาน มีค่าความละเอียดอยู่ที่ 10 ไมโครเมตร ส่วนแกน Z เป็นตัว ควบคุมการเคลื่อนที่ของแท่งอิเล็กโทรด มีค่าความละเอียดอยู่ที่ 6.3 ไมโครเมตร สารละลายถูก ควบคุมผ่าน Peristaltic pump โดยอัตราการไหลอยู่ที่ 23 มิลลิลิตรต่อนาที ในการควบคุมประกอบ ไปด้วย บอร์ด Arduino mega ทำหน้าที่รับคำสั่งจากคอมพิวเตอร์เพื่อมาสั่งการส่วนต่างๆ

ในการศึกษาความเข้มข้นของสารละลายอิเล็กโทรไลต์ที่มีผลกระทบต่อรูระดับไมโครด้วย ไฟฟ้าเคมี การใช้สารละลายอิเล็กโทรไลต์ที่มีความเข้มข้นที่ต่างกันนั้น ส่งผลต่องานด้วย ใจความ เข้มข้นมากขนาดดูจะมีขนาดใหญ่ขึ้น และขนาดดูจะยังมีขนาดใหญ่ตามความต่างศักย์ไฟฟ้าที่ สูงขึ้นด้วย เป็นเพราะการใช้สารละลายที่มีความเข้มข้นสูง และความต่างศักย์สูงนั้น ทำให้อัตราการ เกิดปฏิกิริยาสูง จึงมีผลทำให้อิเล็กโทรเดลี่นที่ลงไปเล็กน้อยกีสามารถทำให้ชิ้นงานหลุดได้ อัตราเร็ว การเคลื่อนอิเล็กโทรดที่ต่างกัน ที่อัตราเร็ว 20 ไมโครเมตรต่อนาที จะทำให้อิเล็กโทรเดลี่นที่ลงได้ ลึกมากที่สุดก่อนที่ชิ้นงานจะหลุด ทำให้เกิดระยะห่างของระหว่างอิเล็กโทรดกับผิวชิ้นงานที่น้อย กว่าอัตราเร็วที่ 10 ไมโครเมตรต่อนาทีโดยที่อัตราเร็วที่ 20 ไมโครเมตรต่อนาที ระยะเฉลี่ย 451 ไมโครเมตรและที่อัตราเร็วที่ 10 ไมโครเมตรต่อนาที ระยะเฉลี่ย 531 ไมโครเมตร การใช้ความต่าง ศักย์ที่ต่ำกว่าจะทำให้อิเล็กโทรเดลี่นที่ลงได้ลึกกว่าจะทำให้เกิดขนาดดูเล็กกว่า และจะมีขนาดดูที่ ใหญ่ขึ้นเมื่อความต่างศักย์สูงขึ้น

สำหรับการใช้สารละลายอิเล็กโทรไลต์ที่ต่างชนิดกันนั้นสรุปได้ดังนี้ ความเรียบของผิวชิ้นงาน การใช้โซเดียมไนเตรทในการกัดจะทำให้ผิวชิ้นงานเรียบเนียนมากกว่าการใช้สารละลายโซเดียมคลอ ไรด์ ขนาดเส้นผ่าศูนย์กลางของรูจะ โดยถ้าความต่างศักย์เพิ่ม มากขึ้นขนาดดูมากขึ้นตามไปด้วย โดย ระยะเวลาในการเจาะ การใช้โซเดียมไนเตรทในการกัดจะใช้วลามันกว่าโซเดียมคลอไรด์ที่ความ เข้มข้นเดียวกัน เวลาที่ใช้ในการเจาะ โดยใช้โซเดียมคลอไรด์ ใชเวลาเฉลี่ย 14.75 นาทีต่อหนึ่งรูการใช โซเดียม และการใช้โซเดียมไนเตรท ใชเวลาเฉลี่ย 65.55 นาทีต่อหนึ่งรู จึงสรุปได้ว่าการใช้โซเดียมคลอ ไรด์ในกระบวนการ ECM นั้นจะทำให้เจาะรูได้เร็วกว่า

จากการทำการทดลองประกอบกับการวิเคราะห์ผลจากการทดลอง สรุปได้ว่า การใช้สารละลายอิเล็กโทรไลต์ ที่ความเข้มข้นต่างกัน ขนาดรูเจาหนึ่งจะมีขนาดใหญ่ขึ้นเมื่อเพิ่มความต่างศักย์สูงขึ้น และสภาพผิวของชิ้นงานจะมีความชุกระตามไปด้วย การใช้อัตราการเคลื่อนที่ของอิเล็กโทรด เมื่อใช้อัตราเร็วที่ อัตราเร็ว 20 ไมโครเมตรต่อนาที ที่โอลต์ต่ำ จำทำให้ชิ้นงานมีรูขนาดเล็ก และเวลาที่ใช้ในการเจาะจะลดลงตามไปด้วยโดยเมื่อเพิ่มความเข้มข้นของสารละลาย จะใช้เวลาเจาะที่น้อยลง เมื่อเปรียบเทียบละลายอิเล็กโทรไลต์เป็นโซเดียมไนเตรทและโซเดียมคลอไรด์ พบว่าที่ความเข้มข้นเดียวกัน พบว่าขนาดรูเจาที่ใช้สารละลายโซเดียมไนเตรทมีขนาดใหญ่กว่าที่ใช้สารละลายโซเดียมคลอไรด์แต่สภาพผิวจะเรียบเนียนกว่า

5.2 ข้อเสนอแนะ

- 5.2.1 ควรใช้เครื่องมือในการวัดขนาดของรูเจาที่แม่นยำกว่านี้ เพื่อให้ได้ผลการทดลองที่ถูกต้อง และแม่นยำมากขึ้น
- 5.2.2 ในการทดลองเมื่อมีการอุดตันของแท่งอิเล็กโทรด จำเป็นต้องเปลี่ยนแท่งอิเล็กโทรดเป็นเหตุให้เกิดการคาดเคลื่อนของตำแหน่งบนแผ่นชิ้นงาน
- 5.2.3 ในระหว่างการเกิดปฏิกิริยาของกระบวนการกัดวัสดุระดับไมโครด้วยไฟฟ้าเคมี จะมีสนิมเกิดขึ้นที่วัสดุจับชิ้นงานและตัวแท่งอิเล็กโทรด จึงทำให้เกิดความด้านทานทางไฟฟ้า เป็นผลให้การทำปฏิกิริยาทางไฟฟ้าเคมี มีค่าน้อยลง
- 5.2.4 ภายนอกสารละลายควรปิดให้มิดชิด เพราะฝุ่นหรือสิ่งสกปรกอาจตกลงมาในสารละลายได้ เพราะแท่งเล็กไฟฟารดมีขนาดค่อนข้างเล็ก ซึ่งจะทำให้อุดตันได้
- 5.2.5 หลังจากการทดลองควรนำขั้วต่อไฟฟ้าไปล้างน้ำเปล่าแล้วเช็ดให้แห้งเพื่อป้องกันสนิม

อ้างอิง

- [1] วิบุญ ตั้งวโรดมนกุล, การกัดวัสดุด้วยไฟฟ้าเคมี, technology pramation(2011) 76-77
- [2] ณรงค์ชัย ใจเย็น, วรรณวิชา ชุมแสง, วิภาวดี แก้วก่อง, สารละลายอิเล็กโทรไลต์, สืบคันวันที่ 9 พฤษภาคม 2559, Wed site: <https://sites.google.com/site/acidsandbasestutorial/acid>
- [3] บริษัท ไทยพีวัน ซัพพลาย จำกัด, การกัดวัสดุด้วยไฟ, สืบคันวันที่ 9 พฤษภาคม 2559, Wed site:
- [4] ประมูล บ้าน้อย, วิธีคำนวณหาจำนวน องศาต่อ step ของมอร์เตอร์, สืบคันวันที่ 18 พฤษภาคม 2559, Wed site: <http://www.cnctak.com/?cid=1788067>
- [5] โปรแกรม LabView ,สืบคันวันที่ 25 พฤษภาคม 2559, Wed site: http://www.research-system.siam.edu/images/coop/DESIGN_AND_CONSTRUCTION_OF_ELECTRICAL_MEASUREMENT_USING_LABVIEW_PROGRAM/ch2.pdf
- [6] Chuangchuang Chen, Jianzhong Li, Shicheng Zhan, Zuyuan Yu, Wenji Xu, Study of micro groove machining by micro ECM, Procedia CIRP 42 (2016) 418 – 422
- [7] Guodong Liua, Yong Lia, Quancun Konga, Hao Tonga, Research on ECM process of micro holes with internal features, Precision Engineering (2016)
- [8] Zhang Yan, Xu Zhengyang , Zhu Yun, Zhu Di,Machining of a film-cooling hole in a single-crystal superalloy by high-speed electrochemical discharge drilling,Chinese Journal of Aeronautics(2015)
- [9] จิตติ พัทธวนิช, (2556), การทดลองเพื่อศึกษาผลของรูปทรงและอัตราป้อนของอิเลคโทรดต่อรูปร่างของร่องกัดในกระบวนการการกัดวัสดุด้วยวิธีทางไฟฟ้าเคมี, การประชุมวิชาการเครื่อข่ายวิศวกรรมเครื่องกลแห่งประเทศไทย ครั้งที่ 27
- [10] บอร์ดขับสเต็ปมอเตอร์ TB6600, สืบคันวันที่ 19 พฤษภาคม 2560, web site : https://www.dfrobot.com/wiki/index.php/TB6600_Stepper_Motor_Driver_SKU:_DRI004
- [11] ภาณุเดช ด้วงทำ, จักรพงศ์ จับแสงจันทร์, พฤตินัย มูลณี การศึกษาระบบกัดวัสดุระดับไมโครด้วยไฟฟ้าเคมี(Study of Electrochemical Micromachining)



ตาราง ก.1 บันทึกค่าการทดลองโดยใช้สารละลายน้ำเดี่ยมคลอโรต์ 0.1 โมลาร์ ที่ความต่างศักย์ 5 วอลต์ ความเร็ว 10 $\mu\text{m}/\text{min}$

สารละลายน้ำเดี่ยมคลอโรต์							
ความเข้มข้น 0.1 โมลาร์ ที่ความเร็ว 10 $\mu\text{m}/\text{min}$							
รุ่นที่เจาะ	วอลต์	ปั๊ม	เวลา(นาที)	step	กระแส(A)	ปริมาณริน้ำ(mL)	ระยะที่เจาะ(μm)
1	5	25	0	24	0.004	800	264.6
			5	15	0.006	650	
			10	8	0.011	550	
			15	1	0.013	500	
			20	-7	0.017	410	
			25	-15	0.024	330	
			27.1	-18	0.024	280	
2	5	25	0	24	0.015	1000	207.9
			5	16	0.004	850	
			10	9	0.017	750	
			15	1	0.018	630	
			20	-7	0.02	520	
			21.23	-9	0.012	500	
3	5	30	0	24	0.025	750	226.8
			5	18	0.02	500	
			10	10	0.017	350	
			15	2	0.029	210	
			20	-7	0.027	100	
			23.32	-12	0.026	50	
3	5	30	0	24	0.003	650	252
			5	17	0.003	530	
			10	9	0.003	400	
			15	1	0.022	300	
			20	-7	0.022	200	
			25	-15	0.02	100	
			25.47	-16	0.021	70	

ตาราง ก.2 บันทึกค่าการทดลองโดยใช้สารละลายน้ำเดี่ยมคลอไรด์ 0.1 มอลาร์ ที่ความต่างศักย์ 5 โวลต์ ความเร็ว 20 $\mu\text{m}/\text{min}$

สารละลายน้ำเดี่ยมคลอไรด์							
ความเข้มข้น 0.1 มอลาร์ ที่ความเร็ว 20 $\mu\text{m}/\text{min}$							
รูปที่เจาะ	โวลต์	ปั๊ม	เวลา(นาที)	step	กระแส(A)	ปริมาตรริน้ำ(mL)	ระยะที่เจาะ(μm)
5	5	25	0	0	0.024	950	252
			5	-16	0.017	900	
			10	-34	0.025	850	
			12.4	-40	0.028	800	
6	5	25	0	24	0.027	830	296.1
			5	4	0.028	680	
			10	-14	0.035	540	
			14.06	-23	0.028	480	
7	5	30	0	29	0.023	950	302.4
			5	11	0.027	880	
			10	-4	0.027	750	
			14.39	-19	0.032	650	
8	5	30	0	34	0.017	1000	359.1
			5	18	0.022	850	
			10	2	0.023	790	
			15	-13	0.033	660	
			15.41	-15	0.025	650	
			18	-23	0.005	560	

ตาราง ก.3 บันทึกค่าการทดลองโดยใช้สารละลายน้ำเดียมคลอไรด์ 0.1 มอลาร์ ที่ความต่างศักย์ 7 โวลต์ ความเร็ว 10 $\mu\text{m}/\text{min}$

สารละลายน้ำเดียมคลอไรด์							
ความเข้มข้น 0.1 มอลาร์ ที่ความเร็ว 10 $\mu\text{m}/\text{min}$							
รุ่นที่เจาะ	โวลต์	ปั๊ม	เวลา(นาที)	ระยะ (μm)	กระแส(A)	ปริมาตรน้ำ(mL)	ระยะที่เจาะ(μm)
9	7	25	0	24	0.033	830	132.3
			5	18	0.036	740	
			10	9	0.036	600	
			14.03	3	0.039	540	
10	7	25	0	24	0.038	550	126
			5	16	0.039	450	
			10	10	0.036	390	
			13.39	4	0.035	250	
11	7	30	0	24	0.042	950	119.7
			5	16	0.043	780	
			10	9	0.037	660	
			12.25	5	0.04	630	
12	7	30	0	24	0.038	950	132.3
			5	16	0.045	800	
			10	7	0.028	660	
			10.52	6	0.034	650	
			13	3	0.024	600	

10.00 วินาที
 10.00 วินาที
 0.00 วินาที

ตาราง ก.4 บันทึกค่าการทดลองโดยใช้สารละลายน้ำเดี่ยมคลอไรด์ 0.1 โมลาร์ ที่ความต่างศักย์ 7 โวลต์ ความเร็ว 20 $\mu\text{m}/\text{min}$

สารละลายน้ำเดี่ยมคลอไรด์							
ความเข้มข้น 0.1 โมลาร์ ที่ความเร็ว 20 $\mu\text{m}/\text{min}$							
รุ่นที่เจาะ	โวลต์	ปั๊ม	เวลา(นาที)	ระยะ (μm)	กระแส(A)	ปริมาตรน้ำ(ml.)	ระยะที่เจาะ(μm)
13	7	25	0	24	0.043	950	214.2
			5	8	0.04	850	
			10	-7	0.046	750	
			10.54	-10	0.045	720	
14	7	25	0	24	0.042	950	207.9
			5	9	0.042	850	
			10	-8	0.044	750	
			10.3	-9	0.052	740	
15	7	30	0	24	0.046	950	207.9
			5	6	0.034	840	
			10	-8	0.034	730	
			10.15	-9	0.037	725	
16	7	30	0	24	0.021	900	371.7
			5	5	0.027	750	
			10	-8	0.034	680	
			11.32	-16	0.038	600	
			15	-35	0.038	500	
			20	-54	0.008	350	

ตาราง ก.5 บันทึกค่าการทดลองโดยใช้สารละลายน้ำเดี่ยมคลอไรด์ 0.1 มोลาร์ ที่ความต่างศักย์ 9 โวลต์ ความเร็ว 10 $\mu\text{m}/\text{min}$

สารละลายน้ำเดี่ยมคลอไรด์							
ความเข้มข้น 0.1 มोลาร์ ที่ความเร็ว 10 $\mu\text{m}/\text{min}$							
รุ่นที่เจาะ	โวลต์	ปั๊ม	เวลา(นาที)	step	กระแส(A)	ปริมาตรร่อง(ml)	ระยะที่เจาะ(μm)
17	9	25	0	24	0.05	1000	119.7
			5	17	0.065	890	
			10	10	0.06	790	
			12.53	5	0.032	700	
18	9	25	0	24	0.058	750	113.4
			5	17	0.064	650	
			10	9	0.055	530	
			12.04	6	0.052	470	
19	9	30	0	24	0.052	960	88.2
			5	18	0.052	750	
			10	11	0.057	640	
			10.12	10	0.062	630	
20	9	30	0	24	0.045	650	655.2
			5	16	0.04	510	
			10	8	0.044	470	
			11.04	7	0.045	460	
			15	-60	0.016	350	
			16	-80	0.033	320	

ตาราง ก.6 บันทึกค่าการทดลองโดยใช้สารละลายนีโอเดียมคลอไรด์ 0.1 โมลาร์ ที่ความต่างศักย์ 9 โวลต์ ความเร็ว 20 $\mu\text{m}/\text{min}$

สารละลายนีโอเดียมคลอไรด์							
ความเข้มข้น 0.1 โมลาร์ ที่ความเร็ว 20 $\mu\text{m}/\text{min}$							
รุ่นที่เจาะ	โวลต์	ปีม	เวลา(นาที)	step	กระแส(A)	ปริมาตรน้ำ(mL)	ระยะที่เจาะ(μm)
21	9	25	0	24	0.048	940	157.5
			5	8	0.058	860	
			7.49	-1	0.053	810	
22	9	25	0	24	0.04	900	226.8
			5	8	0.043	790	
			10	-9	0.051	660	
			11.29	-12	0.05	640	
23	9	30	0	24	0.045	800	233.1
			5	9	0.051	650	
			10	-7	0.045	520	
			11.48	-13	0.064	480	
24	9	30	0	24	0.045	950	655.2
			5	9	0.041	800	
			7.5	-1	0.051	730	
			15	-80	0.045	620	

ตาราง ก.7 บันทึกค่าการทดลองโดยใช้สารละลายน้ำเดี่ยมคลอไรด์ 0.1 มोลาร์ ที่ความต่างศักย์ 11 โวลต์ ความเร็ว 10 $\mu\text{m}/\text{min}$

สารละลายน้ำเดี่ยมคลอไรด์							
ความเข้มข้น 0.1 มोลาร์ ที่ความเร็ว 10 $\mu\text{m}/\text{min}$							
รูที่เจาะ	โวลต์	ปั๊ม	เวลา(นาที)	step	กระแส(A)	ปริมาตรริน้ำ(mL)	ระยะที่เจาะ(μm)
25	11	25	0	24	0.055	1000	100.8
			5	17	0.068	890	
			10	9	0.064	770	
			10.28	8	0.072	760	
26	11	25	0	24	0.054	1000	100.8
			5	17	0.067	900	
			10	9	0.07	810	
			10.42	8	0.075	800	
27	11	30	0	24	0.052	750	100.8
			5	17	0.063	590	
			10	9	0.066	450	
			10.27	8	0.001	440	
28	11	30	0	24	0.055	950	655.2
			5	17	0.054	800	
			9.42	9	0.052	650	
			15	-80	0.031	500	

ตาราง ก.8 บันทึกค่าการทดลองโดยใช้สารละลายน้ำเดียมคลอไรด์ 0.1 มอลาร์ ที่ความต่างศักย์ 11 โวลต์ ความเร็ว 20 $\mu\text{m}/\text{min}$

สารละลายน้ำเดียมคลอไรด์							
ความเข้มข้น 0.1 มอลาร์ ที่ความเร็ว 20 $\mu\text{m}/\text{min}$							
รูที่เจาะ	โวลต์	ปั๊ม	เวลา(นาที)	step	กระแส(A)	ปริมาตรน้ำ(mL)	ระยะที่เจาะ(μm)
29	11	25	0	24	0.058	1000	176.4
			5	7	0.075	900	
			9.25	-4	0.075	800	
30	11	25	0	24	0.065	800	163.8
			5	9	0.067	700	
			8.25	-2	0.077	640	
31	11	30	0	24	0.068	600	157.5
			5	9	0.062	460	
			8.02	-1	0.086	390	
32	11	30	0	24	0.059	690	655.2
			5	8	0.06	550	
			8.16	-1	0.016	470	
			10	-35	0.055	400	
			12	-80	0.052	370	

ตาราง ก.9 บันทึกค่าการทดลองโดยใช้สารละลายน้ำเดี่ยมคลอไรด์ 0.15 มोลาร์ ที่ความต่างศักย์ 5 โวลต์ ความเร็ว 10 $\mu\text{m}/\text{min}$

สารละลายน้ำเดี่ยมคลอไรด์							
ความเข้มข้น 0.15 มोลาร์ ที่ความเร็ว 10 $\mu\text{m}/\text{min}$							
รุ่นที่เจาะ	โวลต์	ปั๊ม	เวลา(นาที)	step	กระแส(A)	ปริมาณน้ำ(mL)	ระยะที่เจาะ(μm)
1	5	25	0	24	0.025	810	176.4
			5	17	0.025	730	
			10	9	0.022	620	
			15	1	0.03	500	
			18.26	-4	0	440	
2	5	25	0	24	0.022	900	170.1
			5	17	0.03	800	
			10	9	0.032	700	
			15	1	0.031	600	
			17.25	-3	0.023	550	
3	5	30	0	24	0.031	800	138.6
			5	17	0.03	650	
			10	9	0.032	500	
			14.25	2	0.038	440	
4	5	30	0	24	0.023	600	655.2
			5	17	0.031	440	
			10	9	0.026	300	
			14.02	3	0.031	220	
			15	1	0.035	180	
			18.29	-80	0.038	100	

ตาราง ก.10 บันทึกค่าการทดลองโดยใช้สารละลายน้ำเดี่ยมคลอไรด์ 0.15 มอลาร์ ที่ความต่างศักย์ 5 โวลต์ ความเร็ว 20 $\mu\text{m}/\text{min}$

สารละลายน้ำเดี่ยมคลอไรด์							
ความเข้มข้น 0.15 มอลาร์ ที่ความเร็ว 20 $\mu\text{m}/\text{min}$							
รูที่เจาะ	โวลต์	ปีม	เวลา(นาที)	step	กระแส(A)	ปริมาตรน้ำ(mL)	ระยะที่เจาะ(μm)
5	5	25	0	24	0.022	890	308.7
			5	9	0.026	790	
			10	-7	0.028	700	
			15	-23	0.033	640	
			15.38	-25	0.031	630	
6	5	25	0	24	0.027	900	264.6
			5	8	0.032	790	
			10	-8	0.039	700	
			13.39	-18	0.03	630	
7	5	30	0	24	0.02	590	252
			5	6	0.024	450	
			10	-12	0.025	310	
			12.1	-16	0.031	280	
8	5	30	0	24	0.021	900	655.2
			5	7	0.024	750	
			10	-9	0.027	600	
			12.11	-14	0.034	550	
			15	-70	0.021	480	
			15.3	-80	0.024	470	

ตาราง ก.11 บันทึกค่าการทดลองโดยใช้สารละลายน้ำเดี่ยมคลอไรต์ 0.15 มอลาร์ ที่ความต่างศักย์ 7 โวลต์ ความเร็ว 10 $\mu\text{m}/\text{min}$

สารละลายน้ำเดี่ยมคลอไรต์							
ความเข้มข้น 0.15 มอลาร์ ที่ความเร็ว 10 $\mu\text{m}/\text{min}$							
รุ่นที่ เจาะ	โวล ต์	ปั๊ ม	เวลา (นาที)	ระยะ (μm)	กระแส (A)	ปริมาตรน้ำ (mL)	ระยะที่เจาะ (μm)
9	7	25	0	24	0.031	700	119.7
			5	17	0.03	610	
			10	9	0.033	530	
			12.42	5	0.035	490	
10	7	25	0	24	0.033	700	113.4
			5	16	0.031	590	
			10	8	0.037	500	
			11.3	6	0.034	490	
11	7	30	0	24	0.035	550	94.5
			5	16	0.039	400	
			9.48	9	0.004	280	
12	7	30	0	24	0.038	950	113.4
			5	16	0.045	800	
			9.56	7	0.028	660	
			14.43	6	0.034	650	

ตาราง ก.12 บันทึกค่าการทดลองโดยใช้สารละลายน้ำเดี่ยมคลอไรด์ 0.15 มอลาร์ ที่ความต่างศักย์ 7 โวลต์ ความเร็ว 20 $\mu\text{m}/\text{min}$

สารละลายน้ำเดี่ยมคลอไรด์							
ความเข้มข้น 0.15 มอลาร์ ที่ความเร็ว 20 $\mu\text{m}/\text{min}$							
รุ่นที่เจาะ	โวลต์	ปั๊ม	เวลา(นาที)	ระยะ (μm)	กระแส(A)	ปริมาตรน้ำ(mL)	ระยะที่เจาะ(μm)
13	7	25	0	24	0.035	800	182.7
			5	8	0.048	700	
			9.07	-5	0.057	620	
14	7	25	0	24	0.045	900	163.8
			5	7	0.051	800	
			8.03	-2	0.036	740	
15	7	30	0	24	0.049	900	144.9
			5	10	0.065	780	
			7.51	1	0.061	710	
16	7	30	0	24	0.057	790	655.2
			5	17	0.058	670	
			8.11	12	0.045	600	
			10.07	1	0.048	550	
			13	-80	0.035	480	

ตาราง ก.13 บันทึกค่าการทดลองโดยใช้สารละลายน้ำเดี่ยมคลอไรด์ 0.15 มอลาร์ ที่ความต่างศักย์ 9 โวลต์ ความเร็ว 10 $\mu\text{m}/\text{min}$

สารละลายน้ำเดี่ยมคลอไรด์							
ความเข้มข้น 0.15 มอลาร์ ที่ความเร็ว 10 $\mu\text{m}/\text{min}$							
รูปที่เจาะ	โวลต์	ปีม	เวลา(นาที)	step	กระแส(A)	ปริมาตรน้ำ(mL)	ระยะที่เจาะ(μm)
17	9	25	0	24	0.062	840	69.3
			5	17	0.085	750	
			7.55	13	0.08	720	
18	9	25	0	24	0.095	800	63
			5	17	0.083	720	
			6.48	14	0.083	680	
19	9	30	0	24	0.07	920	63
			5	17	0.091	800	
			7.15	14	0.083	750	
20	9	30	0	24	0.072	670	144.9
			5	17	0.092	560	
			7.51	9	0.041	510	
			10	3	0.056	450	
			12.17	1	0.044	400	

ตาราง ก.14 บันทึกค่าการทดลองโดยใช้สารละลายน้ำเดียมคลอไรด์ 0.15 มิลลาร์ ที่ความต่างศักย์ 9 โวลต์ ความเร็ว 20 $\mu\text{m}/\text{min}$

สารละลายน้ำเดียมคลอไรด์							
ความเข้มข้น 0.15 มิลลาร์ ที่ความเร็ว 20 $\mu\text{m}/\text{min}$							
รุ่นที่เจาะ	โวลต์	ปั๊ม	เวลา(นาที)	step	กระแส(A)	ปริมาณริน้ำ(mL)	ระยะที่เจาะ(μm)
21	9	25	0	24	0.064	900	195.3
			5	9	0.06	800	
			7.41	-7	0.055	750	
22	9	25	0	24	0.055	650	201.6
			5	8	0.065	530	
			7.23	-8	0.063	470	
23	9	30	0	24	0.06	580	226.8
			5	6	0.066	460	
			6.49	-12	0.069	410	
24	9	30	0	24	0.066	900	239.4
			5	7	0.065	780	
			5.56	-9	0.041	740	
			10.13	-14	0.062	650	

ตาราง ก.15 บันทึกค่าการทดลองโดยใช้สารละลายน้ำเดี่ยมคลอไรด์ 0.15 มोลาร์ ที่ความต่างศักย์ 11 โวลต์ ความเร็ว 10 $\mu\text{m}/\text{min}$

สารละลายน้ำเดี่ยมคลอไรด์							
ความเข้มข้น 0.15 มोลาร์ ที่ความเร็ว 10 $\mu\text{m}/\text{min}$							
รุ่นที่เจาะ	โวลต์	ปั๊ม	เวลา(นาที)	step	กระแส(A)	ปริมาตรริน้ำ(mL)	ระยะที่เจาะ(μm)
25	11	25	0	24	0.088	680	56.7
			5	18	0.07	550	
			6.24	15	0.093	540	
26	11	25	0	24	0.075	460	56.7
			5	16	0.088	390	
			6.02	15	0.054	370	
27	11	30	0	24	0.088	880	50.4
			5	17	0.092	750	
			5.43	16	0.122	740	
28	11	30	0	24	0.093	820	94.5
			4.48	17	0.092	700	
			7.3	9	0.087	650	

ตาราง ก.16 บันทึกค่าการทดลองโดยใช้สารละลายน้ำเดี่ยมคลอไรด์ 0.15 มोลาร์ ที่ความต่างศักย์ 11 โวลต์ ความเร็ว 20 $\mu\text{m}/\text{min}$

สารละลายน้ำเดี่ยมคลอไรด์							
ความเข้มข้น 0.15 มोลาร์ ที่ความเร็ว 20 $\mu\text{m}/\text{min}$							
รุ่นที่เจาะ	โวลต์	ปั๊ม	เวลา(นาที)	step	กระแส(A)	ปริมาตรริน้ำ(mL)	ระยะที่เจาะ(μm)
29	11	25	0	24	0.095	700	94.5
			4.49	9	0.105	580	
30	11	25	0	24	0.098	520	75.6
			4.02	12	0.075	440	
31	11	30	0	24	0.125	780	75.6
			4.06	12	0.103	690	
32	11	30	0	24	0.081	900	207.9
			4.22	7	0.092	780	
			5.55	-9	0.096	740	

ตารางที่ ก.17 ลำดับการทดลองและการเจาะโดยสารละลายน (NaNO_3) ความเข้มข้น 0.1 และ 0.15 มิลลาร์

การทดลองที่	ความต่างศักย์(โวลต์)	อัตราการเคลื่อนอิเล็กโทรด(ไมโครเมตรต่อนาที)
1-4	9	8
5-8	12	8
9-12	9	8
13-16	12	8

ตาราง ก.18 บันทึกค่าการทดลองโดยใช้สารละลายนโซเดียมในเตรต 0.1 มิลลาร์ ที่ความต่างศักย์ 9 โวลต์ ความเร็ว 10 $\mu\text{m}/\text{min}$

สารละลายนโซเดียมในเตรต							
ความเข้มข้น 0.1 มิลลาร์ ที่ความเร็ว 10 $\mu\text{m}/\text{min}$							
รูปที่เจาะ	โวลต์	ปั๊ม	เวลา(นาที)	step	กระแส(A)	ปริมาตรน้ำ(mL)	ระยะที่เจาะ(μm)
1	9	25	0	24	0.02	700	592.2
			5	18	0.033	51	
			10	10	0.043	490	
			15	3	0.058	300	
			20	-5	0.078	180	
			25	-13	0.102	50(1000)	
			30	-20	0.104	950	
			35	-28	0.198	850	
			40	-35	0.129	760	
			45	-43	0.124	670	
			50	-45	0.13	560	
			55	-50	0.138	490	
			60	-57	0.135	410	
			65	-64	0.112	340	
			68	-70	0.05	280	

ตาราง ก.19 บันทึกค่าการทดลองโดยใช้สารละลายน้ำเดี่ยมในเตรต 0.1 มอลาร์ ที่ความต่างศักย์ 9 โวลต์ ความเร็ว 8 $\mu\text{m}/\text{min}$

สารละลายน้ำเดี่ยมในเตรต							
ความเข้มข้น 0.1 มอลาร์ ที่ความเร็ว 8 $\mu\text{m}/\text{min}$							
รูปที่เจาะ	โวลต์	ปั๊ม	เวลา(นาที)	step	กระแส(A)	ปริมาตรน้ำ(mL)	ระยะที่เจาะ(μm)
2	9	25	0	24	0.055	890	567
			5	19	0.061	780	
			10	12	0.06	680	
			15	6	0.062	700	
			20	-1	0.075	520	
			25	-7	0.09	430	
			30	-13	0.096	300	
			35	-19	0.107	200	
			40	-26	0.122	110	
			45	-32	0.131	90(750)	
			50	-38	0.134	680	
			55	-45	0.145	550	
			60	-51	0.143	470	
			65	-59	0.154	370	
			70	-64	0.136	300	
			72	-66	0.12	290	

*ที่ปริมาตรน้ำ 90(750) หมายถึงน้ำเหลือปริมาณที่น้อยจึงเติมน้ำเพิ่ม เป็น 750 มิลลิลิตร

ตาราง ก.20 บันทึกค่าการทดลองโดยใช้สารละลายโซเดียมในเตรต 0.1 มอลาร์ ที่ความต่างศักย์ 9 โวลต์ ความเร็ว 8 $\mu\text{m}/\text{min}$

สารละลายโซเดียมในเตรต							
ความเข้มข้น 0.1 มอลาร์ ที่ความเร็ว 8 $\mu\text{m}/\text{min}$							
รุ่นที่เจาะ	โวลต์	ปั๊ม	เวลา(นาที)	step	กระแส(A)	ปริมาตรน้ำ(mL)	ระยะที่เจาะ(μm)
3	9	30	0	24	0.062	1000	522.9
			5	19	0.061	860	
			10	12	0.062	790	
			15	6	0.053	690	
			20	0	0.068	580	
			25	-7	0.091	400	
			30	-14	0.098	280	
			35	-20	0.114	180	
			40	-26	0.124	50(1000)	
			45	-32	0.132	890	
			50	-38	0.138	800	
			55	-45	0.142	700	
			60	-51	0.145	590	
			65	-58	0.141	470	
			66.11	-59	0.079	450	

*ที่ปริมาตรน้ำ 50(1000) หมายถึงน้ำเหลือปริมาณที่น้อยจึงเติมน้ำเพิ่ม เป็น 1000 มิลลิลิตร

ตาราง ก.21 บันทึกค่าการทดลองโดยใช้สารละลายน้ำเดี่ยมในเตรต 0.1 มอลาร์ ที่ความต่างศักย์ 9 โวลต์ ความเร็ว 8 $\mu\text{m}/\text{min}$

สารละลายน้ำเดี่ยมในเตรต							
ความเข้มข้น 0.1 มอลาร์ ที่ความเร็ว 8 $\mu\text{m}/\text{min}$							
รุ่นที่เจาะ	โวลต์	ปั๊ม	เวลา(นาที)	step	กระแส(A)	ปริมาตรน้ำ(mL)	ระยะที่เจาะ(μm)
4	9	30	0	24	0.084	980	655.2
			5	19	0.077	870	
			10	12	0.075	750	
			15	6	0.079	650	
			20	0	0.096	540	
			25	-7	0.126	430	
			30	-13	0.136	310	
			35	-20	0.138	190	
			40	-26	0.149	90(900)	
			45	-32	0.139	780	
			50	-38	0.117	680	
			55	-45	0.073	590	
			60	-51	0.059	480	
			65	-58	0.076	420	
			70	-64	0.075	410	
			75	-71	0.076	230	
			80	-77	0.079	150	
			82.19	-80	0.071	100	

*ที่ปริมาตรน้ำ 90(900) หมายถึงน้ำเหลือปริมาณที่น้อยลงเดิมน้ำเพิ่ม เป็น 900 มิลลิลิตร

ตาราง ก.22 บันทึกค่าการทดลองโดยใช้สารละลายน้ำเดี่ยมในเตรต 0.1 โนลาร์ ที่ความต่างศักย์ 12 โวลต์ ความเร็ว 8 $\mu\text{m}/\text{min}$

สารละลายน้ำเดี่ยมในเตรต							
ความเข้มข้น 0.1 โนลาร์ ที่ความเร็ว 8 $\mu\text{m}/\text{min}$							
รูที่เจาะ	โวลต์	ปั๊ม	เวลา(นาที)	step	กระแส(A)	ปริมาตรน้ำ(mL)	ระยะที่เจาะ(μm)
5	12	25	0	0	0.082	900	384.3
			5	-5	0.1	800	
			10	-11	0.091	740	
			15	-18	0.112	650	
			20	-25	0.145	570	
			25	-31	0.133	500	
			30	-35	0.142	480	
			35	-40	0.124	400	
			40	-46	0.122	300	
			45	-51	0.146	200	
			50	-55	0.155	110	
			55	-60	0.144	50(1000)	
			55.5	-61	0.022	1000	

*ที่ปริมาตรน้ำ 50(1000) หมายถึงน้ำเหลือปริมาณที่น้อยจึงเติมน้ำเพิ่ม เป็น 1000 มิลลิลิตร

ตาราง ก.23 บันทึกค่าการทดลองโดยใช้สารละลายน้ำเดี่ยมในเตรต 0.1 มิลลาร์ ที่ความต่างศักย์ 12 โวลต์ ความเร็ว 8 $\mu\text{m}/\text{min}$

สารละลายน้ำเดี่ยมในเตรต							
ความเข้มข้น 0.1 มิลลาร์ ที่ความเร็ว 8 $\mu\text{m}/\text{min}$							
รูทีเจาะ	โวลต์	ปั๊ม	เวลา(นาที)	step	กระแส(A)	ปริมาตรน้ำ(mL)	ระยะทีเจาะ(μm)
6	12	25	0	24	0.076	1000	516.6
			5	19	0.06	890	
			10	13	0.06	740	
			15	6	0.074	600	
			20	-1	0.088	460	
			25	-6	0.095	400	
			30	-13	0.108	300	
			35	-19	0.119	200	
			40	-25	0.13	90(1000)	
			45	-32	0.145	900	
			50	-38	0.166	800	
			55	-44	0.163	720	
			60	-51	0.172	630	
			65	-58	0.182	520	

*ที่ปริมาตรน้ำ 90(1000) หมายถึงน้ำเหลือปริมาณที่น้อยจึงเติมน้ำเพิ่ม เป็น 1000 มิลลิลิตร

ตาราง ก.24 บันทึกค่าการทดลองโดยใช้สารละลายน้ำเดี่ยมในเตรต 0.1 มิลลาร์ ที่ความต่างศักย์ 12 โวลต์ ความเร็ว 8 $\mu\text{m}/\text{min}$

สารละลายน้ำเดี่ยมในเตรต							
ความเข้มข้น 0.1 มิลลาร์ ที่ความเร็ว 8 $\mu\text{m}/\text{min}$							
รูปที่เจาะ	โวลต์	ปั๊ม	เวลา(นาที)	step	กระแส(A)	ปริมาตรน้ำ(mL)	ระยะที่เจาะ(μm)
7	12	30	0	24	0.038	900	554.4
			5	19	0.03	780	
			10	12	0.06	650	
			15	6	0.072	52	
			20	0	0.072	400	
			25	-7	0.074	280	
			30	-13	0.062	150	
			35	-19	0.094	50	
			40	-26	0.125	700	
			45	-32	0.134	570	
			50	-38	0.147	450	
			55	-45	0.163	340	
			60	-51	0.177	200	
			65	-58	0.173	50(700)	
			69	-64	0.064	600	

*ที่ปริมาตรน้ำ 50(700) หมายถึงน้ำเหลือปริมาณที่น้อยจึงเติมน้ำเพิ่ม เป็น 700 มิลลิลิตร

ตาราง ก.25 บันทึกค่าการทดลองโดยใช้สารละลายน้ำเดี่ยมในเตรต 0.1 มोลาร์ ที่ความต่างศักย์ 12 โวลต์ ความเร็ว 8 $\mu\text{m}/\text{min}$

สารละลายน้ำเดี่ยมในเตรต							
ความเข้มข้น 0.1 มोลาร์ ที่ความเร็ว 8 $\mu\text{m}/\text{min}$							
รูที่เจาะ	โวลต์	ปั๊ม	เวลา(นาที)	step	กระแส(A)	ปริมาตรน้ำ(mL)	ระยะที่เจาะ(μm)
8	12	30	0	24	0.063	1000	655.2
			5	19	0.061	850	
			10	13	0.073	720	
			15	6	0.087	590	
			20	0	0.101	460	
			25	-7	0.113	320	
			30	-13	0.123	160(1000)	
			35	-19	0.133	890	
			40	-26	0.149	770	
			45	-32	0.165	650	
			50	-38	0.154	580	
			55	-45	0.162	380	
			60	-53	0.131	200	
			63	-56	0.1	150	
			65	-58	0.07	130	
			70	-67	0.068	25(1000)	
			74.3	-80	0.095	900	

*ที่ปริมาตรน้ำ 160(1000) หมายถึงน้ำเหลือปริมาณที่น้อยจึงเติมน้ำเพิ่ม เป็น 1000 มิลลิลิตร

*ที่ปริมาตรน้ำ 25(1000) หมายถึงน้ำเหลือปริมาณที่น้อยจึงเติมน้ำเพิ่ม เป็น 1000 มิลลิลิตร

ตาราง ก.26 บันทึกค่าการทดลองโดยใช้สารละลายน้ำเดี่ยมในเตรต 0.15 มิลลาร์ ที่ความต่างศักย์ 9 โวลต์ ความเร็ว 8 $\mu\text{m}/\text{min}$

สารละลายน้ำเดี่ยมในเตรต							
ความเข้มข้น 0.15 มิลลาร์ ที่ความเร็ว 8 $\mu\text{m}/\text{min}$							
รุ่นที่เจาะ	โวลต์	ปั๊ม	เวลา(นาที)	step	กระแส(A)	ปริมาณน้ำ(mL)	ระยะที่เจาะ(μm)
9	9	25	0	24	0.063	840	522.9
			5	19	0.07	740	
			10	12	0.067	640	
			15	6	0.072	500	
			20	0	0.066	400	
			25	-7	0.072	300	
			30	-13	0.088	180	
			35	-19	0.085	50(600)	
			40	-26	0.09	500	
			45	-32	0.097	360	
			50	-39	0.144	260	
			55	-45	0.16	130	
			60	-51	0.171	50(300)	
			65	-58	0.152	280	
			66	-59	0.138	270	

*ที่ปริมาณน้ำ 50(600) หมายถึงน้ำเหลือปริมาณที่น้อยจึงเติมน้ำเพิ่ม เป็น 600 มิลลิลิตร

*ที่ปริมาณน้ำ 50(300) หมายถึงน้ำเหลือปริมาณที่น้อยจึงเติมน้ำเพิ่ม เป็น 300 มิลลิลิตร

ตาราง ก.27 บันทึกค่าการทดลองโดยใช้สารละลายน้ำมีน้ำตาล 0.15 โมลาร์ ที่ความต่างศักย์ 9 โวลต์ ความเร็ว 8 $\mu\text{m}/\text{min}$

สารละลายน้ำมีน้ำตาล 0.15 โมลาร์ ที่ความต่างศักย์ 9 โวลต์ ความเร็ว 8 $\mu\text{m}/\text{min}$							
รุ่นที่เจาะ	โวลต์	ปั๊ม	เวลา(นาที)	step	กระแส(A)	ปริมาตรน้ำ(mL)	ระยะที่เจาะ(μm)
10	9	25	0	24	0.048	950	579.6
			5	19	0.055	830	
			10	13	0.054	720	
			15	6	0.06	600	
			20	0	0.066	450	
			25	-6	0.073	340	
			30	-13	0.083	200	
			35	-19	0.106	60	
			40	-26	0.109	860	
			45	-32	0.1	740	
			50	-38	0.117	600	
			55	-45	0.119	470	
			60	-51	0.159	390	
			65	-57	0.166	320	
			70	-64	0.165	250	
			73	-68	0.03	200	

ตาราง ก.28 บันทึกค่าการทดลองโดยใช้สารละลายโซเดียมไนเตรต 0.15 มอลาร์ ที่ความต่างศักย์ 9 โวลต์ ความเร็ว 8 $\mu\text{m}/\text{min}$

สารละลายโซเดียมไนเตรต							
ความเข้มข้น 0.15 มอลาร์ ที่ความเร็ว 8 $\mu\text{m}/\text{min}$							
รุ่นที่เจาะ	โวลต์	ปั๊ม	เวลา(นาที)	step	กระแส(A)	ปริมาตรน้ำ(ml.)	ระยะที่เจาะ(μm)
11	9	30	0	24	0.054	980	541.8
			5	19	0.057	850	
			10	12	0.054	700	
			15	5	0.067	560	
			20	0	0.064	450	
			25	-7	0.087	350	
			30	-13	0.086	200	
			35	-19	0.107	50(1000)	
			40	-26	0.11	890	
			45	-33	0.113	780	
			50	-38	0.131	650	
			55	-45	0.137	520	
			60	-51	0.15	400	
			65	-58	0.136	250	
			68	-62	0.124	200	

*ที่ปริมาตรน้ำ 50(1000) หมายถึงน้ำเหลือปริมาณที่น้อยจึงเติมน้ำเพิ่ม เป็น 1000 มลลิลิตร

ตาราง ก.29 บันทึกค่าการทดลองโดยใช้สารละลายน้ำเดี่ยมในเตรต 0.15 มอลาร์ ที่ความต่างศักย์ 9 โวลต์ ความเร็ว 8 $\mu\text{m}/\text{min}$

สารละลายน้ำเดี่ยมในเตรต							
ความเข้มข้น 0.15 มอลาร์ ที่ความเร็ว 8 $\mu\text{m}/\text{min}$							
รุ่นที่เจาะ	โวลต์	ปั๊ม	เวลา(นาที)	step	กระแส(A)	ปริมาตรน้ำ(mL)	ระยะที่เจาะ(μm)
12	9	30	0	24	0.063	1000	655.2
			5	19	0.065	860	
			10	12	0.06	750	
			15	6	0.064	630	
			20	0	0.058	490	
			25	-7	0.092	370	
			30	-13	0.112	240	
			35	-20	0.12	100	
			40	-26	0.125	25(1000)	
			45	-33	0.122	880	
			50	-39	0.149	750	
			55	-45	0.14	640	
			60	-51	0.149	550	
			63	-56	0.03	330	
			65	-58	0.021	290	
			70	-72	0.075	250	
			72	-80	0.032	190	

*ที่ปริมาตรน้ำ 25(1000) หมายถึงน้ำเหลือปริมาณที่น้อยจึงเติมน้ำเพิ่ม เป็น 1000 มิลลิลิตร

ตาราง ก.30 บันทึกค่าการทดลองโดยใช้สารละลายโซเดียมไนเตรต 0.15 มอลาร์ ที่ความต่างศักย์ 12 โวลต์ ความเร็ว 8 $\mu\text{m}/\text{min}$

สารละลายโซเดียมไนเตรต							
ความเข้มข้น 0.1 มอลาร์ ที่ความเร็ว 8 $\mu\text{m}/\text{min}$							
รูที่เจาะ	โวลต์	ปั๊ม	เวลา(นาที)	step	กระแส(A)	ปริมาตรน้ำ(mL)	ระยะที่เจาะ(μm)
13	12	25	0	24	0.058	950	516.6
			5	19	0.055	860	
			10	13	0.058	780	
			15	6	0.064	680	
			20	0	0.074	560	
			25	-7	0.082	460	
			30	-13	0.104	360	
			35	-20	0.114	260	
			40	-26	0.137	170	
			45	-32	0.146	70(900)	
			50	-39	0.162	860	
			55	-45	0.143	820	
			60	-51	0.198	770	
			65	-58	0.165	700	

*ที่ปริมาตรน้ำ 70(900) หมายถึงน้ำเหลือปริมาณที่น้อยจึงเติมน้ำเพิ่ม เป็น 900 มิลลิลิตร

ตาราง ก.31 บันทึกค่าการทดลองโดยใช้สารละลายน้ำเดี่ยมในเตรต 0.15 มोลาร์ ที่ความต่างศักย์ 12 โวลต์ ความเร็ว 8 $\mu\text{m}/\text{min}$

สารละลายน้ำเดี่ยมในเตรต							
ความเข้มข้น 0.1 มोลาร์ ที่ความเร็ว 8 $\mu\text{m}/\text{min}$							
รูที่เจาะ	โวลต์	ปั๊ม	เวลา(นาที)	step	กระแส(A)	ปริมาตรน้ำ(mL)	ระยะที่เจาะ(μm)
14	12	25	0	24	0.093	1000	441
			5	19	0.092	900	
			10	13	0.094	800	
			15	6	0.103	700	
			20	0	0.109	560	
			25	-7	0.124	440	
			30	-13	0.118	300	
			35	-19	0.157	200	
			40	-26	0.185	100(900)	
			45	-32	0.19	820	
			50	-39	0.203	710	
			55	-46	0.135	590	

*ที่ปริมาตรน้ำ 100(900) หมายถึงน้ำเหลือปริมาณที่น้อยจึงเติมน้ำเพิ่ม เป็น 900 มิลลิลิตร

ตาราง ก.32 บันทึกค่าการทดลองโดยใช้สารละลายน้ำเดี่ยมในเตรต 0.15 มोลาร์ ที่ความต่างศักย์ 12 โวลต์ ความเร็ว 8 $\mu\text{m}/\text{min}$

สารละลายน้ำเดี่ยมในเตรต							
ความเข้มข้น 0.1 มोลาร์ ที่ความเร็ว 8 $\mu\text{m}/\text{min}$							
รูที่เจาะ	โวลต์	ปั๊ม	เวลา(นาที)	step	กระแส(A)	ปริมาตรน้ำ(mL)	ระยะที่เจาะ(μm)
15	12	30	0	24	0.052	1000	497.7
			5	19	0.067	850	
			10	12	0.071	740	
			15	6	0.081	640	
			20	0	0.089	500	
			25	-7	0.103	370	
			30	-13	0.114	250	
			35	-19	0.133	190	
			40	-26	0.144	80(900)	
			45	-32	0.149	820	
			50	-39	0.153	720	
			55	-45	0.16	620	
			60	-51	0.176	520	
			63	-55	0.153	460	

*ที่ปริมาตรน้ำ 80(900) หมายถึงน้ำเหลือปริมาณที่น้อยจึงเติมน้ำเพิ่ม เป็น 900 มิลลิลิตร

ตาราง ก.33 บันทึกค่าการทดลองโดยใช้สารละลายน้ำเดี่ยมในเตรต 0.15 มิลาร์ ที่ความต่างศักย์ 12 โวลต์ ความเร็ว 8 $\mu\text{m}/\text{min}$

สารละลายน้ำเดี่ยมในเตรต							
ความเข้มข้น 0.1 มิลาร์ ที่ความเร็ว 8 $\mu\text{m}/\text{min}$							
รุ่นที่เจาะ	โวลต์	ปั๊ม	เวลา(นาที)	step	กระแส(A)	ปริมาตรน้ำ(mL)	ระยะที่เจาะ(μm)
16	12	30	0	24	0.068	950	655.2
			5	19	0.079	850	
			10	13	0.088	750	
			15	6	0.095	650	
			20	0	0.109	560	
			25	-7	0.107	470	
			30	-13	0.129	390	
			35	-19	0.131	290	
			40	-26	0.142	200	
			45	-32	0.151	100(900)	
			50	-39	0.168	820	
			55	-44	0.171	750	
			60	-47	0.162	690	
			63	-56	0.143	600	
			65	-73	0.143	500	
			68	-80	0.131	440	

*ที่ปริมาตรน้ำ 100(900) หมายถึงน้ำเหลือปริมาณที่น้อยจึงเติมน้ำเพิ่ม เป็น 900 มิลลิลิตร



การคำนวณหาปริมาณของสารประกอบที่ใช้ทำสารละลายอีเล็กโทรไลต์ 0.1 โมลาร์ โซเดียมคลอไรด์ (NaCl)

(มวลโมเลกุลของ $\text{Na} = 23$, $\text{Cl} = 35$)

หมายความว่าโมเลกุลของของผสมหาได้จากการรวมสัมพันธ์ดังนี้

$$\text{MW}_{\text{mix}} = \sum_{i=1}^n x_i \text{MW}_i$$

จะได้มาลงในโมเลกุลของของผสมดังนี้

$$\text{MW}_{\text{NaCl}} = (1 \times 23) + (1 \times 35) = 58 \text{ g}$$

หนึ่งหนึ่งโมลของสารประกอบที่ใช้ในการผสมสารละลายอีเล็กโทรไลต์ 0.1 โมลาร์ ได้ดังนี้

$$\text{โมลาร์} = \frac{\text{จำนวนโมลของสารตัวอย่างละลาย}}{\text{ปริมาตรของสารละลาย}}$$

$$C = \frac{N}{V} = \frac{\frac{A}{\text{MW}}}{\text{NaCl}} = \frac{A}{V}$$

โดยที่ C = ความเข้มข้นของสารละลายมีหน่วยเป็น โมลาร์ (mol/L)

A = หนึ่งหนึ่งของสารประกอบที่ใช้ในการผสมสารละลายอีเล็กโทรไลต์ มีหน่วยเป็น กรัม (g)

N = จำนวนโมลของสาร มีหน่วยเป็น โมล (g/mol)

V = ปริมาตรของน้ำก泠 1 ลิตร

$$0.1 = \frac{58}{1}$$

$$A = 5.8 \text{ g}$$

การคำนวณหาปริมาณของสารประกอบที่ใช้ทำสารละลายอีเล็กโทรไลต์ 0.15 มोลาร์

โซเดียมคลอไรด์ (NaCl)

(มวลโมเลกุลของ $\text{Na} = 23$, $\text{Cl} = 35$)

หมายความว่าโมเลกุลของของผสมหาได้จากการรวมสัมพันธ์ดังนี้

$$\text{MW}_{\text{mix}} = \sum_{i=1}^n x_i \text{MW}_i$$

จะได้มวลโมเลกุลของของผสมดังนี้

$$\text{MW}_{\text{NaCl}} = (1 \times 23) + (1 \times 35) = 58 \text{ g}$$

หน้าที่หนักของสารประกอบที่ใช้ในการผสมสารละลายอีเล็กโทรไลต์ 0.15 มोลาร์ ปริมาณ 1000 cm^3 ได้ดังนี้

$$C = \frac{N}{V} = \frac{\frac{A}{\text{MW}_{\text{NaCl}}}}{V}$$

โดยที่ C = ความเข้มข้นของสารละลาย มีหน่วยเป็น มोลาร์ (mol/L)

A = น้ำหนักของสารประกอบที่ใช้ในการผสมสารละลายอีเล็กโทรไลต์ มีหน่วยเป็น กรัม (g)

N = จำนวนโมลของสาร มีหน่วยเป็น โมล (g/mol)

V = ปริมาตรของน้ำก้อน 1

$$0.15 = \frac{\frac{A}{58}}{1}$$

$$A = 8.7 \text{ g}$$

การคำนวณหาปริมาณของสารประกอบที่ใช้ทำสารละลายอีเล็กโทรไลต์ 0.1 โมลาร์

โซเดียมไนเตรท (NaNO_3)

(มวลโมเลกุลของ $\text{Na} = 23$, $\text{N} = 14$, $\text{O} = 16$)

หมายความว่าโมเลกุลของของผสมหาได้จากการรวมสัมพันธ์ดังนี้

$$\text{MW}_{\text{mix}} = \sum_{i=1}^n X_i \cdot \text{MW}_i$$

จะได้มวลโมเลกุลของของผสมดังนี้

$$\text{MW}_{\text{NaNO}_3} = (1 \times 23) + (1 \times 14) + (3 \times 16) = 85 \text{ g}$$

หน้าหนักของสารประกอบที่ใช้ใน
การผสมสารละลายอีเล็กโทรไลต์
0.1 โมลาร์

$$C = \frac{N}{V} = \frac{\text{MW}}{A}$$

โดยที่ C = ความเข้มข้นของสารละลาย มีหน่วยเป็น โมลาร์ (mol/l)

A = หน้าหนักของสารประกอบที่ใช้ในการผสมสารละลายอีเล็กโทรไลต์ มีหน่วยเป็น กรัม (g)

N = จำนวนโมลของสาร มีหน่วยเป็น โมล (mol)

V = ปริมาตรของน้ำกลั่น 1 ลิตร

$$0.1 = \frac{85}{A}$$

$$A = 8.5 \text{ g}$$

การคำนวณหาปริมาณของสารประกอบที่ใช้ทำสารละลายอีเล็กโทรไลต์ 0.15 มोลาร์

โซเดียมไนเตรต (NaNO_3)

(มวลโมเลกุลของ $\text{Na} = 23$, $\text{N} = 14$, $\text{O} = 16$)

ท่านวัลโณมเลกุลของของผสมหาได้จากการความสัมพันธ์ดังนี้

$$\text{MW}_{\text{mix}} = \sum_{i=1}^n x_i \text{MW}_i$$

จะได้มวลโมเลกุลของของผสมดังนี้

$$\text{MW}_{\text{NaNO}_3} = (1 \times 23) + (1 \times 14) + (3 \times 16) = 85 \text{ g}$$

หนึ่งหนักของสารประกอบที่
ใช้ในการผสมสารละลายอีเล็ก
โทรไลต์ 0.15 มोลาร์

$$C = \frac{N}{V} = \frac{A}{\text{MW}_{\text{NaNO}_3}}$$

โดยที่ C = ความเข้มข้นของสารละลาย มีหน่วยเป็น มोลาร์ (mol/l)

A = น้ำหนักของสารประกอบที่ใช้ในการผสมสารละลายอีเล็กโทรไลต์ มีหน่วยเป็น กรัม (g)

N = จำนวนโมลของสาร มีหน่วยเป็น โมล (g/mol)

V = ปริมาตรของน้ำกลั่น 1 ลิตร

$$0.15 = \frac{A}{85}$$

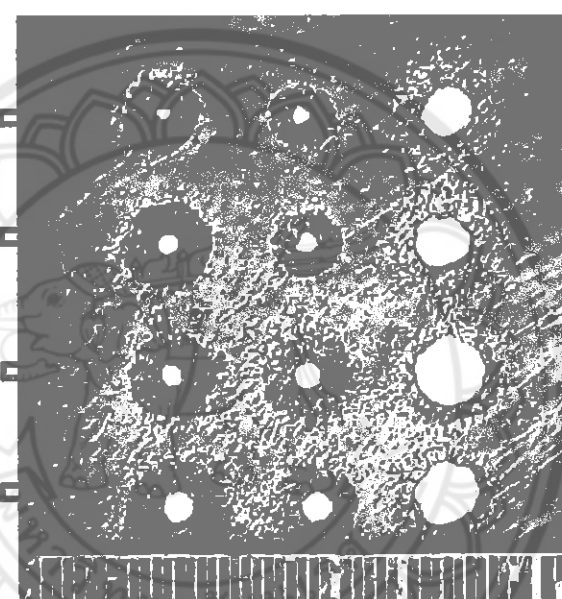
$$0.15 = \frac{A}{1}$$

$$A = 12.75 \text{ g}$$



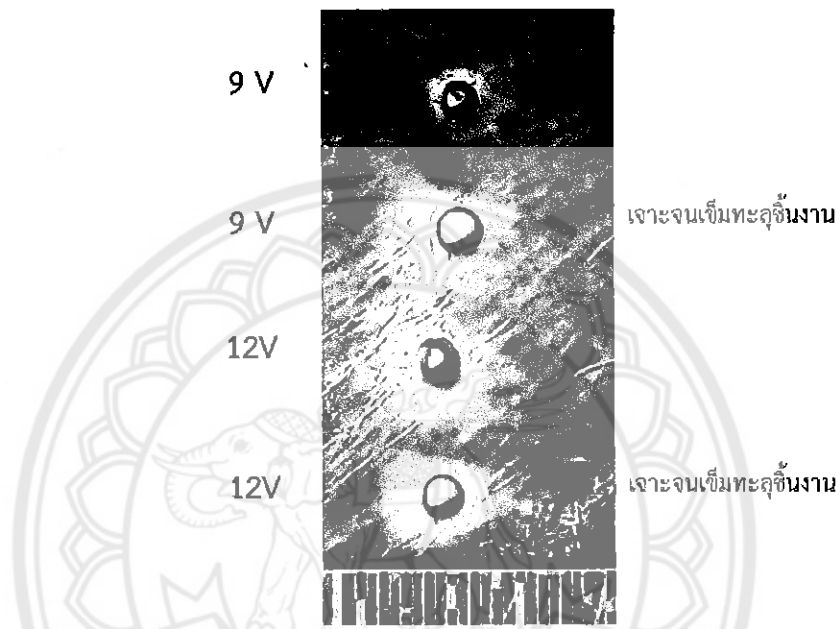
การทดลองที่ 1 ทดสอบโดยใช้เข็มขนาด 300 ไมโครเมตรในการเจาะรูที่แผ่นสแตนเลสหนา 500 ไมโครเมตร โดยใช้สารละลายอิเล็กโทรไลต์โซเดียมคลอไรด์ ที่ความเข้มข้น 0.1 โมลาร์ โดยใช้ความต่างศักย์ 5 โวลต์ 7 โวลต์ 9 โวลต์ และ 11 โวลต์ อัตราเร็วของแท่งอิเล็กโทรดที่ใช้คือ 10 ไมโครเมตรต่อนาที และ 20 ไมโครเมตรต่อนาที ผลการทดลองดังรูปที่ ค.1

10	20	เจาะจน
$\mu\text{m}/\text{min}$	$\mu\text{m}/\text{min}$	เข็มทะลุ



รูปที่ ค.1 รูเจาะด้วยเข็มขนาด 300 ไมโครเมตรด้วยโซเดียมคลอไรด์

การทดลองที่ 2 ทดลองโดยใช้สารละลายน้ำเดี่ยมในเทรท ที่ความเข้มข้น 0.1 มอลาร์ ใช้ความต่างศักย์ที่ 9 โวลต์ และ 12 โวลต์ ที่อัตราเร็วของแท่งอิเล็กโทรด 8 ไมโครเมตรต่อนาที ผลการทดลองดังรูปที่ ค.2



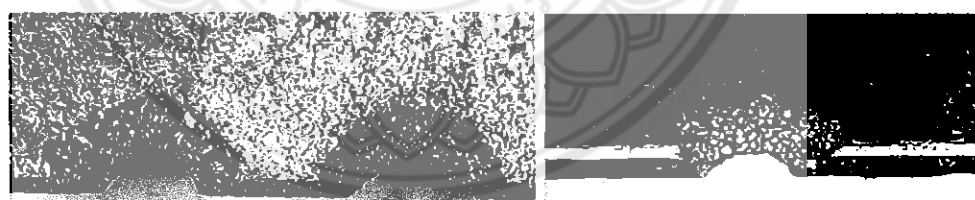
รูป ค.2 รูเจาะด้วยเข็มขนาด 300 ไมโครเมตรด้วยโซเดียมในเทรท

การทดลองที่ 3 ทดลองเพื่อถูกความเป็นไปได้ในการกัดในแนวแกน X และ แกน Y โดยใช้สารละลายน้ำเดี่ยมในเทรทที่ความเข้มข้น 0.15 มอลาร์ ใช้ความต่างศักย์ที่ 9 โวลต์ อัตราเร็วที่ใช้ในการเคลื่อนที่ของแกน X Y อยู่ที่ 8 ไมโครเมตรต่อนาที ผลการทดลองดังรูปที่ ค.3



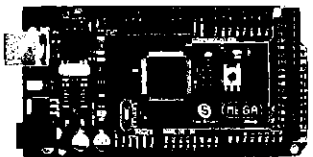
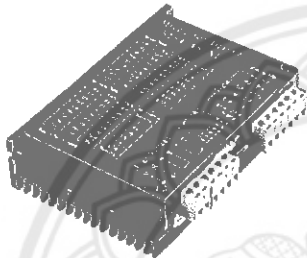
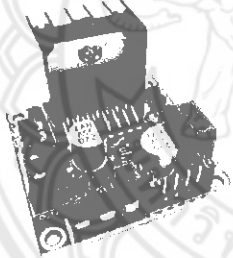
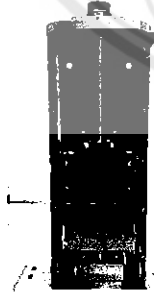
รูป ค.3 การกัดในแนวแกน X Y

การทดลองที่ 4 ทดลองโดยการนำแผ่นสแตนเลส 2 แผ่นมาวางต่อกันแล้วการเจาะระหว่างรอยต่อของแผ่นสแตนเลส โดยใช้สารละลายอิเล็กโทรไลต์โซเดียมคลอไรด์ ที่ความเข้ม 0.1 โมลาร์ ในการเจาะใช้ความต่างศักย์ 5 7 9 และ 11 โวลต์ เพื่อดูลักษณะของรูที่เกิดขึ้น ผลการทดลองดังรูปที่ ค.4

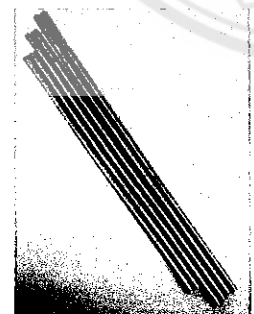


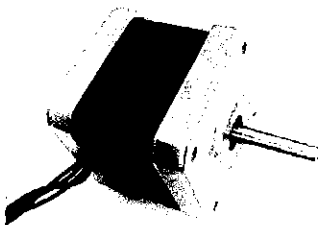
รูป ค.4 ลักษณะรูที่เจาะระหว่างรอยต่อของแผ่นสแตนเลส



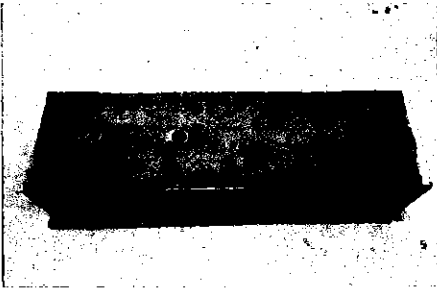
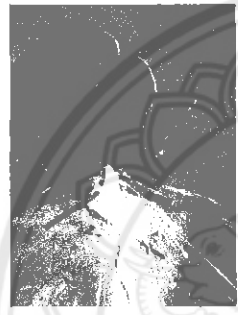
	บอร์ดไมโครคอนโทรลเลอร์ Arduino MEGA
	บอร์ดขับมอเตอร์ รุ่น TB6600
	บอร์ดขับมอเตอร์ รุ่น L298N
	แกน Z สำเร็จรูป

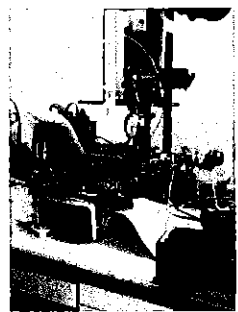
	<p>ปั๊มที่ใช้ในการฉีดสารอีเล็กโทรไลต์ชนิด Peristaltic pump</p>
	<p>Power Supply</p>
	<p>ห้องชิลล์คอนใช้ในการสำลีดสารอีเล็กโทรไลต์</p>
	<p>เข็มฉีดยาที่ใช้เป็นอีเล็กโทรด</p>

	ชิ้นงานใช้ในการทดสอบน้ำหนัก Stainless Steel
	Linear Ball Bearing Block
	Lead Screw
	เพลาขนาดเส้นผ่านศูนย์กลาง 8 มิลลิเมตร

	Stepper Motor ที่ใช้ในการขับ XY Stage
	Stepper Motor ที่ใช้ในการขับ Z Stage
	Coupling ขนาด 5 มิลลิเมตร – 8 มิลลิเมตร
	Support ที่มีช่องสูบเพลาขนาด 8 มิลลิเมตร

	<p>Limit Switch</p>
	<p>Bearing</p>
	<p>มอเตอร์ที่ใช้ตรวจวัดโวลต์</p>
	<p>โครงสร้างสำหรับยึดแกน Z</p>

	เหล็กรังน้ำที่ใช้สำหรับเป็นฐานของ Micro ECM
	ขั้นตอนการประกอบโครงสร้างแกน Z
	แกน Z ที่ประกอบเข้ากับเหล็กรัง
	การเจาะรูก่อนทำการยึดด้วยน็อต



ทำการวัดความเที่ยงตรงของระบบ



ทำการทดลองเจาะรูตามที่ได้ออกแบบ

ประวัติผู้จัดทำ

ชื่อ - สกุล : นายชาญชัย คำสุทธิ์
วัน เดือน ปี เกิด : 09 มิถุนายน พ.ศ. 2537
ที่อยู่ปัจจุบัน : 74 หมู่ที่ 8 ตำบล โคกสลุด อำเภอ บางกระหุ่ม จังหวัด พิษณุโลก 65110

ประวัติการศึกษา

2559 : วศ.บ.(วิศวกรรมเครื่องกล) มหาวิทยาลัยนเรศวร
 2555 : มัธยมศึกษา โรงเรียน บางกระหุ่มพิทยาคม

ชื่อ - สกุล : นาย ธรรมรงค์ ถาวรภูต
วัน เดือน ปี เกิด : 16 สิงหาคม พ.ศ. 2537
ที่อยู่ปัจจุบัน : 16 หมู่ที่ 3 ตำบล สนามคลี อำเภอ บางกระหุ่ม จังหวัด พิษณุโลก 65110

ประวัติการศึกษา

2559 : วศ.บ.(วิศวกรรมเครื่องกล) มหาวิทยาลัยนเรศวร
 2555 : มัธยมศึกษา โรงเรียน บางกระหุ่มพิทยาคม

ชื่อ - สกุล : นาย อนุชา อินยา
วัน เดือน ปี เกิด : 21 พฤษภาคม 2537
ที่อยู่ปัจจุบัน : 14 หมู่ที่ 5 ตำบล น้ำໄ่ อำเภอ น้ำป่าด จังหวัด อุตรดิตถ์ 53110

ประวัติการศึกษา

2559 : วศ.บ.(วิศวกรรมเครื่องกล) มหาวิทยาลัยนเรศวร
 2555 : มัธยมศึกษา โรงเรียน หนองครือสเตรียน